

การศึกษาปัจจัยในการสร้างแบบจำลองเพื่อการพยากรณ์  
การระบาดโรคไข้เลือดออก



วิทยานิพนธ์เสนอคณิตวิทยาลัย มหาวิทยาลัยนเรศวร เพื่อเป็นส่วนหนึ่งของการศึกษา  
หลักสูตรปริญญาวิทยาศาสตรมหาบัณฑิต  
สาขาวิชาเทคโนโลยีสารสนเทศ  
มิถุนายน 2559  
ลิขสิทธิ์เป็นของมหาวิทยาลัยนเรศวร

วิทยานิพนธ์ เรื่อง “การศึกษาปัจจัยในการสร้างแบบจำลองเพื่อการพยากรณ์การระบาด  
โรคไข้เลือดออก”

ของ นายภาสเวร อ่องรัก

ได้รับการพิจารณาให้นับเป็นส่วนหนึ่งของการศึกษาตามหลักสูตร  
ปริญญาวิทยาศาสตรมหาบัณฑิต สาขาวิชาเทคโนโลยีสารสนเทศ

คณะกรรมการสอบวิทยานิพนธ์

..... ประธานกรรมการสอบวิทยานิพนธ์  
(ผู้ช่วยศาสตราจารย์ ดร.ธนัช กนกเทศ)

..... ประธานที่ปรึกษาวิทยานิพนธ์  
(ผู้ช่วยศาสตราจารย์ ดร.ไกรศักดิ์ เกษร)

..... กรรมการที่ปรึกษาวิทยานิพนธ์  
(ดร.อนงค์พร ไศลารากุล)

..... กรรมการผู้ทรงคุณวุฒิภายนอก  
(รองศาสตราจารย์ ดร.กฤษดา ขันกสิกรรม)

อนุมัติ

.....

(ดร.ภาณุ พุทธวงศ์)

รองคณบดีฝ่ายบริหารและวางแผน ปฏิบัติราชการแทน  
คณบดีบัณฑิตวิทยาลัย

๑๐ ส.ย. ๒๕๕๙

## ประกาศคุณภาพ

ผู้วิจัยขอทราบขอบเขตพิเศษ ผู้ช่วยศาสตราจารย์ ดร.ไกรศักดิ์ เกษร ประธานที่ปรึกษา วิทยานิพนธ์ เป็นอย่างสูงในความกุณามที่ได้สละเวลามาเป็นที่ปรึกษา พร้อมทั้งให้คำแนะนำ อันมีค่าตลอดระยะเวลาในการทำวิทยานิพนธ์ฉบับนี้ และขอทราบขอบเขตพิเศษคณะกรรมการสอบ วิทยานิพนธ์ รองศาสตราจารย์ ดร.กฤษดา ขังกสิกรรม, ผู้ช่วยศาสตราจารย์ ดร.ณัช ภนกเทศ, ดร.อนงค์พร ไศราภุล ที่ได้กุณามให้คำแนะนำตลอดจนแก้ไขข้อบกพร่องของวิทยานิพนธ์ด้วย ความเอาใจใส่ จนทำให้วิทยานิพนธ์ฉบับนี้สำเร็จลุล่วงได้อย่างสมบูรณ์และทรงคุณค่า

ทราบขอบเขตพิเศษ ผู้ช่วยศาสตราจารย์ ดร.ปัทมา สุวรรณกุล และ ดร.พีรญา อึ้งอุดรภักดี ที่กุณามให้ความอนุเคราะห์ตรวจสอบความถูกต้องของการวิเคราะห์ข้อมูลทางสถิติ, สำนักงาน ป้องกันควบคุมโรคที่ 4 จังหวัดราชบุรี และภาควิชาปรสิตวิทยา คณะแพทยศาสตร์ จุฬาลงกรณ์ มหาวิทยาลัย ที่ให้ความอนุเคราะห์ข้อมูลเกี่ยวกับโรคให้เลือดออกสำหรับการทำวิจัยในครั้งนี้

เห็นอีสิ่งอื่นใดขอทราบขอบเขตพิเศษบิดำและมารดา และนางสาวนารีจุติ ศรีแสงฉาย ที่เคยให้กำลังใจและให้การสนับสนุนในทุก ๆ ด้านอย่างดีที่สุดเสมอมา

คุณค่าและคุณประโยชน์อันเพียงจะมีจากวิทยานิพนธ์ฉบับนี้ ผู้วิจัยขอขอบคุณและอุทิศแด่ผู้มี พิเศษทุกๆ ท่าน ผู้วิจัยหวังเป็นอย่างยิ่งว่า งานวิจัยนี้จะเป็นประโยชน์ต่อการศึกษาด้านการศึกษา ปัจจัยในการสร้างแบบจำลองเพื่อการพยากรณ์การระบาดโรค ให้เลือดออกไม่มากก็น้อย หากมี ข้อผิดพลาดประการใด ผู้วิจัยขออภัยไว้ ณ ที่นี่ และจะพยายามปรับปรุงแก้ไขให้ถูกต้องตามสมควร ทุกประการ

ภาสวีร์ อ่องรักษ์

|                  |   |
|------------------|---|
| ชื่อเรื่อง       | การศึกษาปัจจัยในการสร้างแบบจำลองเพื่อการพยากรณ์การระบาดโรคไข้เลือดออก   |
| ผู้วิจัย         | ภาสเวร์ อ่องรัก   |
| ประธานที่ปรึกษา  | ผู้ช่วยศาสตราจารย์ ดร.ไกรศักดิ์ เกษร                                    |
| กรรมการที่ปรึกษา | ดร.อนงค์พร ไศลวราภุล  |
| ประเภทสารนิพนธ์  | วิทยานิพนธ์ วท.ม. สาขาวิชาเทคโนโลยีสารสนเทศ,<br>มหาวิทยาลัยนเรศวร, 2558 |
| คำสำคัญ          | ไข้เลือดออก คลังข้อมูล เมมอยข้อมูล โครงข่ายประสาทเทียม                  |

### บทคัดย่อ

การระบาดของโรคไข้เลือดออกมีปัจจัยต่างๆ มากมายทั้งปัจจัยภายนอกและภายใน โดยงานวิจัยนี้จะมุ่งเน้นในการศึกษาปัจจัยใหม่ซึ่งยังไม่เคยถูกนำมาศึกษาหาความสัมพันธ์กับการระบาดของโรคไข้เลือดออกมาก่อน ได้แก่ อัตราการติดเชื้อของโรคไข้เลือดออกในยุ่ง滥ัยตัวเมีย อัตราการติดเชื้อของโรคไข้เลือดออกในลูกน้ำ อัตราผู้ป่วยโรคไข้เลือดออกตามช่วงอายุ อัตราของเชื้อไข้เลือดออกชนิดที่ 1 - 4 (DEN 1 - 4) และอัตราผู้ป่วยโรคไข้เลือดออกแบ่งตามช่วงอายุ ซึ่งงานวิจัยส่วนใหญ่ที่มีอยู่ในปัจจุบันมักจะใช้ปัจจัยพื้นฐาน เช่น คุณภาพน้ำ ความชื้น แรงลม จำนวนประชากร จำนวนผู้ป่วยโรคไข้เลือดออกหรือปริมาณน้ำฝน แต่อย่างไรก็ตามปัจจัยเหล่านี้อาจจะไม่สามารถทำงานได้อย่างมีประสิทธิภาพ เมื่อนำไปใช้กับพื้นที่ที่มีสภาพภูมิอากาศใกล้เคียงกัน ดังนั้นการนำปัจจัยใหม่ที่ได้ศึกษาในงานวิจัยนี้จะช่วยเพิ่มประสิทธิภาพของโมเดลการพยากรณ์ให้สูงขึ้น หรือมีค่าความผิดพลาดจากการพยากรณ์ต่ำลง (MAPE)

งานวิจัยนี้ทำการทดลองโดยการวิเคราะห์แบบโคสแคร์ (Chi-Square) และการวิเคราะห์การ回帰 (Regression Analysis) พนวนาอัตราการติดเชื้อของโรคไข้เลือดออกในยุ่ง滥ัยตัวเมีย อัตราการติดเชื้อของโรคไข้เลือดออกในลูกน้ำ อัตราผู้ป่วยโรคไข้เลือดออกตามช่วงอายุ และอัตราของเชื้อไข้เลือดออกชนิดที่ 1, 3 (DEN1, DEN3) เป็นปัจจัยที่ส่งผลต่อการระบาดของโรคไข้เลือดออกอย่างมีนัยสำคัญทางสถิติ และทดลองใช้ปัจจัยเหล่านี้ในตัวแบบพยากรณ์ โดยใช้อัลกอริทึมไมโครซอฟฟ์โคงข่ายประสาทเทียม (Microsoft Neural Network Algorithms) ซึ่งพบว่า ปัจจัยดังกล่าวสามารถเพิ่มประสิทธิภาพการพยากรณ์โดยมีค่าการพยากรณ์ความผิดพลาดที่ต่ำกว่าโมเดลการพยากรณ์แบบเดิม และให้ผลความถูกของการพยากรณ์ที่สูงกว่าโมเดลเดิม อีกด้วย

|                |  |
|----------------|--|
| Title          | NEW FACTOR INVESTIGATION TO IMPROVE FORECASTING<br>MODEL FOR DENGUE HAEMORRHAGIC FEVER |
| Author         | Phatsavee Ongruk   |
| Advisor        | Assistant Professor Kraisak Kesorn, Ph.D.  |
| Co - Advisor   | Anongporn Salaiwarakul, Ph.D.  |
| Academic Paper | Thesis M.S. in Information Technology, Naresuan University,<br>2015                    |
| Keywords       | Dengue fever, Data warehouse, Data mining, Neural network                              |

## ABSTRACT

Dengue fever outbreak has several factors including both external and internal factors. This research focuses on studying and discovering the new factors which are positively related to the outbreak. We introduce the new key factors such as infection rates of male, female, and larvae mosquito females as well as the rate of dengue type (DEN 1-4) found in study areas. Many existing works usually exploit basic factors for prediction model construction e.g. temperature, humidity, wind speed, numbers of patients, and rainfall. However, these factors might not work effectively when they are applied in the similar climate areas. Therefore, using the novel factors presented in this research can enhance the forecasting model performance. In other words, error rate from the prediction model can significantly decrease.

This research applies the Chi-Square and Regression technique for dengue fever factor analysis. The experimental results demonstrate that infection rate of female mosquito, infection rate of larvae, age of patients, dengue type 1 and 3 (DEN1 and DEN3) are strongly correlated with number of cases. Microsoft Neural Network Algorithm is exploited to perform prediction the risk of dengue outbreak and can obtain better prediction performance with lower error rate measured by MAPE and higher prediction accuracy.

## สารบัญ

บทที่

หน้า

|   |    |
|---|----|
| 1 บทนำ.....   | 1  |
| ความเป็นมาของปัญหา.....                                       | 1  |
| วัตถุประสงค์ของการวิจัย.....                                  | 3  |
| ขอบเขตของการวิจัย.....  | 4  |
| นิยามศัพท์เฉพาะ.....  | 5  |
| สมมติฐานของการวิจัย.....                                      | 6  |
| ประโยชน์ที่คาดว่าจะได้รับ.....                                | 7  |
| 2 เอกสารและงานวิจัยที่เกี่ยวข้อง.....                         | 10 |
| แนวคิดเกี่ยวกับหลักการด้านการระบาดวิทยาของโรคไข้เลือดออก..... | 10 |
| แนวคิดเกี่ยวกับหลักการด้านการวิเคราะห์ข้อมูลแบบระบบโครงข่าย   |    |
| ประสาทเทียม.....  | 11 |
| แนวคิดเกี่ยวกับเหมืองข้อมูล.....                              | 14 |
| แนวคิดเกี่ยวกับหลักการด้านคลังข้อมูล.....                     | 17 |
| แนวคิดเกี่ยวกับหลักการด้านระบบธุรกิจอัจฉริยะ.....             | 21 |
| งานวิจัยที่เกี่ยวข้อง.....                                    | 24 |
| สรุปเนื้อหาประจำบท.....                                       | 34 |
| 3 วิธีดำเนินการวิจัย.....                                     | 35 |
| กรอบแนวคิดที่ใช้ในการวิจัย.....                               | 35 |
| การวิเคราะห์และการออกแบบระบบ.....                             | 37 |
| ขั้นตอนดำเนินการวิจัย.....                                    | 72 |
| สรุปเนื้อหาประจำบท.....                                       | 81 |

## สารบัญ (ต่อ)

| บทที่   | หน้า |
|---|------|
| 4 ผลการวิจัย.....   | 82   |
| ผลการทดลองการค้นหาปัจจัยใหม่เพื่อเพิ่มประสิทธิภาพของการพยากรณ์.....   | 82   |
| การสร้างแบบจำลองเพื่อการพยากรณ์การระบาดโรคไข้เลือดออก.....  | 90   |
| ผลการทดลองการสร้างระบบช่วยสนับสนุนการตัดสินใจการเฝ้าระวังการ<br>ระบาดและการป้องกันเพื่อใช้บริหารจัดการโรคไข้เลือดออกด้วยวิธีทาง<br>ระบบธุรกิจอัจฉริยะ (BI)..... | 96   |
| พัฒนาระบบการให้บริการและแลกเปลี่ยนข้อมูลการระบาดของโรค<br>ไข้เลือดออกบนเครือข่าย (Web Service).....   | 101  |
| ผลการพยากรณ์จำนวนผู้ป่วยโรคไข้เลือดออก.....   | 102  |
| ผลการประเมินประสิทธิภาพการพยากรณ์.....  | 104  |
| สรุปเนื้อหาประจำบท.....   | 105  |
| 5 บทสรุป.....   | 107  |
| สรุปผลการวิจัย.....   | 107  |
| อภิปรายผลการวิจัย.....  | 108  |
| ข้อเสนอแนะ.....   | 109  |
| ความสำเร็จของงานวิจัย.....  | 110  |
| บรรณานุกรม.....   | 111  |
| ประวัติผู้วิจัย.....  | 119  |

## สารบัญตาราง

| ตาราง  | หน้า |
|--|------|
| 1 แสดงกลุ่มนบุคคลที่จะนำผลการวิจัยไปใช้ประโยชน์.....   | 7    |
| 2 แสดงการเปรียบเทียบปัจจัยที่ใช้ในการพยากรณ์การระบาดของไข้เลือดออก.....  | 27   |
| 3 แสดงการเปรียบเทียบเทคนิคที่ใช้ในการพยากรณ์การระบาดของไข้เลือดออก.....  | 29   |
| 4 แสดงการเปรียบเทียบปัจจัยที่ใช้ในการพยากรณ์โรคไข้เลือดออกระหว่างงานวิจัยอื่นๆ และงานวิจัยที่นำเสนอด้วย.....                   | 30   |
| 5 แสดงการเปรียบเทียบงานวิจัยเกี่ยวกับระบบการพยากรณ์การระบาดของไข้เลือดออกและการให้บริการและแลกเปลี่ยนข้อมูล (Web Service)..... | 31   |
| 6 แสดง DimBudget ข้อมูลงบประมาณ.....   | 50   |
| 7 แสดง DimDistrict ข้อมูลอำเภอ.....  | 50   |
| 8 แสดง DimGeo ข้อมูลภูมิภาค.....   | 51   |
| 9 แสดง DimGeoGraphy ข้อมูลอาชีพและลักษณะภูมิป่าทึ่.....  | 51   |
| 10 แสดง DimHumidity ข้อมูลความชื้นสัมพัทธ์.....  | 51   |
| 11 แสดง DimLarvae ข้อมูลยุงลาย และลูกน้ำที่ติดเชื้อโรคไข้เลือดออก.....   | 52   |
| 12 แสดง DimMedicalPersonnel ข้อมูลบุคลากรทางการแพทย์.....  | 53   |
| 13 แสดง DimMedicalSupplies ข้อมูลเวชภัณฑ์ที่ใช้ในการรักษาผู้ติดเชื้อโรคไข้เลือดออก.....  | 53   |
| 14 แสดง DimPatientRangeAge ข้อมูลผู้ป่วยโรคไข้เลือดออก.....  | 54   |
| 15 แสดง DimPopulation ข้อมูลจำนวนประชากร.....  | 55   |
| 16 แสดง DimPrimaryCareUnit ข้อมูลบริการปฐมภูมิ.....  | 56   |
| 17 แสดง DimProvince ข้อมูลจังหวัด.....   | 57   |
| 18 แสดง DimRain ข้อมูลปริมาณฝน.....  | 57   |
| 19 แสดง DimSeason ข้อมูลฤดูกาลของไทย.....  | 58   |
| 20 แสดง DimSeroType ข้อมูลชนิดการติดเชื้อโรคไข้เลือดออก (Dengue type).....   | 59   |
| 21 แสดง DimTambon ข้อมูลตำบล.....  | 60   |
| 22 แสดง DimTemperature ข้อมูลอุณหภูมิเฉลี่ย.....   | 60   |

## สารบัญตาราง (ต่อ)

| ตาราง   | หน้า |
|---|------|
| 23 แสดง DimTime ข้อมูลเวลา.....   | 61   |
| 24 แสดง DimUser ข้อมูลผู้ใช้งานระบบ.....  | 61   |
| 25 แสดง DimWind ข้อมูลอัตราแรงลมเฉลี่ย.....   | 62   |
| 26 แสดง FactDengueFever คลังข้อมูลโรคไข้เลือดออก.....   | 62   |
| 27 แสดงการเปรียบเทียบปัจจัยที่ใช้ในการพยากรณ์โรคไข้เลือดออกระหว่างงานวิจัยอื่นๆ และงานวิจัยที่นำเสนอ..... | 72   |
| 28 แสดงข้อมูล แหล่งข้อมูล และเครื่องมือที่ใช้ในการเก็บข้อมูล.....   | 74   |
| 29 แสดงผลการวิเคราะห์ความสัมพันธ์ของปัจจัยต่างๆ ต่ออัตราการระบาดของโรคไข้เลือดออก.....                    | 83   |
| 30 แสดงผลการวิเคราะห์ความสัมพันธ์ของปัจจัย (Significant) ด้วยเทคนิคไคสแคร์ (Chi-Square).....              | 85   |
| 31 แสดงค่าความสัมพันธ์ของปัจจัยต่างๆ ด้วยวิธีฟังก์ชันเอกซ์โพเนนเชียลต่อการระบาด.....                      | 87   |
| 32 แสดงผลการทดสอบโมเดลด้วยการปรับค่าน้ำหนัก (Weight) ด้วยจำนวนรอบ (Epoch).....                            | 93   |
| 33 แสดงผลการทดสอบโมเดลด้วยการปรับค่าน้ำหนัก (Weight) ด้วยจำนวนโนนดชั้นต่ออน.....                          | 93   |
| 34 แสดงผลการทดสอบโมเดลด้วยการปรับค่าน้ำหนัก (Weight) ด้วยอัตราการเรียนรู้.....                            | 94   |
| 35 แสดงผลการพยากรณ์แนวโน้มการระบาดของโรคไข้เลือดออก รายจังหวัด ปี 2556.....                               | 103  |
| 36 แสดงผลการพยากรณ์แนวโน้มการระบาดของโรคไข้เลือดออก รายอำเภอ ปี 2556.....                                 | 103  |
| 37 แสดงค่าผิดพลาด (Error) จากการพยากรณ์.....  | 105  |

## สารบัญภาพ

| ภาพ   | หน้า |
|---|------|
| 1 โครงข่ายประสาทเที่ยมแบบหลาຍชั้น.....  | 11   |
| 2 การเรียนรู้แบบเพริ่กระยะหักข้อกลับ.....   | 12   |
| 3 แสดงแผนภาพ CRISP-DM.....  | 14   |
| 4 แสดงการทำงานของคลังข้อมูล.....  | 19   |
| 5 กระบวนการทำงานของคลังข้อมูล.....  | 21   |
| 6 องค์ประกอบของ business intelligence.....  | 23   |
| 7 แสดงลำดับการทบทวนวรรณกรรม.....  | 24   |
| 8 กรอบแนวคิดของการวิจัย.....  | 35   |
| 9 แสดงส่วนเสริม (Enhance Services).....   | 36   |
| 10 ระบบการทำงานเดิม (รง506) ของกระทรวงสาธารณสุข.....  | 38   |
| 11 แสดงความต้องการของระบบงานใหม่.....   | 40   |
| 12 แสดงโครงสร้างบริบท (Context Diagram) การศึกษาปัจจัยในการสร้าง<br>แบบจำลองเพื่อการพยากรณ์การระบาดโรคที่ใช้เลือดออก..... | 43   |
| 13 แผนภาพกราฟแท็ชช้อมูล (DFD Level 1).....  | 44   |
| 14 แผนภาพลำดับขั้นการทำงาน (Process Hierarchy Char.....   | 45   |
| 15 แผนภาพกราฟแท็ชช้อมูล (DFD Level 2 Process1).....   | 46   |
| 16 แผนภาพกราฟแท็ชช้อมูล (DFD Level 2 Process 2) การจัดการข้อมูล.....  | 47   |
| 17 แผนภาพกราฟแท็ชช้อมูล (DFD Level 2 Process 3) การจัดการพยากรณ์.....   | 47   |
| 18 แผนภาพกราฟแท็ชช้อมูล (DFD Level 2 Process 4) การจัดการรายงาน.....  | 48   |
| 19 โครงสร้างแบบดาว (Star Schema).....   | 49   |
| 20 การออกแบบหน้าจอหลัก(Index) สำหรับผู้ใช้ทุกกลุ่ม.....   | 65   |
| 21 การออกแบบหน้าจอ สำหรับสมัครสมาชิกทั่วไป.....   | 66   |
| 22 การออกแบบหน้าจอเมนู สำหรับผู้ใช้งานทั่วไป.....   | 66   |
| 23 การออกแบบหน้าจอเมนู สำหรับผู้บริหาร.....   | 67   |
| 24 การออกแบบหน้าจอเมนู สำหรับผู้ปฏิบัติงาน.....   | 67   |
| 25 การออกแบบหน้าจอเมนู นำข้อมูลเข้าสำหรับผู้ปฏิบัติงาน.....   | 68   |

## สารบัญภาพ (ต่อ)

| ภาพ   | หน้า |
|---|------|
| 26 การออกแบบหน้าจอเมนู สำหรับผู้ดูแลระบบ.....   | 69   |
| 27 การออกแบบหน้าจอการจัดการเลือกแบบจำลองเพื่อการพยากรณ์.....                                  | 69   |
| 28 การออกแบบหน้าจอการสร้างแบบจำลองเพื่อการพยากรณ์.....  | 70   |
| 29 การออกแบบหน้าจอการปรับปุ่มโนเบล.....   | 70   |
| 30 การออกแบบหน้าจอการให้บริการข้อมูล (Web Service).....                                       | 71   |
| 31 การออกแบบหน้าจอการจัดการข้อมูล.....  | 71   |
| 32 แสดง 3 จังหวัดพื้นที่วิจัย.....  | 77   |
| 33 แสดง 8 อำเภอพื้นที่วิจัย.....  | 78   |
| 34 Histogram แสดงอัตราผู้ป่วยใช้เลือดออกระหว่างปี 2550-2555 โดยจำแนกตาม<br>ฤดูกาล.....        | 84   |
| 35 แสดงอัตราสูงถอยตัวเมียที่ติดเชื้อและอัตราผู้ป่วยต่อประชากรแสนคน.....                       | 89   |
| 36 Lift Chart ผลการประเมินความถูกต้องของแบบจำลองการพยากรณ์<br>(Forecasting Model).....        | 91   |
| 37 การเปรียบเทียบประสิทธิภาพของการพยากรณ์ (specificity and sensitivity)....                   | 92   |
| 38 โครงข่ายประสาทเทียมแบบหลายชั้น (Multi-Layered Perceptron : MLP).....                       | 95   |
| 39 ระบบช่วยสนับสนุนการตัดสินใจในการบริหารจัดการภาระนาดของโรค<br>"ใช้เลือดออก.....             | 96   |
| 40 การประมวลผลเชิงวิเคราะห์ออนไลน์ (Online Analytical Processing (OLAP))                      | 97   |
| 41 การเปรียบเทียบจำนวนผู้ป่วยโรคไข้เลือดออกเชิงพื้นที่.....                                   | 98   |
| 42 แสดงข้อมูลอัตราภาระนาดของแต่ละจังหวัด.....   | 98   |
| 43 การพยากรณ์ภาระนาดของโรคไข้เลือดออกด้วยวิธีการระบบธุรกิจอัจฉริยะ.....                       | 99   |
| 44 การพยากรณ์โรคไข้เลือดออกเชิงพื้นที่ (BI Map).....  | 99   |
| 45 การส่งรายงานหรือข้อมูลแบบอัตโนมัติด้วย email ในด้วยวิธีการระบบธุรกิจ<br>อัจฉริยะ (BI)..... | 100  |
| 46 การให้บริการเว็บเซอร์วิส (Web Service).....  | 101  |
| 47 ผลการพยากรณ์แนวโน้มภาระนาดของโรคไข้เลือดออก ปี 2556.....                                   | 104  |

## บทที่ 1

### บทนำ

#### ความเป็นมาของปัญหา

โรคไข้เลือดออกถูกจัดอันดับให้เป็นโรคติดต่อที่สำคัญของโลก (Guzman, et al., 2010) ซึ่งเกิดจากยุงลายประเภทต่างๆ ไข้เลือดออกสามารถติดต่อระหว่างมนุษย์โดยการกัดของยุงลายตัวเมียที่ติดเชื้อไข้เลือดออก ซึ่งองค์กรอนามัยโลก (WHO) ได้ประมาณการว่าในแต่ละปี มีผู้ป่วยติดเชื้อโรคไข้เลือดออกประมาณ 500 ล้านคนทั่วโลก (Beatty, et al., 2010) และทำให้ประชากร 3.6 พันล้านคนหรือประชากร 55% ทั่วโลกอยู่ในความเสี่ยงในการติดโรคติดต่อร้ายแรงนี้ (Chan, et al., 2011) โดยเฉพาะพื้นที่เขตวอนที่ใกล้แนวเส้นศูนย์สูตร เช่น บราซิล เอฟริกา และเอเชียตะวันออกเฉียงใต้ ซึ่งจะมีอัตราการติดเชื้อสูงกว่าส่วนอื่นๆ ของโลก โรคไข้เลือดออกเป็นปัญหาทางสาธารณสุขที่สำคัญในหลายภูมิภาคของโลก โดยเฉพาะประเทศไทยในแบบเอเชียตะวันออกเฉียงใต้เป็นพื้นที่ที่มีอัตราการแพร่ระบาดของโรคที่อยู่ในชั้นrunneng (Yadav, 2007)

สำหรับในประเทศไทย เริ่มมีการระบาดครั้งแรกในปี พ.ศ. 2501 มีรายงานผู้ป่วย 2,158 ราย และมีรายงานผู้ป่วยสูงสุดในปี พ.ศ. 2530 คือ 174,285 ราย ในปี พ.ศ. 2545 มีรายงานผู้ป่วย 108,905 ราย (Center of- dengue control 2002) และจำนวนผู้ป่วยมีแนวโน้มสูงขึ้นเรื่อยๆ จากการสำรวจพบว่าเด็กเป็นกลุ่มที่มีการติดเชื้อป่วยที่สูดและเป็นกลุ่มที่มีอัตราตายสูงโดยเฉพาะในช่วงอายุ 5-9 ปี รองลงมาได้แก่ กลุ่มอายุ 10-14 ปี อย่างไรก็ตามแนวโน้มของการติดเชื้อพบเพิ่มขึ้นในผู้ใหญ่

สาเหตุของโรคไข้เลือดออกเกิดจากการติดเชื้อ Dengue virus ซึ่งเป็น RNA virus ที่จัดอยู่ใน Family Flaviviridae มี 4 serotypes ได้แก่ DEN1, DEN2, DEN4 และ DEN4 (Kyle and Harris, 2008) คนได้รับเชื้อ Dengue virus โดยการถูกยุงกัด ยุงพาหะที่สำคัญได้แก่ ยุงลายบ้านและยุงลายสวน

ปัจจุบันประเทศไทยพนักงานติดเชื้อกระจายไปทั่วประเทศ ซึ่งมีรายงานผู้ป่วยจากทุกจังหวัด และทุกภูมิภาคของประเทศไทย โดยโรคไข้เลือดออกถือเป็นปัญหาที่สำคัญและมีผลกระทบต่อเศรษฐกิจโดยรวมของประเทศไทย (Anderson, et al., 2007; Suaya ,et al., 2009) หากผู้ป่วยและครอบครัวได้รับผลกระทบโดยการขาดงานและไม่ได้รับค่าจ้างในการทำงาน ต้องเสียค่ารักษาพยาบาล และเด็กนักเรียนต้องขาดเรียนเพื่อเข้ารับการรักษา นอกจากนี้การผลิตวัคซีน

สำหรับบ้องกันโรคใช้เลือดออกยังไม่สามารถทำได้ (Yadav, 2007) ทำให้วิธีบ้องกันและควบคุมการระบาดของโรคเป็นไปได้ยาก ขณะที่วิธีที่มีประสิทธิภาพที่สุดคือการควบคุมยุงลายบ้าน (*Aedes aegypti*) และยุงลายสวน (*Aedes albopictus*) ในประเทศไทยการควบคุมจะเน้นไปที่การเฝ้าระวังแหล่งเพาะพันธุ์ลูกน้ำยุงลายและจำนวนยุงลาย โดยในหลายปีที่ผ่านมาแม่กว่าจะมีการเฝ้าระวังมาตรฐานลดลง แต่ก็ยังไม่สามารถบ้องกันการระบาดของโรคได้ เหตุการณ์นี้ได้สอดคล้องกับการระบาดของโรคไข้เลือดออกในประเทศไทยสิบปีที่ผ่านมาจำนวนยุงลายลดลง แต่ก็ยังคงมีการระบาดเกิดขึ้น (Goh, 1997) ดังนั้นจะเห็นว่าการเฝ้าระวังเฉพาะแหล่งเพาะพันธุ์ลูกน้ำยุงลาย และจำนวนยุงลาย ไม่เพียงพอที่จะใช้ในการแก้ปัญหาโรคไข้เลือดออก (Koenraadt, et al., 2008)

ระบบเฝ้าระวังการระบาดของโรคไข้เลือดออกในประเทศไทยและหลายประเทศยังมีลักษณะ Passive หมายความว่าต้องเกิดการระบาดของโรคหรือมีผู้ป่วยเกิดขึ้นถึงจะมีการรายงานโดยไม่เน้นการควบคุมหรือไม่เน้นการบ้องกัน ข้อจำกัดสำคัญของระบบในลักษณะนี้คือเมื่อมีการระบาดของโรคเกิดขึ้นการรายงานไปยังหน่วยงานต่างๆ ที่เกี่ยวข้องใช้เวลานานในการส่งรายงานและการยืนยันการเกิดโรค (Beatty, et al., 2010; Runge-Ranzinger, et al., 2008) ซึ่งทำให้การแก้ไขปัญหาของหน่วยงานต่างๆ มีความล่าช้า นอกจากนี้ในบางประเทศยังเฝ้าระวังจากเกิดโรคระบาดโดยการดูข้อมูลการใช้ยา (Das, et al., 2005) การขาดโรงเรียนของนักเรียน (Besculides, et al., 2005) หรือการทำกิจกรรมบนอินเทอร์เน็ต (Ginsberg, et al., 2009; Chan, et al., 2011) โดยการวิเคราะห์จากข้อมูลการค้นหา (search query data) แบบ real-time ได้ซึ่งประโยชน์ของวิธีการสุดท้ายนี้ได้ถูกวิเคราะห์และวิจารณ์โดยสรุปข้อดีข้อเสียของวิธีการนี้คือ จะช่วยสนับสนุนการเฝ้าระวังให้สามารถตรวจสอบการระบาดของโรคได้รวดเร็วขึ้น และทำให้ทราบถึงภาพรวมของการระบาดของโรคไข้เลือดออกได้ทั่วโลกอีกด้วย แต่อย่างไรก็ตามวิธีการนี้ไม่สามารถใช้ได้กับประเทศไทยกำลังพัฒนาหรือต้องพัฒนาเนื่องจากระบบอินเทอร์เน็ตยังไม่ครอบคลุมพื้นที่ทั่วประเทศ ดังนั้นประเทศไทยมีการระบาดของโรค แต่ไม่มีระบบอินเทอร์เน็ตที่ครอบคลุมมากพอหรือประชาชนที่อยู่ในพื้นที่ระบาด อาจจะไม่มีความรู้ในการใช้อินเทอร์เน็ต ด้วยเหตุนี้ระบบดังกล่าวจึงไม่สามารถแสดงข้อมูลที่แท้จริงได้ นอกจากนี้ระบบที่ยกตัวอย่างเหล่านี้ไม่สามารถคาดการณ์หรือพยายามการเกิดโรคระบาดในอนาคตได้ ทำได้เพียงให้ข้อมูลจากอดีตถึงปัจจุบันเท่านั้น

จากข้อมูลดังที่ได้กล่าวมาข้างต้นผู้วิจัยสามารถสรุปปัญหาได้ดังนี้

1. การพยายามยังใช้ปัจจัยการพยากรณ์แบบเดิมๆ ไม่มีการนำปัจจัยใหม่ๆ มาใช้เป็นข้อมูลในการพยากรณ์

2. ไม่เดลกการพยากรณ์ได้ประสิทธิภาพการพยากรณ์ที่ต่ำ และผลความถูกต้องของ การพยากรณ์ที่ต่ำ
3. การส่งรายงานการระบาดจากส่วนกลางไปยังหน่วยงานต่างๆ และจากพื้นที่ไปยัง ส่วนกลางส่วนมากเป็นรูปแบบเอกสาร, File word, File Excel และ File PDF โดยยังไม่มี การส่งรายงานแบบออนไลน์ (world wide web)
4. "ไม่มีการเชื่อมูลหรือแลกเปลี่ยนข้อมูลผ่านระบบอินเตอร์เน็ตในรูปแบบของ เว็บเซอร์วิส (Web Service)"
5. ระบบเฝ้าระวังการระบาดของโรคใช้เลือดออกมีลักษณะเป็นแบบ Passive คือต้อง เกิดระบาดของโรคโดยมีผู้ป่วยก่อนถึงจะรู้และถึงจะรายงาน
6. ระบบส่วนมากเป็นการรายงานข้อมูลจากอดีตไปสู่ปัจจุบันไม่เน้นการพยากรณ์ การระบาดของโรคใช้เลือดออก  
 ดังนั้นในการวิจัยครั้งนี้ ผู้วิจัยจึงมุ่งเน้นที่จะลดข้อจำกัดดังกล่าว โดยการนำเอาหลักการ ทำเหมืองข้อมูลมาประยุกต์ใช้และอนุญาตให้ผู้ใช้ดูข้อมูลต่างๆ ที่ผู้ใช้สนใจได้ ด้วยการนำหลักการ ทำงานของระบบธุรกิจข้อมูล Business Intelligence (BI) มาใช้เพื่อทำให้เกิดความง่ายใน การเปรียบเทียบข้อมูลต่างๆ เพื่อใช้เป็นข้อมูลช่วยสนับสนุนการตัดสินใจของผู้บริหารและ ผู้ปฏิบัติการด้านงานสาธารณสุขและผู้สนใจทั่วไป

#### วัตถุประสงค์ของการวิจัย

1. ค้นหาปัจจัยใหม่เพื่อเพิ่มประสิทธิภาพของการพยากรณ์
2. เพื่อพัฒนาระบบรายงานการระบาดของโรคใช้เลือดออกไปยังภาคส่วนต่างๆ เมื่อมี การเกิดการระบาดของโรคใช้เลือดออก
3. เพื่อพัฒนาระบบการให้บริการและแลกเปลี่ยนข้อมูลการระบาดของโรคใช้เลือดออก บนเครือข่าย (Web Service)
4. เพื่อสร้างระบบช่วยสนับสนุนการตัดสินใจการเฝ้าระวังการระบาดและการป้องกันเพื่อ ใช้บริหารจัดการโรคใช้เลือดออก

## ขอบเขตของการวิจัย

### 1. ขอบเขตแหล่งข้อมูลที่ใช้ในการวิจัย

ข้อมูลที่จะนำมาใช้ในการวิจัยการค้นพบปัจจัยใหม่ในการพยากรณ์การระบาดโรค "ไข้เลือดออก" ถูกรวบรวมจากแหล่งข้อมูลที่น่าเชื่อถือในประเทศไทยหลายแหล่ง "ได้แก่"

1.1 ภาควิชาปรสิตวิทยา คณะแพทยศาสตร์ จุฬาลงกรณ์มหาวิทยาลัย ให้รายละเอียดข้อมูลเกี่ยวกับอัตราผู้ป่วยที่ติดเชื้อโรคไข้เลือดออก, ชนิดของเชื้อโรคไข้เลือดออก, ประเภทของบุคคลที่ติดเชื้อ เป็นต้น

1.2 กระทรวงมหาดไทย ให้รายละเอียดข้อมูลเกี่ยวกับจำนวนประชากร, ข้อมูล จังหวัด, ข้อมูลอาชญากรรม, ข้อมูลตำบล เป็นต้น

1.3 กระทรวงสาธารณสุขและสำนักงานระบาดวิทยา ให้รายละเอียดข้อมูลเกี่ยวกับจำนวนผู้ป่วยโรคไข้เลือดออก (ง.506)

1.4 กรมอุตุนิยมวิทยา ให้รายละเอียดข้อมูลเกี่ยวกับปริมาณฝน, อุณหภูมิ และความชื้นสัมพัทธ์

### 2. ขอบเขตด้านข้อมูล

2.1 ประชากรกลุ่มเป้าหมายคือผู้ป่วยโรคไข้เลือดออก 3 ประเภท "ได้แก่"

2.1.1 ผู้ป่วยโรคไข้แดงกี (DF) ข้อมูลช่วงระหว่างปี 2550 – 2555

2.1.2 ผู้ป่วยโรคไข้เลือดออก (DHF) ข้อมูลช่วงระหว่างปี 2550 – 2555

2.1.3 โรคไข้เลือดออกซอก (DSS) ข้อมูลช่วงระหว่างปี 2550 – 2555

2.2 ปริมาณฝนเฉลี่ย ข้อมูลช่วงระหว่างปี 2550 – 2555

2.3 ความหนาแน่นของประชากร ข้อมูลช่วงระหว่างปี 2550 – 2555

2.4 อุณหภูมิเฉลี่ย ข้อมูลช่วงระหว่างปี 2550 – 2555

2.5 จำนวนผู้ที่ติดเชื้อไข้เลือดออก ข้อมูลช่วงระหว่างปี 2550 – 2555

2.6 จำนวนประชากร ข้อมูลช่วงระหว่างปี 2550 – 2555

### 3. ขอบเขตด้านพื้นที่

3 จังหวัด "ได้แก่" จังหวัดราชบุรี, นครปฐม และสมุทรสาคร

### 4. ขอบเขตด้านการทำงานของระบบ

4.1 ระบบสามารถพยากรณ์ความเสี่ยงในการระบาดของโรคไข้เลือดออกได้

4.2 ออกรายงานในรูปแบบต่างๆ

4.3 สามารถให้บริการข้อมูลผ่านเว็บไซต์แก่ซอฟแวร์อื่นๆ โดยสามารถเรียกใช้ข้อมูล

ในรูปแบบ เว็บเซอร์วิส (Web Service)

## นิยามศัพท์เฉพาะ

1. จำนวนยุงลายตัวเมียที่ติดเชื้อ (Female mosquito rate) หมายถึง ร้อยละของยุงลายตัวเมียที่ติดเชื้อใช้เลือดออกที่พบจากการนับจากกลุ่มตัวอย่าง (เปอร์เซ็นต์)
2. จำนวนยุงลายตัวผู้ที่ติดเชื้อ (Male mosquito rate) หมายถึง ร้อยละของยุงลายตัวผู้ที่ติดเชื้อใช้เลือดออกที่พบจากการนับจากกลุ่มตัวอย่าง (เปอร์เซ็นต์)
3. จำนวนลูกน้ำยุงลายที่ติดเชื้อ (Larvae infection rate) หมายถึง ร้อยละของจำนวนลูกน้ำยุงลายที่ติดเชื้อใช้เลือดออกจากการตรวจหาเชื้อใช้เลือดออกโดยวิธี RT-PCR และมีความนำເຊື່ອຄົງທີ່ສຸດໃນປັຈຸບັນແລະອູ້ໃນປະເທດໄທຍ (ເປົອຣເຫັນຕີ)
4. จำนวนของເຊື່ອໃໝ່ເລືອດອອກປະເທດຕ່າງໆ (Dengue type rate) หมายถึง ร้อยละของເຊື່ອໃໝ່ເລືອດອອກປະເທດຕ່າງໆ ທີ່ພົບໃນຄົນໃໝ່ໃນເຂົ້າພິເວັນທີ 3 ຈັງວັດ
5. อุณหภูມิເเฉີຍ (Average Temperature) หมายถึง อุณหภูມิເเฉີຍໃນເຂົ້າພິເວັນທີ 3 ຈັງວັດ (ອົງຄາເຫຼັດເຫັນສ)
6. โครงสร้างแบบดาว (Star Schema) หมายถึง เป็นการรวมເພີ່ມເທຶນເຕີຍວ ແລະມີตารางແກນມືຕີ (Dimension Table) ທີ່ມີຮາຍລະເອີ້ນຂອງຮັສທີ່ໃໝ່ໃນຄ່າທີ່ແທ້ຈິງ (Fact Table) ຕາງໆ ທີ່ມີຈຳນວນເທົ່າໄດ້ ແລະມີຄີຍທີ່ສັນພັນຮູ່ປັບປຸງ ຄ່າທີ່ແທ້ຈິງ (Fact Table) ເທົ່ານັ້ນ ໂຄງສ້າງໜີນີ້ຈະຊ່າຍເພີ່ມຄວາມເຮົາໃນການສືບຄັນຂໍ້ອມູລເນື່ອຈາກຄວາມສັນພັນຮູ່ວ່າງເທຶນໃນໜີ້ບັນຫຼອນ ລັກຜະນະຂອງ ໂຄງສ້າງແບບดาว (Star Schema) ທີ່ສໍາຄັນ ອື່ນ ຂໍ້ອມູລເປັນແບບ ດິນອຽມລ້າໄລ (Denormalized) ທີ່ນີ້ເພື່ອໃຫ້ສາມາດຄັນຫາຂໍ້ອມູລໄດ້ອຍ່າງຮາດເຮົາ
7. การประมวลผลເຫັນວິເຄາະໂອນໄລນ໌ (OLAP: Online Analytical Processing) หมายถึง ກະບວນການປະກາດການປະກາດຂໍ້ອມູລທາງຄອມພິວເຕອີ ທີ່ປ່ວຍໃຫ້ຜູ້ໃຫ້ສາມາດວິເຄາະໂອນໄລນ໌ຂໍ້ອມູລມືຕີ ຕ່າງໆ (Multidimensional Data Analysis) ຂອງຂໍ້ອມູລໄດ້ຈ່າຍຍິ່ງໜີ້ ເຊັ່ນ ຜູ້ໃຫ້ທຳການສອບຕາມຂໍ້ອມູລ ຍອດຂາຍພລິຕິກັນທີ່ຊຸດວ່າຍັນນໍ້າທີ່ໜີ້ມີຂະໜາດຂອງບຣິ່ຊັກທີ່ຈໍານ່ວຍໃນຈັງວັດງູກເກີດໃນເດືອນມີນາຄມ ເປົ້າຍເຖິງກັບຍອດຂາຍຊຸດວ່າຍັນນໍ້າຈຸ່ານເດືອນຕຸລາຄມ ແລະເປົ້າຍເຖິງຍອດຂາຍຊຸດວ່າຍັນນໍ້າ ແລະພລິຕິກັນທີ່ອື່ນໆ ຂອງບຣິ່ຊັກທີ່ຂາຍໃນຈັງວັດງູກເກີດໃນໜີ້ງວາງ ການຕິດຕໍ່ຮະບນການປະກາດການປະກາດຂໍ້ອມູລໂອນໄລນ໌ (OLAP) ຈຶ່ນໃໝ່ໃຫ້ສ່ວນໃຫ້ໃຫ້ເທິງໂລຢີຮູ້ຮັນຂໍ້ອມູລແບບໜາຍມືຕີ ຊົ່ງຈະທຳເຫັນໃຫ້ຜູ້ໃຫ້ສາມາດປະກາດການປະກາດຂໍ້ອມູລວິເຄາະໂອນໄລນ໌ມືຕີທີ່ຕ້ອງການໄດ້
8. ຄົວບົງ (Cubes) หมายถึง ໂມໂດລ ຂໍ້ອມູລຂອງຄລັງຂໍ້ອມູລ (Data Warehouse) ຊົ່ງເປົ້າຍເສີ່ອນລູກບາສົກທີ່ມີມຸນອອງຫລາກຫລາຍ ແຕ່ລະມຸນອອງທຳໃໝ່ ເກີດກາວິວໜີ້ຂໍ້ອມູລຈາກ Data Warehouse ໄດ້ຫລາກຫລາຍແບບ ຄົວບົງປະກອບດ້ວຍອົງປະກອບທີ່ສໍາຄັນ ອື່ນ ສໍາຄັນ ແລະ Measure ຕ່າງໆ ຂອງຄົວບົງ

9. มาตรวัด (Measures) หมายถึง ประเภทของข้อมูลที่เป็นตัวเลขทำหน้าที่เก็บจำนวน หรือปริมาณที่เกิดขึ้นของทรานเซคชัน เช่น มูลค่าของการซื้อขาย หรือปริมาณของสินค้าที่ขายได้ เป็นต้น

10. มิติ (Dimensions) หมายถึง ข้อมูลที่เป็นมุ่งมองให้แก่ Measure เพื่อประโยชน์ในการวิเคราะห์ข้อมูลที่เป็นมุ่งมองให้แก่ Measure เพื่อประโยชน์ในการวิเคราะห์ข้อมูล

11. การกรองข้อมูลหรือการตรวจสอบความถูกต้องของข้อมูล (Data Cleansing) หมายถึงการทำข้อมูลให้ถูกต้องหรือให้เป็นมาตรฐานเดียวกัน เช่น พิษณุโลก, พิเศษ, พิเศษฯ ให้เป็นมาตรฐานเดียวกันคือ พิษณุโลก

12. การประเมินประสิทธิภาพของโมเดลการพยากรณ์ (Mean Absolute Percentage Error : MAPE) หมายถึง ค่าเฉลี่ยของค่าสัมบูรณ์ของเบอร์เร็นต์ของความคลาดเคลื่อน

13. ไคล์สแคร์ (Chi-Square) หมายถึง การทดสอบเพื่อเปรียบเทียบข้อมูลที่อยู่ในรูปของความถี่หรือในรูปของสัดส่วน เป็นข้อมูลที่เกิดจากการเก็บรวบรวมจากตัวแปรที่เกี่ยวข้องแล้ว จำแนกออกมารูปแบบเป็นความถี่หรือสัดส่วน

14. พี-แวลูร์ (P-value) หมายถึง สมมติฐานหลัก (Null hypothesis) จะถูกยอมรับหรือปฏิเสธ ถ้าถูกยอมรับ แปลว่า สมมติฐานเป็นจริง หรือแปลว่าสมมติฐานนั้นไม่เป็นจริง จะถูกปฏิเสธ จึงมีการกำหนดค่าระดับนัยสำคัญ เพื่อที่จะบอกยอมรับหรือปฏิเสธ Null hypothesis เราเรียกว่า Probability Value (P-Value) ไม่ว่าจะทดสอบสมมติฐานใดก็ตาม (Pearson correlation, t-test , F-test) เป็นต้น ผลการทดสอบสมมติฐานหรือโอกาสในการที่จะยอมรับหรือปฏิเสธ สมมติฐานนั้นๆ จะเป็นไปตามทฤษฎี Probability ภายใต้ Normal distribution

15. อัตราการป่วยต่อแสนของประชากร หมายถึง จำนวนผู้ป่วยทั้งหมด  $\times 100,000 /$  จำนวนประชากร ณ ช่วงเวลาหนึ่ง

### สมมติฐานของการวิจัย

1. อัตราการการติดเชื้อของบุคคลรายตัวเมีย, อัตราการติดเชื้อของบุคคลรายชาย และอัตราผู้ป่วยโควิดใช้เลือดออกเยกตามอายุมีความสัมพันธ์โดยตรงต่ออัตราผู้ป่วยโควิดใช้เลือดออก
2. ปัจจัยใหม่ช่วยเพิ่มประสิทธิภาพการพยากรณ์ โดยมีค่า error น้อยลง

## ประโยชน์ที่คาดว่าจะได้รับ

1. "ได้ปัจจัยใหม่ในการสร้างแบบจำลองเพื่อการพยากรณ์การระบาดโรค" ใช้เลือดออกที่มีประสีทึบภาพในการพยากรณ์
2. ทุกภาคส่วนของกระทรวงสาธารณสุขและหน่วยงานที่เกี่ยวข้องนำข้อมูลการพยากรณ์การระบาดของโรค" ใช้เลือดออก" เป้าไว้ในการจัดการและเฝ้าระวังการระบาดโรค" ใช้เลือดออก"
3. ผู้ใช้ข้อมูลโรค" ใช้เลือดออก" ได้วิบการบริการและแลกเปลี่ยนข้อมูลบนระบบเครือข่าย (Web Service) และสามารถนำข้อมูลโรค" ใช้เลือดออก" เป้าไว้ประโยชน์ต่อไปได้
4. เพื่อใช้เป็นระบบช่วยสนับสนุนการตัดสินใจของผู้บริหารและผู้ปฏิบัติการในการบริหารจัดการโรค" ใช้เลือดออก" เพื่อรับมือกับการระบาดของ" ใช้เลือดออก" ที่เกิดขึ้นได้อย่างเหมาะสมและทันต่อเวลา ดังตาราง 1

ตาราง 1 แสดงกลุ่มบุคคลที่จะนำผลการวิจัยไปใช้ประโยชน์

| กลุ่ม      | ระดับการใช้งาน  | การนำผลการวิจัยไปใช้ประโยชน์   |
|------------|---|--|
| กลุ่มที่ 1 | ระดับผู้วางแผนนโยบาย<br>-ปลัด<br>กระทรวง<br>-รองปลัดกระทรวง<br>-ผอ.สปสช.<br>-อธิบดีกรมควบคุมโรค | <ol style="list-style-type: none"> <li>1. ใช้เป็นข้อมูลในการอนุมัติงบประมาณเกี่ยวกับการเฝ้าระวัง บังคับ และรักษาโรค" ใช้เลือดออก"</li> <li>2. ใช้เป็นข้อมูลในการให้นโยบายในการจัดทำแผนยุทธศาสตร์และแผนกลยุทธ์ของกระทรวงสาธารณสุขเพื่อเฝ้าระวังและป้องกันการระบาดของโรค" ใช้เลือดออก".</li> <li>3. ใช้เป็นข้อมูลในการให้นโยบายการบริหารจัดการโรค" ใช้เลือดออก" เมื่อเกิดการระบาดของโรค</li> <li>4. ใช้เป็นข้อมูลในการให้นโยบายในการจัดทำแผนปฏิการประจำปี ของกระทรวงสาธารณสุขเกี่ยวกับควบคุมและบังคับโรค" ใช้เลือดออก"</li> <li>5. ใช้เป็นข้อมูลในการให้นโยบายในการจัดสรรงบคลากรทางการแพทย์ไปสู่พื้นที่ที่เกิดการระบาดของโรค" ใช้เลือดออก"</li> <li>6. ใช้เป็นข้อมูลในการให้นโยบายในการจัดสรรวงกันที่ไปสู่พื้นที่ที่เกิดการระบาดของโรค" ใช้เลือดออก"</li> <li>7. ใช้เป็นข้อมูลในการให้นโยบายในการตระเตรียม ฝึกอบรม และฝึกซ้อมบุคลากรทางการแพทย์และสาธารณสุข และหน่วยงานที่เกี่ยวข้องในการรับมือการระบาดของโรค" ใช้เลือดออก"</li> <li>8. ใช้เป็นข้อมูลในการให้นโยบายการทalamy และกำจัดแหล่งเพาะพันธุ์ลูกน้ำยุงลาย ในพื้นที่เสี่ยงต่อการระบาดของโรค</li> </ol> |

### ตาราง 1 (ต่อ)

| กลุ่ม                      | ระดับการใช้งาน  | การนำผลการวิจัยไปใช้ประโยชน์   |
|----------------------------|---|--|
| กลุ่มที่ 2 ระดับผู้บริหาร  | <ul style="list-style-type: none"> <li>- ผอ.สำนักงovernance วิทยา</li> <li>- ผู้ตรวจราชการ</li> <li>- ผอ.CUP</li> <li>- นพ.สสฯ</li> <li>- นพ.สสอ</li> </ul> | <p>9. ใช้เป็นข้อมูลในการให้นโยบายการประชาสัมพันธ์ให้ประชาชนในห้องถีนต่างๆ ทราบถึงการระบบ การเฝ้าระวัง อันตรายของโรค ให้เลือดออก และการเข้ารับการรักษาให้ทันท่วงที่</p> <p>1. ใช้เป็นข้อมูลในการจัดสรรงบประมาณเกี่ยวกับการเฝ้าระวัง บ้องกัน และรักษาโรคให้เลือดออก</p> <p>2. ใช้เป็นข้อมูลในการจัดทำแผนยุทธ์ศาสตร์และแผนกลยุทธ์ของหน่วยงานเพื่อเฝ้าระวังและป้องกันการระบบของโรคให้เลือดออก</p> <p>3. ใช้เป็นข้อมูลในการบริหารจัดการโรคให้เลือดออกเมื่อกีดการระบบของโรค</p> <p>4. ใช้เป็นข้อมูลในการจัดทำแผนปฏิบัติการประจำปีของหน่วยงาน เกี่ยวกับควบคุมและป้องกันโรคให้เลือดออก</p> <p>5. ใช้เป็นข้อมูลในการจัดสรรบุคลากรทางการแพทย์ไปสู่พื้นที่ที่เกิดการระบบของโรคให้เลือดออก</p> <p>6. ใช้เป็นข้อมูลในการจัดสรรวิธีภัณฑ์ไปสู่พื้นที่ที่เกิดการระบบของโรคให้เลือดออก</p> <p>7. ใช้เป็นข้อมูลในการตรวจสอบ ฝึกอบรม และฝึกซ้อมบุคลากร ทางการแพทย์และสาธารณสุข กับหน่วยงานที่เกี่ยวข้องในการรับมือการระบบของโรคให้เลือดออก</p> <p>8. ใช้เป็นข้อมูลในการทำลายและกำจัดแหล่งเพาะพันธ์ลูกน้ำยุงลาย ในพื้นที่เสี่ยงต่อการระบบของโรค</p> <p>9. ใช้เป็นข้อมูลในการสั่งการทำการประชาสัมพันธ์ให้ประชาชนในห้องถีนต่างๆ ทราบถึงการระบบ การเฝ้าระวัง อันตรายของโรค ให้เลือดออก และการเข้ารับการรักษาให้ทันท่วงที่</p> |
| กลุ่มที่ 3 ระดับปฏิบัติงาน | <ul style="list-style-type: none"> <li>-แพทย์</li> <li>-พยาบาล</li> <li>-เภสัชกร</li> <li>-ผอ.รพสต.</li> <li>-นวก.</li> </ul>                               | <p>1. ใช้เป็นข้อมูลในการของบประมาณเกี่ยวกับการเฝ้าระวัง บ้องกัน และรักษาโรคให้เลือดออก</p> <p>2. ใช้เป็นข้อมูลในการดำเนินงานตามแผนยุทธ์ศาสตร์และแผนกลยุทธ์ของกระทรวงสาธารณสุขเพื่อเฝ้าระวังและป้องกันการระบบของโรคให้เลือดออก</p> <p>3. ใช้เป็นข้อมูลในการบริหารจัดการโรคให้เลือดออกเมื่อกีดการระบบของโรค</p>  |

### ตาราง 1 (ต่อ)

| กลุ่ม                      | ระดับการใช้งาน | การนำผลการวิจัยไปใช้ประโยชน์  |
|----------------------------|----------------|---|
|                            |                | 4. ใช้เป็นข้อมูลในการจัดทำแผนปฏิบัติการประจำปีของหน่วยงาน<br>เกี่ยวกับควบคุมและป้องกันโรคให้เลือดออก  |
|                            |                | 5. ใช้เป็นข้อมูลในการขอเวชภัณฑ์เพื่อสำรองไว้เพื่อใช้ในการรักษา<br>ผู้ป่วยโรคไข้เลือดออก   |
|                            |                | 6. ใช้เป็นข้อมูลเพื่อทำการฝึกอบรมกับหน่วยงานที่เกี่ยวข้องในการ<br>รับมือการระบาดของโรคไข้เลือดออก เช่น อบต. อปท. เป็นต้น  |
|                            |                | 7. ใช้เป็นข้อมูลในการทำลายและกำจัดแหล่งเพาะพันธุ์ลูกน้ำยุงลาย<br>ในพื้นที่เสี่ยงต่อการระบาดของโรค ในพื้นที่ที่กำกับดูแล   |
| กลุ่มที่ 3 ระดับปฏิบัติงาน | -แพทย์         | 8. ใช้เป็นข้อมูลในการประชาสัมพันธ์ให้ประชาชนให้ทราบถึงการ<br>ระบาด การเฝ้าระวัง อันตรายของโรคไข้เลือดออก และการเข้ารับการ<br>รักษาให้ทันท่วงทีเพื่อไม่ให้เกิดการเสียชีวิต |
|                            | -พยาบาล        | 9. ใช้เป็นช่องทางในจัดทำรายงานการระบาดของโรคไข้เลือดออกไป<br>ยังผู้บังคับบัญชา  |
|                            | -เภสัชกร       |   |
|                            | -พอ.รพสต.      |   |
|                            | -นัก...        | 10. ใช้เป็นข้อมูลในการเฝ้าระวังการระบาดของโรคไข้เลือดออก  |

จากตาราง 1 กลุ่มนักศึกษาที่จะนำผลการวิจัยไปใช้ประโยชน์แบ่งออกเป็น 3 กลุ่มหลักๆ ดังตาราง 1 คือ กลุ่มผู้วางแผนนโยบาย, กลุ่มผู้บริหาร, กลุ่มผู้ปฏิบัติงาน และอีกกลุ่มที่ผู้วิจัยไม่ได้กล่าว ในตาราง 1 คือกลุ่มผู้ใช้ทั่วไปที่ไม่ใช่บุคลากรทางด้านสาธารณสุขซึ่งเป็นกลุ่มที่สำคัญ เช่น กำนัน, ผู้ใหญ่บ้าน และประชาชนทั่วไป ที่สามารถเข้ามาใช้ข้อมูลในระบบเพื่อนำข้อมูลไปช่วยสนับสนุนในการตัดสินใจในการเฝ้าระวังการระบาดของโรคไข้เลือดออกด้วยตนเอง โดยสามารถนำข้อมูลที่ได้ไปช่วยตัดสินใจในการกำจัดแหล่งเพาะพันธุ์ยุงลายในบริเวณบ้านตัวเอง ในชุมชนตนเอง หรือชีด พ่อมادرศรัณย์ จำกัด ที่ต้องการลดความเสี่ยงของการติดเชื้อ ให้ลดลง

## บทที่ 2

### เอกสารและงานวิจัยที่เกี่ยวข้อง

การวิจัยเรื่อง การศึกษาปัจจัยในการสร้างแบบจำลองเพื่อการพยากรณ์การระบาดโรคไข้เลือดออกนั้นผู้วิจัยได้ศึกษาข้อมูล เอกสาร แนวคิดและงานวิจัยที่เกี่ยวข้อง ไว้ดังนี้

1. แนวคิดเกี่ยวกับหลักการด้านการระบาดวิทยาของโรคไข้เลือดออก
2. แนวคิดเกี่ยวกับหลักการด้านการวิเคราะห์ข้อมูลแบบระบบโครงข่ายประสาทเทียม
3. แนวคิดเกี่ยวกับเหมือนข้อมูล
4. แนวคิดเกี่ยวกับหลักการด้านคลังข้อมูล
5. แนวคิดเกี่ยวกับหลักการด้านระบบธุรกิจอิเล็กทรอนิกส์
6. งานวิจัยที่เกี่ยวข้อง
7. สรุปเนื้อหาประจำบท

### แนวคิดเกี่ยวกับหลักการด้านการระบาดวิทยาของโรคไข้เลือดออก

การคำนวณอัตราต่ออัตโนมัติของการระบาดโรคไข้เลือดออกต่อจำนวนประชากร

1. การเจ็บป่วยด้วยโรคไข้เลือดออก หมายถึง ผู้ที่เจ็บป่วยและได้รับการวินิจฉัยว่าป่วยเป็นโรคไข้เลือดออก DHF (Dengue hemorrhagic fever) และ DSS (Dengue shock syndrome)
  2. อัตราป่วยต่อแสนประชากรของคนไทยด้วยโรคไข้เลือดออก หมายถึง จำนวนผู้ป่วยด้วยโรคไข้เลือดออกในจำนวนประชากรแสนคน คำนวณจากจำนวนผู้ป่วยด้วยโรคไข้เลือดออกในปีเดียวกัน (2555) ลบด้วยอัตราป่วยปี (2554) แล้วนำมาคำนวณเป็นร้อยละ
- จำนวนผู้ป่วยด้วยโรคไข้เลือดออกสะสมตั้งแต่เดือนมกราคม ถึงมีนาคมปี 2554 X 100,000

### จำนวนประชากรกลางปี

3. ร้อยละของอัตราเพิ่มโรคไข้เลือดออก หมายถึง ร้อยละที่เพิ่มขึ้นของอัตราป่วยต่อแสนประชากรด้วยโรคไข้เลือดออกในปี 2555 โดยคำนวณจากอัตราป่วยต่อแสนประชากรของผู้ป่วยโรคไข้เลือดออกในปีปัจจุบัน (2555) ลบด้วยอัตราป่วยปี (2554) แล้วนำมาคำนวณเป็นร้อยละ

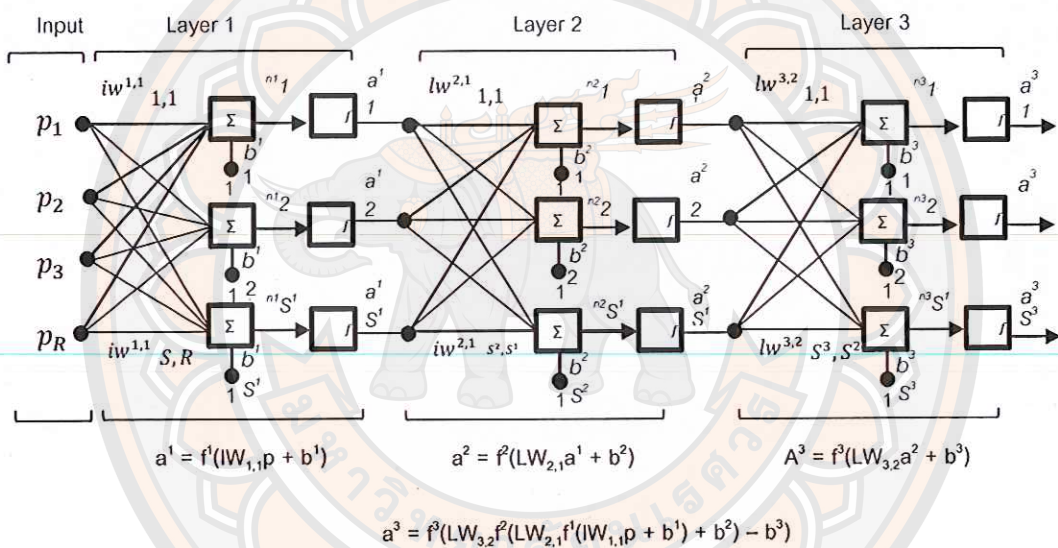
4. ศูนย์การคำนวณ : ร้อยละของอัตราเพิ่มโรคไข้เลือดออก (อัตราป่วยต่อแสนประชากรของผู้ป่วยโรคไข้เลือดออกในสถานบริการของรัฐปี 2548 - อัตราป่วยต่อแสนประชากรปี 2554)X100

อัตราป่วยต่อแสนประชากรของผู้ป่วยโรคไข้เลือดออกปี 2554

## แนวคิดเกี่ยวกับหลักการด้านการวิเคราะห์ข้อมูลแบบระบบโครงข่ายประสาทเทียม

พยุง มีสจ (2551) ระบุว่าโครงข่ายประสาทเทียมคือการจำลองการทำงานของสมองมนุษย์ด้วยโปรแกรมทางคอมพิวเตอร์ซึ่งเป็นแนวความคิดที่ต้องการให้ระบบคอมพิวเตอร์มีความคล้ายในการเรียนรู้เหมือนที่มนุษย์มีการเรียนรู้ โดยสามารถฝึกฝนการเรียนรู้ได้ และสามารถนำความรู้และวิธีการไปแก้ปัญหาต่างๆ ซึ่งมีนักวิจัยจำนวนมากได้คิดค้นรูปแบบต่างๆ ของโครงข่ายประสาทเทียมเพื่อนำมาประยุกต์ใช้ โดยการประยุกต์ใช้งานโครงข่ายประสาทเทียมให้เพื่อตัดสินใจอย่างง่ายๆ เป็นต้นถึงงานที่มีความยุ่งยากซับซ้อน

### 1. โครงข่ายประสาทเทียมแบบหลายชั้น (Multi-Layered Perceptron: MLP)



ภาพ 1 โครงข่ายประสาทเทียมแบบหลายชั้น

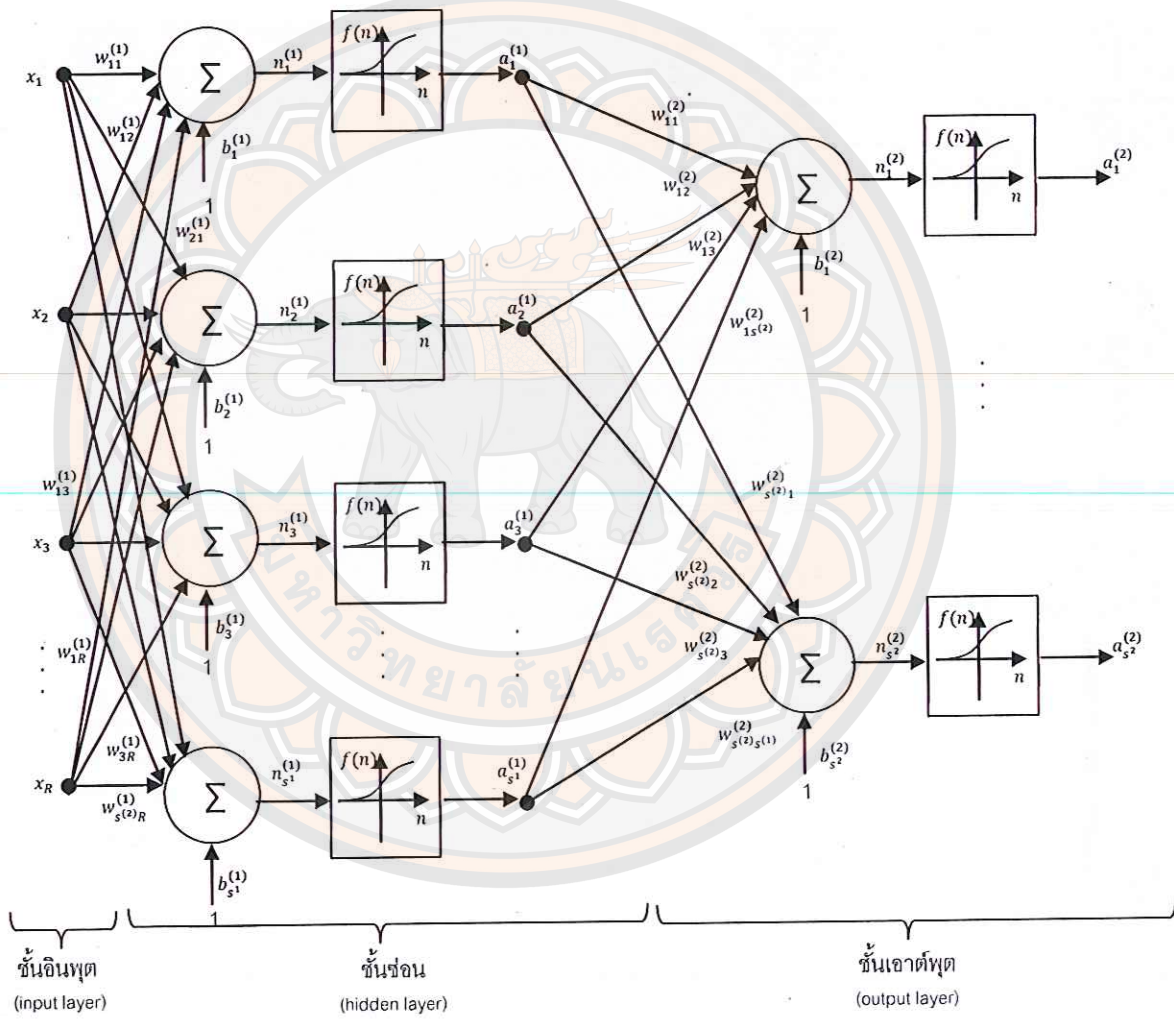
จากภาพ 1 โครงข่ายประสาทเทียมแบบหลายชั้น (Multi-Layered Perceptron: MLP) เป็นโครงข่ายประสาทเทียมที่มีนักวิจัยนิยมใช้ที่สุด เพราะเป็นโครงข่ายที่สามารถจัดการข้อมูลที่มีความยุ่งยากและ слับซับซ้อนมากๆ ได้ หรืออาจกล่าวได้ว่า สามารถนำไปประยุกต์ใช้ได้กับการพยากรณ์หรือการคำนวณเกือบทุกประเภท โดยมีข้อแม้หรือข้อบังคับว่าต้องมีจำนวนชั้นและจำนวนนิวรอนที่เหมาะสมกับการพยากรณ์นั้นๆ

### 2. การเรียนรู้สำหรับโครงข่ายประสาทเทียมและโครงข่ายประสาทเทียมแบบเบอร์เช็ปต์รอนหลายชั้น

โครงข่ายประสาทเทียมแบบเบอร์เช็ปต์รอนแบบหนึ่งหน่วยสามารถทำตัวเป็นพิงก์ชัน สมการเส้นตรงหนึ่งเส้น และใช้สำหรับการแยกกลุ่มข้อมูลออกเป็นสองกลุ่ม สำหรับปัญหาที่มี

ความซับซ้อนมาก อาทิ ปัญหาข้อมูลมีการทับซ้อน ปัญหาการแยกแบบไม่เป็นเชิงเส้น เป็นต้น โครงข่ายเปอร์เซปตรอนแบบหนึ่งชั้นจะไม่สามารถแก้ปัญหาได้ ต้องทำการเพิ่มจำนวนชั้นและจำนวนนิวรอนของโครงข่ายให้มากขึ้น ดังนั้นการสอนโครงข่ายจะมีความซับซ้อนมากขึ้น สำหรับการสอนโครงข่ายประสาทเทียมแบบหลายชั้น จะใช้วิธีการเรียนรู้แบบแพร่กระจายข้อมูลกลับ (back propagation learning)

### 3. การเรียนรู้แบบแพร่กระจายข้อมูลกลับ (Back-propagation Learning)



ภาพ 2 การเรียนรู้แบบแพร่กระจายข้อมูลกลับ

จากภาพ 2 การเรียนรู้แบบแพร่กระจายย้อนกลับ (back propagation learning) ใช้สำหรับการแยกกลุ่มข้อมูลออกเป็นสองกลุ่มหรือมากกว่า เพื่อแก้ปัญหาที่มีความซับซ้อนมากๆ เช่น ปัญหาข้อมูลมีความทบซ้อน หรือปัญหาการแยกข้อมูลแบบไม่เป็นเชิงเส้น เป็นต้น โดยจะต้องทำการเพิ่มจำนวนชั้นและจำนวนนิวรอนของโครงข่ายให้มากขึ้นๆ ซึ่งการสอนโครงข่ายจะมีความซับซ้อนมากขึ้น

#### 4. ตัวชี้ค่าผิดพลาดของการทำให้บรรลุผลสำเร็จ (error performance index)

โครงข่ายประสาทเทียมแบบเปอร์เซปตรอนหลายชั้นจะใช้วิธีการสอนแบบแพร่กระจายย้อนกลับโดยมีตัวชี้การทำให้บรรลุผลสำเร็จของการเรียนรู้ เช่นเดียวกันกับวิธีการสอนแบบค่าผิดพลาดกำลังสองน้อยสุด คือใช้ค่าผิดพลาดกำลังสองเฉลี่ย (mean square error: MSE) เป็นตัวชี้ โดยอัลกอริธึมจะปรับค่าน้ำหนักและไบแอสเพื่อลดค่าผิดพลาดดังสมการ 1

$$E(x) = (t_k - a_k)^2 = e_k^2$$

โดยมีกฎการเรียนรู้แบบค่าผิดพลาดกำลังสองต่ำสุดเป็น

$$w_{ij}^{(l)}(k+1) = w_{ij}^{(l)}(k) + n \frac{\partial E}{\partial w_{ij}^{(l)}}$$

$$b_{ij}^{(l)}(k+1) = b_{ij}^{(l)}(k) + n \frac{\partial E}{\partial w b_{ij}^{(l)}}$$

#### 5. ขั้นตอนหรือลำดับการทำงานของโครงข่ายประสาทเทียม ประกอบด้วย 3 ส่วน ดังนี้

5.1 Input Layer คือ ชั้นของการระบุตัวแปรต้น ( $X$ ) ที่จะถูกนำไปสร้างเป็นต้นแบบของการทำเหมือง ข้อมูล

5.2 Hidden layer คือ ชั้นของการประมวลผลค่าน้ำหนักของตัวแปรต้นแต่ละตัวเพื่อนำไปสู่ความน่าจะเป็นที่จะเกิดขึ้นตัวแปรตาม

5.3 Output layer คือ ชั้นของการทำนายผลโดยจะแสดงผลออกมาเป็นความน่าจะเป็นที่จะเกิดขึ้นของตัวแปรตาม ( $Y$ )

## แนวคิดเกี่ยวกับเหมืองข้อมูล

การทำเหมืองข้อมูลคือกระบวนการที่กระทำการทำกับข้อมูลจำนวนมากเพื่อค้นหารูปแบบและความสัมพันธ์ที่ซ่อนอยู่ในชุดข้อมูลนั้น (Knowledge discovery) ในปัจจุบันการทำเหมืองข้อมูลได้ถูกนำไปประยุกต์ใช้ในงานหลายประเภท ทั้งในด้านธุรกิจที่ช่วยในการตัดสินใจของผู้บริหาร ในด้านวิทยาศาสตร์และการแพทย์รวมทั้งในด้านเศรษฐกิจและสังคม การทำเหมืองข้อมูลเปรียบเสมือน วิวัฒนาการหนึ่งในการจัดเก็บและตีความหมายข้อมูล จากเดิมที่มีการจัดเก็บข้อมูลอย่างง่ายๆ มาสู่การจัดเก็บในรูปฐานข้อมูลที่สามารถดึงข้อมูลสารสนเทศมาใช้จนถึงการทำเหมืองข้อมูลที่สามารถค้นพบความรู้ที่ซ่อนอยู่ในข้อมูล (ไกรศักดิ์ เกษร, 2555, หน้า 85)



### 1. กระบวนการในการทำเหมืองข้อมูล

ในปี ค.ศ. 1996 ได้มีการพัฒนาเครื่องมือมาตรฐานในการทำเหมืองข้อมูลขึ้นมา โดยความร่วมมือของ Daimler Chrysler (Daimler-Benz) SPSS(IBM) และ NCR CRISP-DM (Cross-Industry Standard Process for Data Mining)

CRISP-DM คือกระบวนการมาตรฐานสำหรับการทำเหมืองข้อมูล จากความร่วมมือกัน ของอุตสาหกรรมต่างๆ วัดถูประสงค์เพื่อให้การพัฒนาซอฟต์แวร์ในอุตสาหกรรมเป็นไปในทางเดียวกันที่เกี่ยวข้อง ผลลัพธ์ เทอมและการแบ่งชนิดของปัญหาการทำเหมืองข้อมูล (ชนวัฒน์ ศรีสกัน, 2550)

## 2. ขั้นตอนการทำเหมืองข้อมูล

ผู้วิจัยได้นำทฤษฎี CRISP-DM มาใช้ในการดำเนินการจัดทำกราฟิวิธีทางระบบธุรกิจ ขั้นตอนสำหรับการป้องกันและควบคุมโรคให้เลือดออก มีขั้นตอนดังนี้

### 2.1 ทำความเข้าใจปัญหา (Business Understanding)

ขั้นตอนการทำความเข้าใจตกลงประสงค์ของงานวิจัย และทำความเข้าใจเกี่ยวกับ การระบบของไข้เลือดออก ระบุปัญหา ระบุปัจจัย และสภาพแวดล้อมที่ทำให้เกิดการระบบของไข้เลือดออก

### 2.2 ทำความเข้าใจข้อมูล (Data Understanding)

ขั้นตอนความเข้าใจข้อมูล เป็นการรวบรวมข้อมูลโรคไข้เลือดและข้อมูลต่างๆ ที่เกี่ยวข้อง เข้าใจถึงลักษณะของข้อมูล เช่น เป็นจำนวนเต็ม ทศนิยม หรือเป็นตัวอักษร เพื่อใช้ในการวิเคราะห์ด้วยเทคนิคหนึ่งข้อมูล การรวบรวมข้อมูลจะพิจารณาจากแหล่งข้อมูลที่ถูกต้อง นำไปใช้ ไม่ปริมาณมากเพียงพอ และเหมาะสม มีรายละเอียดเพียงพอต่อการนำไปใช้ใน การวิเคราะห์ มีกระบวนการย่อยดังนี้

### 2.3 เตรียมข้อมูล (Data preparation)

การเตรียมข้อมูลเป็นขั้นตอนที่ใช้เวลานาน เนื่องจากแบบจำลองที่ได้จากการทำเหมืองข้อมูลจะให้ผลลัพธ์ที่ถูกต้องนั้น ขึ้นอยู่กับคุณภาพของข้อมูลที่ใช้ ถ้าข้อมูลที่ใช้ไม่ถูกต้อง มีความผิดพลาด จะทำให้ผลลัพธ์ที่ได้ขาดความน่าเชื่อถือ อาจทำให้ตีความผลลัพธ์คลาดเคลื่อน ได้ สามารถแบ่งออกได้เป็น 3 ขั้นตอนย่อยดังนี้

2.3.1 การคัดเลือกข้อมูล (Data Selection) มีการกำหนดเป้าหมายว่าจะทำการวิเคราะห์สิ่งใดแล้วจึงเลือกใช้เฉพาะข้อมูลที่เกี่ยวข้องกับสิ่งที่เราจะทำการวิเคราะห์

2.3.2 การทำความสะอาดข้อมูล (Data Cleansing) เมื่อพบข้อมูลที่ไม่ถูกต้อง ไม่สอดคล้องกับความเป็นจริง อันเนื่องมาจากการบัญชาในระหว่างการจัดเก็บข้อมูล เช่น ข้อมูลไม่ครบ ข้อมูลซ้ำซ้อน ข้อมูลที่มาจากหลายแหล่งของข้อมูล ไม่ว่าจะเป็นข้อมูลที่มาจากสำนักงาน ระบบวิทยาหรือสำนักงานสาธารณสุขจังหวัด สำนักงานควบคุมโรคติดต่อ

2.3.3 การแปลงข้อมูล (Data Transformation) เป็นขั้นตอนการเตรียมข้อมูลให้อยู่ในรูปแบบที่พร้อมนำไปใช้ในการวิเคราะห์ตามอัลกอริทึมของการทำเหมืองข้อมูล

#### 2.4 สร้างแบบจำลอง (Modeling)

ขั้นตอนการสร้างแบบจำลองเพื่อนำไปวิเคราะห์ข้อมูลด้วยเทคนิคเหมือนข้อมูลในบางครั้งพบว่ามีการนำเทคนิคเหมือนข้อมูล หลายเทคนิคมาใช้ในการวิเคราะห์ข้อมูลเพื่อให้ได้ผลลัพธ์ที่ดีที่สุด ดังนั้น เมื่อทำขั้นตอนนี้แล้วอาจมีการย้อนกลับไปที่ขั้นตอน การเตรียมข้อมูล เพื่อแปลงข้อมูลบางส่วนให้เหมาะสมกับแต่ละเทคนิคด้วย นอกจากนี้ยังมี การประเมิน Model ที่ใช้วิเคราะห์ข้อมูล เพื่อเป็นตัวปั่นชีวิตความน่าเชื่อถือของ Model ที่ได้

#### 2.5 ประเมิน (Evaluate)

เป็นขั้นตอนการประเมินประสิทธิภาพของผลลัพธ์จากตัวแบบวิเคราะห์ข้อมูล (Model) ว่าครอบคลุมและสามารถตอบโจทย์การพยากรณ์การระบาดของโรคได้ดีแค่ไหน ในการนี้ ที่มีการสร้าง Model หลาย Model เช่น Microsoft Time Series Algorithm, Microsoft Decision Trees, Microsoft Linear Regression และ Microsoft Neural Network จะทำการประเมินข้อดี และข้อด้อย และควรเลือกใช้ Model ใด

#### 2.6 การนำไปใช้ (Deployment)

เป็นการนำผลลัพธ์หรือองค์ความรู้ที่ได้จากการวิเคราะห์ข้อมูลด้วยเทคนิคต่างๆ ไปใช้ประโยชน์ ตัวอย่างเช่น การรายงานพื้นที่เสี่ยงต่อการระบาดของโรคให้เด็กออกเพื่อเป็นการบังกันและเฝ้าระวังการระบาดของโรคได้ทันทีและรวดเร็ว สามารถคำนวณงบประมาณบุคลากรทางการแพทย์และเวชภัณฑ์ที่ใช้ในการรักษาผู้ป่วยโรคให้เด็กออก เป็นต้น

### 3. อัลกอริทึมในการทำเหมือนข้อมูลโดยใช้ SQL Server 2008

#### 3.1 Microsoft Naive Bayes

อัลกอริทึมที่ใช้ค้นหาความน่าจะเป็นจากความสมมัติของคอลัมน์ระหว่างข้อมูล นำเข้ากับคอลัมน์ที่นายหรือพยากรณ์ข้อมูล โดยที่แต่คอลัมน์ข้อมูลนำเข้าเป็นอิสระต่อกัน สามารถสร้างแบบจำลอง ได้อย่างรวดเร็ว

#### 3.2 Microsoft Decision Tree Algorithm

อัลกอริทึมใช้สร้างทางเลือกการตัดสินใจแบบต้นไม้ โดยที่แต่ละโนดหรือในจะแสดง คุณลักษณะ (attribute) แต่ละกิ่งแสดงผลการพิจารณาเงื่อนไขหรือทดสอบข้อมูล และลีฟโนด (leaf node) คือกลุ่มของผลลัพธ์ที่กำหนดได้

#### 3.3 Microsoft Time Series Algorithm

อัลกอริทึม วิเคราะห์ความสมมัติของข้อมูลกับช่วงเวลา โดยใช้ต้นไม้ การตัดสินใจแบบเชิงเส้น เพื่อพยากรณ์ข้อมูลในอนาคตในรูปแบบอนุกรมเวลา (Time Series)

### 3.4 Microsoft Cluster

อัลกอริทึมที่ใช้จัดกลุ่มข้อมูลเป็นกลุ่มย่อยจากคุณลักษณะของข้อมูลที่มีความคล้ายคลึงกัน

### 3.5 Microsoft Sequence Clustering

อัลกอริทึมที่ระบุกลุ่มของลำดับเหตุการณ์ เป็นการผสานกับการใช้การวิเคราะห์ลำดับ (Sequence Analysis) และอัลกอริทึมการจัดกลุ่ม (Clustering)

### 3.6 Microsoft Association Rule

อัลกอริทึมที่ใช้ในการสร้างกฎความสัมพันธ์ อธิบายรูปแบบความสัมพันธ์ที่เกิดขึ้นจาก ข้อมูลรายการสินค้าที่ซื้อพร้อมกัน ในรายการชุดรวมหนึ่งๆ

### 3.7 Microsoft Neural Network และ Logistic Regression

อัลกอริทึมที่ใช้ในการหาความเป็นไปได้ที่จะเกิดเหตุการณ์ใดๆ ขึ้นโดยที่ไม่รู้ความสัมพันธ์ระหว่างตัวแปรต้นและตัวแปรตาม โดยตัวแปรตามจะเป็นตัวแปรเชิงคุณภาพ ส่วนตัวแปรตัวนี้จะเป็นตัวแปรเชิงปริมาณหรือเชิงคุณภาพก็ได้ทำให้เหมาะสมกับการวิเคราะห์งานที่มีความ หลากหลายของตัวแปรต้น ผู้ใช้งานสามารถใช้ความนำ้ใจเป็นที่ได้จาก Microsoft Neural Network algorithm มาใช้ในการจัดกลุ่ม โดยจะอยู่ในมุมมองของตารางของการจับคู่ตัวแปรต้น และตัวแปร ตามแบบ โดยจะแสดงผลออกมาในรูปของความนำ้หนึ่งต่อหนึ่งจะเป็น โดยผู้ใช้งานสามารถเลือกค่าของตัวแปรต้นเพื่อคุณความนำ้ใจเป็นที่จะเกิดตัวแปรตามแบบใดๆ ได้ เช่น การจับคู่ระหว่างเวลาที่ เข้าเรียนสายของนิสิตกับเกรด เพศกับเกรด ความถี่ในการอัพเดตต์สข่อง Facebook กับเกรด เป็นต้น หรือทำนายตัวแปรตามจากข้อมูลตัวแปรต้นที่ใส่เข้าไปได้

## แนวคิดเกี่ยวกับหลักการด้านคลังข้อมูล

### 1. คลังข้อมูล

คลังข้อมูล คือ ฐานข้อมูลขนาดใหญ่ที่มีลักษณะเฉพาะ โดยการใช้หลักการหรือวิธีการเพื่อการรวมระบบสารสนเทศเพื่อการประมวลผลรายการข้อมูลที่เกิดขึ้นในแต่ละวัน และแต่ละสายงานมารวมเข้าเป็นหน่วยเดียวกัน เพื่อสนับสนุนกระบวนการตัดสินใจของผู้ตัดสินใจให้มีประสิทธิภาพมากยิ่งขึ้น ซึ่งคลังข้อมูลไม่ใช่ผลิตภัณฑ์ หรือระบบสำเร็จรูปที่สามารถหาซื้อมาใช้งานได้จากท้องตลาด แต่คลังข้อมูลต้องสร้างขึ้นเองโดยใช้หลักการวิธีการและแนวทางเพื่อแก้ปัญหาต่างๆ โดยการพัฒนาคลังข้อมูลต้องการความรู้ที่ขาดเจนเกี่ยวกับกิจกรรมและธุรกิจขององค์กร (ไกรศักดิ์ เกษร, 2555, หน้า 45)

### คุณลักษณะของคลังข้อมูล

1. Subject-Oriented ข้อมูลในคลังข้อมูลจะถูกจัดกลุ่มให้เหมาะสมกับการสืบค้น ส่วนใหญ่จะจัดตามประเด็นหลักขององค์กร เช่น ลูกค้า สมัคร รายอดขาย เป็นต้น

2. Integrated เนื่องจากแหล่งข้อมูลของคลังข้อมูล คือ ระบบสารสนเทศต่างๆ ที่แตกต่างกันไปตามสายงาน จึงอาจทำให้ข้อมูลที่ได้รับมา มีรูปแบบแตกต่างกัน อาจทำให้ไม่สอดคล้องกัน ดังนั้น คลังข้อมูลจึงจำเป็นต้องมีหน้าที่ในการจัดรูปแบบข้อมูลเหล่านั้นให้เป็นรูปแบบเดียวกัน และสร้างความสอดคล้องให้กับข้อมูลก่อนที่จะนำเสนอแก่ผู้ใช้

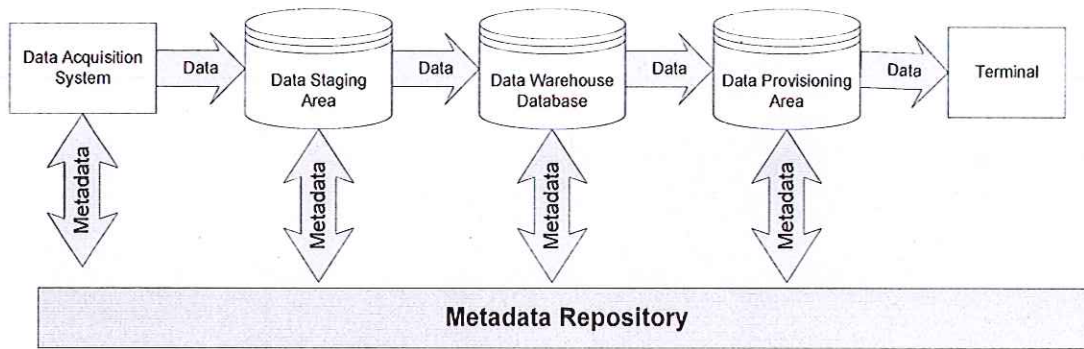
3. Time-Variant ข้อมูลที่เก็บไว้ในคลังข้อมูล จะถูกเก็บไว้เพื่อใช้งานไปอีก 5-10 ปี เพื่อการทำนายแนวโน้มที่เป็นไปในแต่ละปี หรือการเปลี่ยนแปลงค่าข้อมูลตามช่วงเวลาต่างๆ ข้อมูล จึงต้องมีความถูกต้องไม่ว่าจะอยู่ในช่วงเวลาใดก็ตาม

4. Non-Volatile เมื่อมีการเปลี่ยนของข้อมูลจากแหล่งข้อมูลที่คลังข้อมูลไปดึงมา ข้อมูลที่อยู่ในคลังข้อมูลจะไม่ได้รับการเปลี่ยนแปลงในทันที แต่จะได้การปรับปรุงในภายหลัง โดย การปรับปรุงดังกล่าว ก็เป็นการเพิ่มข้อมูลใหม่เข้าไปเรื่อยๆ ไม่ใช่การแทนที่ข้อมูลเก่าแต่อย่างใด ข้อมูลเก่าก็จะมีสถานะเป็นข้อมูลในอดีตไป (แนะนำการวิเคราะห์ข้อมูลย้อนหลัง) ดังนั้น ข้อมูล ในคลังข้อมูลจึงไม่ต้องทำการ Normalize เมื่อกับข้อมูลในฐานข้อมูลของระบบสารสนเทศทั่วไป

### 2. ขั้นตอนของคลังข้อมูล

คลังข้อมูลเป็นศูนย์รวมของหลักการวิธีการ มากมายหลากหลาย อาทิ เช่น การออกแบบและสร้างโครงสร้างของข้อมูลใน Data Warehouse วิธีการเพื่อให้ได้มาซึ่งข้อมูล วิธีการสร้างผลลัพธ์จากข้อมูลที่มี รวมไปถึงวิธีการคุ้นเคยรักษา วิธีการปรับปรุงประสิทธิภาพ เป็นต้น ซึ่งหลักการวิธีการเหล่านี้ เราจะรวมเรียกว่า การคลังข้อมูล (Data Warehousing)

ดังนั้น ในการพัฒนาคลังข้อมูล จะต้องทราบถึงองค์ประกอบของคลังข้อมูลว่า ส่วนใดบ้างที่จะทำหน้าที่ในการเข้าถึง (Access) ข้อมูลที่แตกต่างกัน ในเบื้องต้นแหล่งข้อมูล การทำให้ข้อมูลไม่มีความชำรุด (Cleansing) การแปลงข้อมูลจากแหล่งข้อมูลให้อยู่ในรูปแบบที่ คลังข้อมูลต้องการ และการเก็บบันทึกข้อมูลในรูปแบบที่ง่ายต่อการนำไปใช้งาน ดังภาพ 4



ภาพ 4 แสดงการทำงานของคลังข้อมูล

จากภาพ 4 แสดงการทำงานของคลังข้อมูลได้ดังนี้

1. Data Acquisition System (ระบบวิบัติข้อมูล) ทำหน้าที่เป็นผู้รับข้อมูลที่มาราจากภายนอกระบบคลังข้อมูล ซึ่งในที่นี้รวมทั้งข้อมูลที่มาจากภายนอกและภายในองค์กร อาจได้มาโดยผ่านทางระบบเครือข่ายคอมพิวเตอร์ อินเทอร์เน็ต หรือโดยการบันเข้าไปเอง นอกจาก Data Acquisition System จะทำหน้าที่ในการรับและตรวจสอบข้อมูลเบื้องต้นแล้ว ยังทำหน้าที่เป็นผู้ติดต่อกับผู้ให้ข้อมูลในกรณีที่ข้อมูลมีความผิดพลาดด้วย
2. Data Staging Area เป็นวิธีที่คลังข้อมูลจะปรับข้อมูลเพื่อลดความซ้ำซ้อน (Cleansing) และเลือกเฉพาะข้อมูลที่มีประโยชน์ (Filtering) เพื่อนำมาเก็บไว้ในคลังข้อมูลเพื่อใช้งานต่อไป
3. Data Warehouse Database ใช้เพื่อเก็บบันทึกข้อมูลต่างๆ ที่จำเป็นสำหรับการวิเคราะห์ข้อมูลขององค์กร และจะเก็บตลอดไป "ไม่แก้ไขข้อมูลหากไม่จำเป็น ถ้ามีการเปลี่ยนแปลงก็จะมีการเติมข้อมูลเข้าไป และปล่อยให้ข้อมูลซุดเดิมมีสภาพเช่นเดิมโดยเพิ่มเติมเพียงแค่ข้อมูลใหม่"
4. Data Provisioning Area หรือ Data Mart ทำหน้าที่ในการเก็บบันทึกข้อมูลและผลลัพธ์ต่างๆ ที่จำเป็นสำหรับการวิเคราะห์ข้อมูล ข้อมูลจาก Data Warehouse Database จะถูกดึงและประมวลผลแล้วนำผลที่ได้มาเก็บไว้ที่ Data Provisioning Area หรือ Data Mart ซึ่งโครงสร้างข้อมูลของนั้นอาจมีลักษณะที่คล้ายคลึงกับใน Data Warehouse Database หรืออาจเป็นโครงสร้างข้อมูลที่เหมาะสมสำหรับนำไปใช้งาน เช่น อยู่ในรูปของรายงาน (Report) เข้าจึงเรียก Data Provisioning Area ว่า Data Mart
5. End User Terminal ทำหน้าที่ดึงเอาข้อมูลที่ได้ถูกเตรียมไว้ใน Data Provisioning Area หรือใน Data Warehouse Database เพื่อนำเสนอผลลัพธ์ที่ใช้สำหรับการวิเคราะห์ข้อมูลใน

## End User Terminal

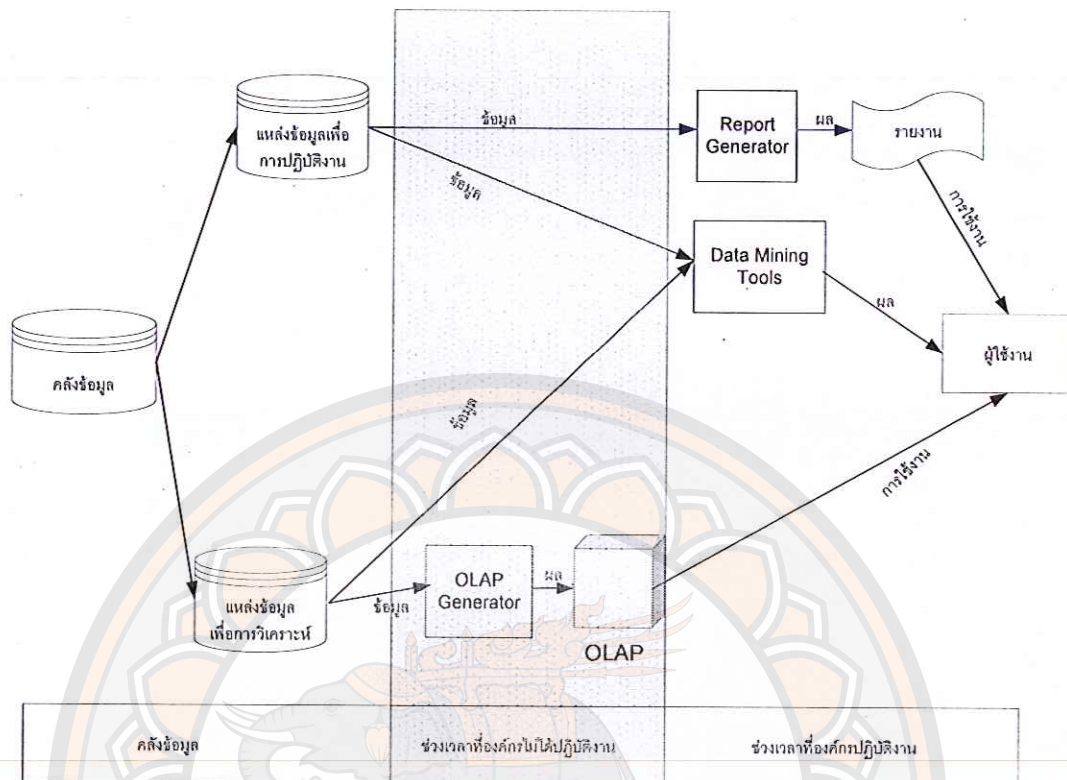
6. Metadata Repository เป็นพื้นที่ที่ใช้สำหรับเก็บข้อมูลต่างๆ ที่จำเป็นสำหรับการควบคุมการทำงานและควบคุมข้อมูลในคลังข้อมูล ซึ่งเรียกว่า Metadata โดยมาวาง Metadata จะมีข้อมูลที่เกี่ยวข้องกับข้อมูลต่างๆ ใน Data Acquisitioning System, Data Staging Area, Data Warehousing Database และ Data Provisioning Area

### 3. การวิเคราะห์ข้อมูลในคลังข้อมูล มี 3 แบบ ดังต่อไปนี้

3.1 Query and Reporting เป็นการใช้โปรแกรม หรือระบบที่เรียกว่า ระบบสร้างรายงาน (Report Generator) เพื่อรับข้อมูลที่เกิดจากการปฏิบัติงานในระบบมาประมวลผลอย่างโดยปางหนึ่ง เพื่อให้เกิดผลลัพธ์เพื่อประโยชน์ในการตัดสินใจตามที่ต้องการ

3.2 Multidimensional Data Analysis เป็นการวิเคราะห์ข้อมูลแบบหลายมิติ โดยการใช้โปรแกรม หรือระบบที่เรียกว่า ระบบสร้างการประมวลผลเชิงวิเคราะห์แบบออนไลน์ (Online Analytical Processing Generator หรือ OLAP Generator) เพื่อนำข้อมูลสำหรับการวิเคราะห์ที่ได้จัดเตรียมไว้ล่วงหน้า มาประมวลผลอย่างโดยปางหนึ่งเพื่อให้เกิดผลลัพธ์หรือมิติ (Measures) ที่มีหลากหลายมุมมอง (Dimension) เพื่อการเตรียมพร้อมสำหรับการหยิบไปใช้งานได้ทันทีในอนาคต โดยไม่ต้องประมวลผล

3.3 Data Mining (การทำเหมืองข้อมูล) เป็นการใช้โปรแกรมที่มีความซับซ้อนในระดับหนึ่งที่เรียกว่า Data Mining Tools เพื่อการวิเคราะห์ ค้นหา หรือสร้างความรู้ใหม่ (Discovered Knowledge) ซึ่งไม่เคยมีมาก่อนในการทำ Query and Reporting และ Multidimensional Data Analysis สามารถเปรียบเทียบกับการวิเคราะห์ข้อมูลทั้ง 3 แบบในเรื่องของความยากง่าย และเครื่องมือที่ใช้สำหรับการวิเคราะห์ข้อมูลได้ โดยแสดงกระบวนการทำงานของคลังข้อมูลดังภาพ 5



ภาพ 5 กระบวนการทำงานของคลังข้อมูล

จากภาพ 5 จะเห็นว่าการเตรียมข้อมูลแบบ Multidimensional เพื่อการใช้งานนั้น มักจะ ทำในเวลาที่องค์กรไม่ได้ปฏิบัติงาน เช่น หลังเลิกงาน ถ้าไม่มีข้อผิดพลาดใดๆ ในตอนเช้า ผู้วิเคราะห์สามารถนำเอา OLAP ซึ่งเป็นผลจากการประมวลผลดังกล่าวไปใช้งานได้เลย ต่างจาก รายงานตามปกติซึ่งต้องอาศัยการประมวลผลในเวลาทำงานหากมีข้อมูลที่ต้องใช้จำนวนมาก ก็จะ เกิดความล่าช้า อย่างไรก็ตามหากมีการเปลี่ยนแปลงข้อมูลในเวลาทำงาน การออกรายงาน ตามปกติจะสามารถแสดงผลจากข้อมูลในปัจจุบัน (Real Time Report)

#### แนวคิดเกี่ยวกับหลักการด้านระบบธุรกิจอัจฉริยะ

Business Intelligence (BI) คือ สถาปัตยกรรมเครื่องมือต่างๆ ฐานข้อมูล โปรแกรม การประยุกต์ใช้งานด้านต่างๆ และรวมวิธีการต่างๆ เป้าประสงค์หลักของ BI คือสามารถเข้าถึง ข้อมูลแบบโต้ตอบ จัดการกับข้อมูลนี้ และทำให้สามารถวิเคราะห์การดำเนินงานที่เหมาะสมได้ โดย การวิเคราะห์ข้อมูลเดิม ข้อมูลปัจจุบัน สถานการณ์ และประสิทธิภาพของข้อมูล ผู้ตัดสินใจได้รับ ข้อมูลเชิงลึกที่สำคัญเพื่อให้ข้อมูลเพิ่มเติมและการตัดสินใจที่ดีกว่า กระบวนการของ BI จึงอยู่กับ

การแปลงข้อมูลเป็นสารสนเทศ การตัดสินใจและสุดท้ายคือการปฏิบัติสถาปัตยกรรมของ BI และองค์ประกอบต่างๆ (Leblanc, Moss, Sarka and Ryan, 2015, p.21)

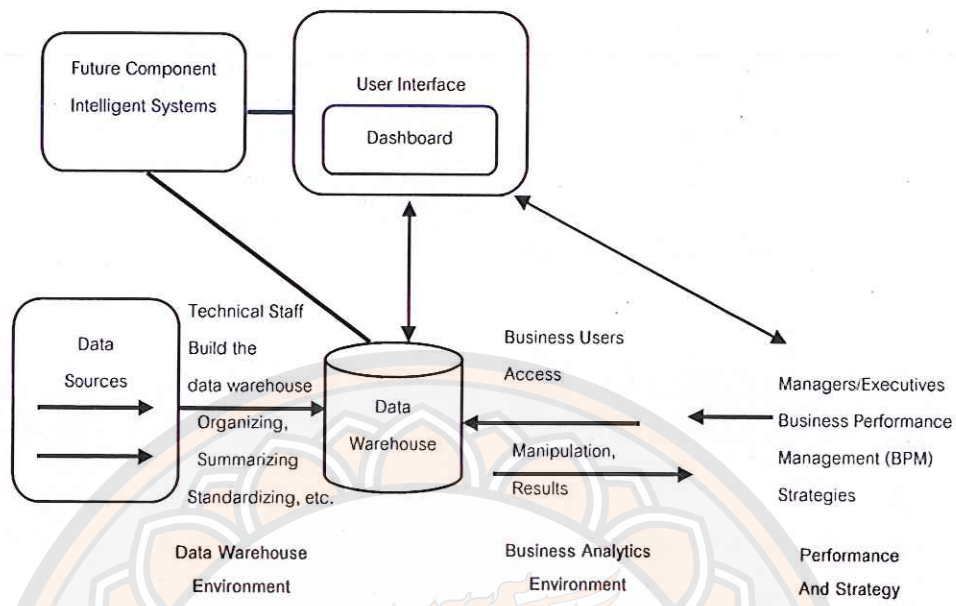
BI มี 4 องค์ประกอบหลัก คือ data warehouse, business analytics, business performance management เพื่อตรวจสอบและวิเคราะห์การปฏิบัติ สุดท้ายคือ user interface

สังเกตว่าสภาพแวดล้อมของคลังข้อมูล (data warehousing) คือความรับผิดชอบหลักๆ ของเจ้าหน้าที่เทคนิคขณะที่สภาพแวดล้อมทางการวิเคราะห์อยู่ในขอบเขตของผู้ใช้งานธุรกิจ ซึ่งผู้ใช้สามารถเชื่อมต่อกับระบบผ่านทางส่วนติดต่อผู้ใช้ เช่น browser และผู้บริหารระดับสูงอาจจะมีองค์ประกอบ BPM และ dashboard

Intelligence System สามารถแสดงให้เห็นมุมมองขององค์ประกอบในอนาคตของ BI ตามหลักของ Zaman (2005) นี้อาจจะเป็นสาเหตุที่เปลี่ยนชื่อมาเป็น artificial business intelligence

Data Warehousing ข้อมูลให้จากระบบการดำเนินงานสู่คลังข้อมูล (data warehouse) ซึ่งเป็นฐานข้อมูลพิเศษหรือพื้นที่เก็บข้อมูลที่จัดเตรียมเพื่อสนับสนุนการตัดสินใจ ขยายจากการตั้งค่าตามและการรายงานอย่างง่ายดายสู่การเพิ่มประสิทธิภาพที่ชั้นช้อน DW ถูกสร้างขึ้นด้วยหลายกรรมวิธี หลักๆคือ metadata และ ELT อีกทั้งยังมี data marts ซึ่งเป็นข้อมูลรองรับสำหรับองค์กรหรือหน้าที่เฉพาะเจาะจง คลังข้อมูลและตัวเปลี่ยนหลักสำคัญของ medium-to-large BI system แต่เดิมมีเพียงข้อมูลประวัติที่ได้จัดและสรุปไว้ ดังนั้นผู้ใช้จึงสามารถดูหรือจัดการข้อมูลได้โดยคลังข้อมูลสามารถรวมข้อมูลได้เป็นอย่างดี ดังนั้นจึงสามารถตัดสินใจได้ในเวลาจริง

Business Analytics มีเครื่องมือซอฟต์แวร์หลายชนิดสำหรับผู้ใช้เพื่อสร้างการรายงาน (reports) การสอบถาม (queries) วิเคราะห์ข้อมูล (analyze data) ปราภูมิขึ้นภายใต้ชื่อ online analytical processing (OLAP) เช่น ผู้ใช้สามารถวิเคราะห์ข้อมูลและแนวโน้มในมิติที่แตกต่างกันได้ ผู้ใช้ในองค์กรสามารถวินิจฉัยแนวโน้มการปฏิบัติงานได้อย่างง่ายดายและรวดเร็ว โดยใช้การวิเคราะห์แนวโน้มและเครื่องมือการพิจารณาผลิตภัณฑ์นี้ได้สนับสนุนการวิเคราะห์ข้อมูลและ การรายงานผลที่ชั้นช้อนมาก ตัวอย่างเช่น ผู้ใช้สามารถแยกและระบุผลิตภัณฑ์ ลูกค้า ภูมิภาค หรือแนวโน้มที่ลงของพื้นที่ได้อย่างรวดเร็ว



ภาพ 6 องค์ประกอบของ business intelligence

ผู้ใช้สามารถทำงานร่วมกับเทคโนโลยีและเครื่องมือที่หลากหลายได้ ซึ่งแบ่งได้ 5 ส่วน

ดังนี้

1. **Reporting และ Queries** ใช้จัดการทั้งการรายงานแบบคงที่และเคลื่อนที่ ประเภทของการสอบถาม การค้นพบสารสนเทศ มุ่งมองหลายมิติ เจาะลึกในรายละเอียดและอื่นๆ
2. **Advanced Analytics** ประกอบด้วยหลักสถิติ ทางการเงิน คณิตศาสตร์ และโมเดล อื่นๆ ที่ใช้ในการวิเคราะห์ข้อมูลและสารสนเทศ
3. **Data, Text และ Mining** เมื่อถูกหานี้ข้อมูล (data mining หรือ DM) คือ กระบวนการ การค้นหาความตื้มพื้นที่หรือสารสนเทศที่ไม่เจอกันในฐานข้อมูลใหม่หรือคลังข้อมูล การใช้เครื่องมือ อัจฉริยะ เช่น neural computing หรือวิธีการทางสถิติขั้นสูง การทำเหมืองข้อมูลสามารถทำได้กับ ข้อมูลเชิงปริมาณ ตัวอักษรหรือ Web data
4. **Business Performance Management (BPM)** คือองค์ประกอบสุดท้ายของ กระบวนการ BI สรุปนี้อยู่บนพื้นฐานของวิธีการ balanced scorecard ซึ่งเป็นกรอบเพื่อ การกำหนด การดำเนินการ การจัดการ และยุทธศาสตร์ทางธุรกิจของบริษัทโดยการเชื่อมโยง เป้าประสงค์กับการวัดผลจริง กล่าวคือ วิธีการเชื่อมโยงตัวชี้วัดระดับสูง เช่นเดียวกับสารสนเทศทาง การเงินที่สร้างขึ้นโดย chief financial officer (CFO) กับการปฏิบัติจริง ซึ่ง BPM ใช้ BI เพื่อ วิเคราะห์การรายงานและการสอบถาม เป้าประสงค์ของ BPM คือเพิ่มประสิทธิภาพการปฏิบัติ

### การโดยรวมขององค์กร

5. Dashboard คือส่วนที่ทำหน้าที่รวบรวมและเสนอสารสนเทศในวิธีการที่ง่ายต่อการอ่าน และได้เสนอการวัดผลประสิทธิภาพขององค์กร แนวโน้ม โดยได้มีการแสดงกราฟ แผนภูมิ และตารางที่แสดงการปฏิบัติงานจริงเทียบกับตัวชี้วัดตามที่ต้องการ

### งานวิจัยที่เกี่ยวข้อง

การทบทวนวรรณกรรมผู้วิจัยได้ศึกษางานวิจัยจากนักวิจัยหลายท่านทั้ง ในประเทศไทย และต่างประเทศ ซึ่งผู้วิจัยจำแนกการทบทวนวรรณกรรมออกเป็น 3 กลุ่ม คือ ปัจจัยที่ใช้ในการพยากรณ์, เทคนิคที่ใช้ในการพยากรณ์โรค ใช้เลือดออก และระบบสารสนเทศกับโรคไข้เลือดออก ดังภาพ 7

| โรคไข้เลือดออก             |                              |                               |
|----------------------------|------------------------------|-------------------------------|
| ปัจจัยที่ใช้ในการพยากรณ์   | เทคนิคในการพยากรณ์           | ระบบสารสนเทศกับโรคไข้เลือดออก |
| จำนวนผู้ป่วยโรคไข้เลือดออก | Fuzzy logic                  | HISO                          |
| ปริมาณฝน                   | Decision Trees               | รง 506 (R506)                 |
| ความชื้นสัมพันธ์           | Time Series                  | HDC                           |
| อุณหภูมิ                   | Neural Network               | FFC Plus                      |
| อุณหภูมิของร่างกาย         | K-H Model                    | mHealth                       |
| ปริมาณน้ำในร่างกาย         | SVM                          | GIS                           |
| อัตราแรงลม                 | Naives Bayes                 |                               |
| ลักษณะภูมิประเทศ           | Multiple regression analysis |                               |
| จำนวนประชากร               |                              |                               |

ภาพ 7 แสดงลำดับการทบทวนวรรณกรรม

จากภาพ 7 เป็นลำดับที่ผู้วิจัยได้ศึกษางานวิจัยดังต่อไปนี้

### 1. ปัจจัยที่ใช้ในการพยากรณ์โรคไข้เลือดออก

ในประเทศไทยมีนักวิจัยที่ได้ทำการวิจัยเกี่ยวกับปัจจัยที่ใช้ในการพยากรณ์โรคไข้เลือดออกดังจะเห็นได้จากผลงานวิจัยของ นาวา รัชตะ และคณะ (Rachata, et al., 2008) ได้ทำการวิจัยระบบพยากรณ์ของโรคไข้เลือดออกโดยอัตโนมัติและความเสี่ยงการระบาดของโรคไข้เลือดออกโดยใช้โครงข่ายประสาทเทียม (Neural Network) ซึ่งใช้พื้นที่ในการวิจัยคือจังหวัดเชียงราย โดยใช้ข้อมูลจากสำนักงานสถิติแห่งชาติ ซึ่งปัจจัยที่ใช้วิจัย คือ จำนวนผู้ป่วยไข้เลือดออก, ปริมาณน้ำฝนสูงสุด, ปริมาณน้ำต่ำสุด, ปริมาณฝน, ความชื้นสัมพัทธ์ โดยเก็บข้อมูลตั้งแต่ปี 1999 – 2007 ซึ่งเก็บข้อมูลจำนวนผู้ป่วยและลักษณะอากาศเป็นรายสัปดาห์ โดยผลการวิจัยสรุปได้ว่า โมเดลการพยากรณ์มีความถูกต้องแม่นยำถึง 85.92% ต่อมาสาวนิต สุภาวงศ์ (2542) ได้ศึกษาการพยากรณ์แนวโน้มของการเกิดโรคที่ต้องเฝ้าระวังทางระบาดวิทยาของจังหวัดยะลา โดยใช้ข้อมูลจำนวนผู้ป่วยโรคไข้เลือดออก ซึ่งเป็นการวิจัยที่เน้นทางด้านการวิเคราะห์การใช้สูตรคำนวณทางสถิติ ไม่ได้ดำเนินการจัดทำเป็นระบบพัฒนาสารสนเทศเป็นเพียงการนำเทคโนโลยีการพยากรณ์และทฤษฎีทางสถิติมาช่วยในการวิเคราะห์ข้อมูล ซึ่งสรุปวิธีการพยากรณ์และตัวแบบที่เหมาะสมสำหรับการพยากรณ์ผู้ป่วยด้วยโรคที่ต้องเฝ้าระวังทางระบาดวิทยา โดยใช้วิธีการพยากรณ์อนุกรมเวลาโดยเทคนิคบอคส์และเจนกินส์ ซึ่งได้ผลการพยากรณ์ในระดับที่น่าพอใจ หลังจากนั้น เสรี นพรัตน์ (2543) ได้จัดทำระบบระบาดวิทยาของโรคไข้เลือดออกในจังหวัดอุตรดิตถ์ เพื่อศึกษาแนวโน้มการเกิดโรคไข้เลือดออกตามกลุ่มอายุ การกระจายของโรคตามลักษณะทางภูมิศาสตร์ และความสมพันธ์ระหว่างอุณหภูมิกับปริมาณน้ำฝน และความชื้น สัมพัทธ์กับจำนวนผู้ป่วยโรคไข้เลือดออก ซึ่งเป็นการวิจัยเชิงพรรณนา วิเคราะห์ข้อมูลโดยใช้ความถี่และสหสมพันธ์แบบสเปียร์เมน ซึ่งได้ผลสรุปคือปัจจัยที่ส่งผลต่อการระบาดของโรคไข้เลือดออกคือ อุณหภูมิ

สำหรับงานวิจัยในต่างประเทศมีนักวิจัยหลายท่านที่ได้ทำการวิจัยเกี่ยวกับปัจจัยที่ใช้ในการพยากรณ์โรคไข้เลือดออก อาทิ เช่น ในประเทศไทยมาเลเซีย นักวิจัยชื่อ อิบรารีม และคณะ (Ibrahim, et al., 2010) ได้ทำการวิจัยความเสี่ยงในผู้ป่วยโรคไข้เลือดออกโดยใช้การวิเคราะห์เครื่อข่ายประสาทเทียม โดยใช้ข้อมูลจากห้องปฏิบัติการทางการแพทย์ของผู้ป่วยที่ติดเชื้อ เช่น อุณหภูมิของร่างกาย และปริมาณน้ำในร่างกาย จากการวิจัยได้ผลสรุปคือมีความถูกต้องในทำนาย 96.86% จากผลการวิจัยนี้แสดงให้เห็นว่าโครงข่ายประสาทเป็นเทคนิคที่มีประสิทธิภาพสูงสุดใน การวัดแนวโน้มและการคาดการณ์ความเสี่ยงผู้ป่วยโรคไข้เลือดออก ในปัจจุบันนักวิจัยชาวฝรั่งเศสซึ่ง

นายเรียม การ์บี และคณะ (Gharbi, et al., 2011) ได้ทำการวิจัยการวิเคราะห์อนุกรมเวลา (Time series analysis) ของอัตราการเกิดโรคไข้เลือดออกในประเทศไทยร่วงเศษ ข้อมูลที่ใช้ในการวิจัยคือ ข้อมูลผู้ป่วยโรคไข้เลือดออก, อุณหภูมิ, ปริมาณฝน, ลักษณะภูมิประเทศ และอาชีพ ผลการวิจัยสรุปว่ารูปแบบการใช้ตัวแปรสภาพภูมิอากาศเป็นตัวพยากรณ์ในประเทศไทยร่วงเศษที่นำเสนอถือได้มากที่สุดคือใช้ข้อมูลย้อนหลัง 3 เดือนในการพยากรณ์ของเดือนถัดไป ในปีเดียวกัน อาร์เนส (Earnest, et al., 2011) ได้ทำการวิจัยเปรียบเทียบโมเดลทางสถิติเพื่อการพยากรณ์โรคไข้เลือดออกและการแจ้งเตือนการระบาดของโรคในประเทศไทยสิงคโปร์ โดยใช้ข้อมูลจำนวนผู้ป่วยโรคไข้เลือดออก ระหว่างปี ค.ศ. 2001-2008 ซึ่งผลการวิจัยนี้สรุปได้ว่าแบบจำลอง K-H model พยากรณ์และแจ้งเตือนได้รวดเร็วกว่าแบบจำลอง ARIMA time series ในเวลาต่อมาก้าวีม ฟัทิมา และคณะ (Fathima, et al., 2011) ได้ทำการวิจัยเปรียบเทียบการระบาดของโรคไข้เลือดออกด้วยเทคนิค SVM และ Naives Bayes ในเมือง Chennai และ Tirunelveli ประเทศไทย อนึ่งโดยใช้ข้อมูลจำนวนผู้ป่วยโรคไข้เลือดออก ซึ่งผลการวิจัยสรุปว่า SVM มีความสามารถในการทำนายการระบาดที่ถูกต้องมากกว่า Naives Bayes ในปี ค.ศ. 2012 นักวิจัยชื่อ นาซมูล คาริม และคณะ (Karim, et al., 2012) ได้ทำการวิจัยเกี่ยวกับปัจจัยที่มีอิทธิพลต่อการระบาดของโรคไข้เลือดออกในประเทศไทยบังคลาเทศ โดยใช้อัตราแสงลง, จำนวนผู้ป่วย และจำนวนประชากรด้วยเทคนิค Multiple regression analysis ซึ่งผลสรุปของการวิจัยนี้คือ เทคนิค Multiple regression analysis มีความสามารถสูงในการหาปัจจัยการระบาด โดยการวิจัยนี้ นาซมูล คาริม และคณะได้ผลสรุปของการวิจัยคืออัตราแสงลงและความหนาแน่นของประชากรมีอิทธิพลโดยตรงต่อการระบาดของโรคไข้เลือดออก

จากการวิจัยของนักวิจัยหลายๆ ท่าน ผู้วิจัยได้เปรียบการใช้ปัจจัยต่างๆ ในการพยากรณ์โรคไข้เลือดออก ดังตาราง 2

## ตาราง 2 แสดงการเปรียบเทียบปัจจัยที่ใช้ในการพยากรณ์การระบาดของโรคไข้เลือดออก

| งานวิจัย              | ปัจจัยที่ใช้ในการพยากรณ์โรคไข้เลือดออก<br>จากการทบทวนวรรณกรรม                       |
|-----------------------|---|
| เสาวนิต สุขภาวงศ์     | - จำนวนผู้ป่วยไข้เลือดออก   |
| นภา รัชดา และคณะ      | - จำนวนผู้ป่วยไข้เลือดออก, ปริมาณน้ำฝนสูง, ปริมาณน้ำต่ำสุด, ปริมาณฝน, ความชื้น      |
| เสรี นพรัตน์          | - อุณหภูมิกับปริมาณน้ำฝน, ความชื้น  |
| อิบราฮิม และคณะ       | - สมพัทธ์, จำนวนผู้ป่วยโรคไข้เลือดออก<br>- อุณหภูมิของร่างกาย และปริมาณน้ำในร่างกาย |
| มายเรียม การบี และคณะ | - จำนวนผู้ป่วยโรคไข้เลือดออก, อุณหภูมิ, ปริมาณฝน                                    |
| อาญุต อาร์เนส         | ลักษณะภูมิประเทศ และอาชีพ   |
| ชาลีม พาทินา และคณะ   | - จำนวนผู้ป่วยโรคไข้เลือดออก  |
| นาษมูล ควรริม และคณะ  | - อัตราแวงลง, จำนวนผู้ป่วย และจำนวนประชากร  |

### 2. เทคนิคที่ใช้ในการพยากรณ์โรคไข้เลือดออก

มีนักวิจัยหลายท่านได้ทำการพัฒนาโมเดลและเทคนิคที่ใช้ในการพยากรณ์การระบาดของโรคไข้เลือดออก เช่น เคล็ดสูตร และคณะ (Choudhury, et al., 2008) ใช้โมเดลอนุกรมเวลา (Time series) ในการพยากรณ์การเกิดการระบาดของไข้เลือดออกในประเทศไทยบังคับเวลา โมเดลอนุกรมเวลาจัดเป็นโมเดลเดียวกับ อรีมา (ARIMA) ซึ่งสามารถใช้พยากรณ์เหตุการณ์ในอนาคตได้ต่อมา่อนหน้า แล้ว บักซาก และคณะ (Buczak, et al., 2008) ได้ทำการวิจัยวิธีการทำนายการระบาดของโรคไข้เลือดออกในประเทศไทยโดยใช้ทฤษฎี Fuzzy logic ซึ่งงานวิจัยนี้ได้ผลสรุปคือได้โมเดลการพยากรณ์ที่มีประสิทธิภาพสูง ต่อมาน พอต และคณะ (Potts, et al., 2010) ได้ใช้ทฤษฎีแบบต้นไม้ (Decision Tree) เป็นโมเดลในการวิเคราะห์และจำแนกผู้ป่วยโรคไข้เลือดออก ทั้งรุนแรง (Severe) ออกจากผู้ป่วยที่ไม่รุนแรง (Mild) อย่างไรก็ตามวิธีการนี้ไม่ได้ช่วยบรรเทา

ความรุนแรงการระบาดของโรคไข้เลือดออกแต่อย่างใด เนื่องจากเป็นเพียงการจำแนกกลุ่มผู้ป่วยอย่างเดียว ไม่มีการทำนายหรือให้ข้อมูลที่เป็นประโยชน์ต่อการเตรียมตัวของหน่วยงานต่อการรับมือการระบาดของโรคไข้เลือดออกแต่อย่างใด โดยมัชชู และคณะ (Madhu, et al., 2010) นำเสนอแนวคิดในการนำเทคนิคคลังข้อมูลและเหมืองข้อมูลเข้ามาช่วยในการสร้างระบบสนับสนุนการตัดสินใจสำหรับแพทย์เพื่อจำแนกคนไข้ที่ป่วยเป็นไข้เลือดออก ออกจากผู้ป่วยคนอื่นๆ ได้ แต่ข้อจำกัดของระบบนี้คือไม่สามารถใช้ในการพยากรณ์การระบาดของไข้เลือดออกในอนาคตได้และไม่อนุญาตให้นายแพทย์สามารถดูข้อมูลแนวโน้มการระบาดของไข้เลือดออกหรือรายงานต่างๆ ได้ เช่น การสรุปผลผู้ป่วยไข้เลือดออกในไตรมาสแรก เป็นต้น

ส่วนระบบภูมิสารสนเทศ (GIS) เพื่อช่วยบริหารจัดการโรคไข้เลือดออก เช่น การระบุพิกัดพื้นที่เกิดการแพร่ระบาดของโรคไข้เลือดออกหรือพื้นที่เฝ้าระวังการระบาดของโรคโดยพิเชษฐ์ กับปตัญญา (2549) ได้พัฒนาระบบสารสนเทศภูมิศาสตร์สำหรับระบาดวิทยา โดยได้นำคอมพิวเตอร์มาช่วยในการพัฒนาระบบที่ใช้ในการเก็บรวบรวม เรียนรู้ และวิเคราะห์ข้อมูลทางด้านการเฝ้าระวัง โดยใช้ข้อมูลจำนวนผู้ป่วยโรคไข้เลือดออกและปักหมุดพื้นที่การระบาดโดยใช้โปรแกรม ArcViews ช่วยจัดการข้อมูลสารสนเทศทางภูมิศาสตร์ และใช้โปรแกรม Access ในการจัดการฐานข้อมูล แต่การพัฒนาระบบดังกล่าวยังไม่เป็นระบบออนไลน์ ส่วนชวัชชัย สุขส้าย (2551) ได้พัฒนาระบบสารสนเทศภูมิศาสตร์ระบาดวิทยา เช่นเดียวกัน แต่ทั้งนี้ได้จัดทำในลักษณะที่สามารถออนไลน์ผ่านอินเทอร์เน็ตได้ หรือในรูปแบบ Internet GIS ซึ่งจะเห็นได้ว่าจากเอกสารงานวิจัยที่เกี่ยวข้องดังกล่าวไม่ได้นำข้อมูลที่มีอยู่มาจัดทำเหมือนข้อมูล (Data Mining) มาใช้ทำนายหรือพยากรณ์แนวโน้มต่างๆ ซึ่งผู้ศึกษามีแนวคิดในการนำข้อมูลดังกล่าวนำมายิเคราะห์เพื่อเป็นประโยชน์ต่อการพยากรณ์หรือแนวโน้มของกลุ่มเสี่ยงได้อย่างมีประสิทธิภาพมากขึ้น

ซึ่งจากการวิจัยของนักวิจัยหลายๆ ท่าน ผู้วิจัยได้เปรียบการใช้เทคนิคต่างๆ ใน การพยากรณ์ของโรคไข้เลือดออก ดังตาราง 3

ตาราง 3 แสดงการเปรียบเทียบเทคนิคที่ใช้ในการพยากรณ์การระบาดของไข้เลือดออก

| งานวิจัย                | เทคนิคที่ใช้ในการพยากรณ์<br>โรคไข้เลือดออกจากการทบทวนวรรณกรรม |
|-------------------------|---|
| เօນนา แอด บัคชาต และคณะ | Fuzzy logic   |
| พอต แล็คณะ              | Decision Trees  |
| มัสสู แล็คณะ            | Data Warehouse  |
| พร้อมเพรียว และคณะ      | ARIMA   |
| คุณสุกี้ และคณะ         | Time series   |
| นภา วชตະ และคณะ         | Neural Network  |
| อิบราฮิม และคณะ         | Neural Network  |
| นายเรียม การ์บี และคณะ  | Time series   |
| อาภัล อาร์เนส           | K-H model   |
| ชาลีม พาทิมา และคณะ     | SVM และ Naives Bayes  |
| นาฏมูล ควรรัตน์ และคณะ  | Multiple regression analysis                                  |

โดยจากการวิจัยทบทวนวรรณกรรม ผู้วิจัยสามารถถอดจำแนกปัจจัยที่ใช้ในการพยากรณ์การระบาดของโรคไข้เลือดออก ดังนี้

1. ปัจจัยด้านลักษณะทางประชากร คือ ปริมาณน้ำในร่างกาย
2. ปัจจัยด้านลักษณะของสภาพแวดล้อม คือ อุณหภูมิ, ปริมาณน้ำฝน, จำนวนผู้ป่วยโรคไข้เลือดออก, จำนวนผู้ป่วยไข้แดงกี่, ลักษณะภูมิศาสตร์, อัตราแรงลม, ความสูงจากระดับน้ำทะเล, และปริมาณน้ำ

โดยผู้วิจัยได้เปรียบเทียบปัจจัยที่ใช้ในการพยากรณ์การระบาดของโรคไข้เลือดออก ระหว่างงานวิจัยของนักวิจัยหลายๆ ท่านกับข้อมูลที่ผู้วิจัยใช้ในการพยากรณ์ ดังตาราง 4

**ตาราง 4 แสดงการเปรียบเทียบปัจจัยที่ใช้ในการพยากรณ์โรคไข้เลือดออกระหว่าง  
งานวิจัยอื่นๆ และงานวิจัยที่นำเสนอ**

| ปัจจัยที่ใช้ในการพยากรณ์โรคไข้เลือดออก | ปัจจัยที่ใช้สำหรับงานวิจัยที่นำเสนอ                    |
|--|--|
| <b>จากการทบทวนวรรณกรรม</b>             |  |
| 1. อุณหภูมิ                            | 1. อุณหภูมิ  |
| 2. จำนวนประชากร                        | 2. จำนวนประชากร  |
| 3. อัตราแengลง                         | 3. ปริมาณน้ำฝน   |
| 4. ปริมาณน้ำในร่างกาย                  | 4. ความชื้นสัมพัทธ์                                    |
| 5. ปริมาณน้ำฝน                         | 5. จำนวนผู้ป่วยโรคไข้เลือดออก                          |
| 6. ความชื้นสัมพัทธ์                    | 6. อัตราแengลง   |
| 7. จำนวนผู้ป่วยโรคไข้เลือดออก          | 8. อัตราการติดเชื้อของลูกน้ำยุงลาย (LAB)               |
| 8. ลักษณะภูมิประเทศ                    | 9. อัตราการติดเชื้อของยุงลายตัวเมีย                    |
|  | 10. อัตราการติดเชื้อของยุงลายตัวผู้                    |
|  | 11. อัตราการติดเชื้อ (Dengue Type) ชนิดต่างๆ ในผู้ป่วย |
|  | 12. ช่วงอายุ   |

จากการทบทวนวรรณกรรมผลงานวิจัยของนักวิจัยหลายๆ ท่านที่ได้ทำการวิจัยค้นคว้าพบว่ามีการเปรียบเทียบปัจจัยที่ใช้ในการพยากรณ์โดยใช้จำนวนผู้ป่วยเป็นตัวแปรต่างที่ใช้ในการพยากรณ์การระบาดของโรคไข้เลือดออกนั้น นักวิจัยส่วนใหญ่ใช้ปัจจัยเพียงไม่กี่ปัจจัยในการพยากรณ์ อาทิ เช่น อุณหภูมิกับปริมาณฝน หรือ จำนวนประชากรกับฤดูกาล

นอกจากนี้ผู้วิจัยได้ทำการเปรียบเทียบระบบการพยากรณ์การระบาดของไข้เลือดออก และการให้บริการและแลกเปลี่ยนข้อมูลระหว่างงานวิจัยของนักวิจัยหลายๆ ท่านกับระบบที่ผู้วิจัยนำเสนอ ดังตาราง 5

**ตาราง 5 แสดงการเปรียบเทียบงานวิจัยเกี่ยวกับระบบการพยากรณ์การระบาดของไข้เลือดออกและการให้บริการและแลกเปลี่ยนข้อมูล (Web Service)**

| ชื่อผู้วิจัย           | เปรียบเทียบระบบการพยากรณ์การระบาดของไข้เลือดออกและการให้บริการและแลกเปลี่ยนข้อมูล (Web Service) |  |   |
|------------------------|---|--|---|
|                        | พยากรณ์การระบาดในอนาคต  | การรายงานการระบาดไปยังแต่ละพื้นที่และผู้เกี่ยวข้อง | การให้บริการและแลกเปลี่ยนข้อมูล (Web Service) |
| Peterson et al.(2005)  | ✓   | ✗  | ✗   |
| Promprouet al.(2006)   | ✓   | ✗  | ✗   |
| Husin et al.(2006)     | ✓   | ✗  | ✗   |
| Choudhury et al.(2008) | ✓   | ✗  | ✗   |
| Wu et al. (2009)       | ✓   | ✗  | ✗   |
| Aburas et al.(2010)    | ✓   | ✗  | ✗   |
| Potts et al. (2010)    | ✗   | ✗  | ✗   |
| Madhu et al. (2010)    | ✗   | ✗  | ✗   |
| Gerardi et al. (2011)  | ✓   | ✗  | ✗   |
| เสาวนิต ศุภารัตน์      | ✗   | ✗  | ✗   |
| สรวงศuda คงมั่ง        | ✓   | ✗  | ✗   |
| สำนักงานระบาดวิทยา     | ✓   | ✗  | ✗   |
| วิธีการที่นำเสนอ       | ✓   | ✓  | ✓   |

จากการทบทวนวรรณกรรมผู้วิจัยสามารถสรุปปัจจัยการพยากรณ์, เทคนิคการพยากรณ์, ระบบการพยากรณ์การระบาดของไข้เลือดออก และการให้บริการแลกเปลี่ยนข้อมูล (Web Service) ได้ดังนี้

- ระบบที่นักวิจัยหลายๆ ท่านได้ทำการวิจัยยังใช้ปัจจัยเดิมๆ ใน การพยากรณ์ ยังไม่มีปัจจัยใหม่ที่จะเพิ่มประสิทธิภาพของการพยากรณ์ให้มีความถูกต้องแม่นยำที่สูง
- ระบบที่นักวิจัยหลายๆ ท่านได้ทำการวิจัยมีข้อจำกัดในส่วนของการให้ข้อมูลเพื่อช่วยในการสนับสนุนการตัดสินใจ เช่น การส่งรายงานการระบาดไปยังพื้นที่ที่คาดว่าจะเกิดการระบาดของโรคไข้เลือดออก เพื่อให้แต่ละพื้นที่ได้ใช้ข้อมูลในการบริหารจัดการด้านต่างๆ ได้ครบถ้วนและทันต่อเวลา

3. ระบบที่นักวิจัยหลายท่านได้ทำการวิจัยมีข้อจำกัดในส่วนของการไม่สามารถให้ผู้ใช้เลือกดูข้อมูลในส่วนของผู้ใช้งานใจและไม่สามารถสรุปรายงานออกเป็นข้อๆ ตามที่ผู้ใช้งานต้องการได้

4. ระบบที่นักวิจัยหลายท่านได้ทำการวิจัยมีข้อจำกัดในด้านของการไม่มีการให้บริการและแลกเปลี่ยนข้อมูล (Web Service)

## 2. ระบบสารสนเทศกับโรคระบาด

มีหลายหน่วยงานและนักวิจัยหลายท่านได้พัฒนาระบบสารสนเทศเพื่อช่วยสนับสนุนการตัดสินใจบริหารจัดการกับโรคระบาด

ในประเทศไทย เช่น สำนักงานกองทุนสนับสนุนการสร้างเสริมสุขภาพ (สสส.) ได้พัฒนาเว็บสารสนเทศสุขภาพไทยเพื่อช่วยในการสนับสนุนการตัดสินใจของผู้บริหารและผู้ปฏิบัติงาน โดยระบบมีข้อดีคือสามารถทำงานแบบออนไลน์ (HISO) แต่ระบบมีข้อมูลที่ยังไม่เป็นปัจจุบันและไม่เฉพาะเจาะจงเฉพาะสำหรับโรคไข้เลือดออก ส่วนสำนักงาน疾控中心 กรมควบคุมโรค กระทรวงสาธารณสุข ได้พัฒนาระบบเฝ้าระวังโรคติดต่อ R506 (รง506) ซึ่งเป็นระบบที่ช่วยสนับสนุนข้อมูลในการตัดสินใจ โดยใช้เป็นแบบในการกรอกข้อมูลและรายงานข้อมูลการระบาดของโรคไข้เลือดออก ซึ่งใช้ฐานข้อมูล Access ข้อดีของระบบคือเป็นระบบที่พัฒนาขึ้นมาแบบเฉพาะเจาะจงสำหรับโรคระบาด แต่ข้อเสียคือเป็นระบบปิด ทางด้านศูนย์เทคโนโลยีสารสนเทศและการสื่อสาร สำนักงานปลัดกระทรวงสาธารณสุข ปลัดกระทรวงสาธารณสุข ได้พัฒนาระบบ HDC ซึ่งเป็นระบบที่สนับสนุนการตัดสินใจของผู้ใช้งานทุกระดับในกระทรวงสาธารณสุข โดยดึงข้อมูลมา จาก 43 แฟ้มหลัก ซึ่งระบบมีข้อดีคือสามารถทำงานได้บนทุกอุปกรณ์ (responsive web) แต่ระบบยังมีข้อเสียที่ระบบยังเป็นภาษาธรรมไม่เฉพาะเจาะจงและไม่สามารถพยากรณ์แนวโน้มการระบาดของโรคได้ ทางด้านศูนย์เทคโนโลยีอิเล็กทรอนิกส์และคอมพิวเตอร์แห่งชาติ (NECTEC) ได้พัฒนาโปรแกรมบันทึกข้อมูลสุขภาพครอบครัว (Family Folder Collector: FFC) ซึ่งเป็นโปรแกรมที่ทำงานบนระบบปฏิบัติการแอนดรอยด์ (Android) บนแท็บเล็ต โดยโปรแกรมถูกออกแบบให้ใช้งานร่วมกับฐานข้อมูล โปรแกรมระบบงานโรงพยาบาลส่งเสริมสุขภาพตำบล และศูนย์สุขภาพชุมชน JHCIS เพื่ออำนวยความสะดวกให้เจ้าหน้าที่สาธารณสุขที่ รพ.สต.นำไปใช้เยี่ยมบ้าน คัดกรองโรค สำรวจพิกัดบ้าน สถานที่สำคัญ ในชุมชน ลดปัญหาการกรอกข้อมูลซ้ำซ้อน และส่งเสริมการทำงานเชิงรุกให้มีประสิทธิภาพมากยิ่งขึ้น โดยมีคุณสมบัติที่โดดเด่นในการจัดเก็บข้อมูลสุขภาพ ซึ่งระบบนี้ มีข้อเด่นคือสามารถบันทึกบ้านที่มีผู้ป่วยโรคระบาดเพื่อช่วยสนับสนุนในการตัดสินใจและเฝ้าระวังการระบาดของโรค แต่ระบบนี้ไม่สามารถทำงานได้ทุกระบบปฏิบัติการหรือทุกอุปกรณ์ ต่อมา เอกรัตน์ บุญเชียง และคณะ (Boonchieng, et al., 2014) ได้พัฒนาระบบ mHealth ในการเก็บ

รวบรวมข้อมูลเกี่ยวกับสุขภาพของประชาชนด้วยระบบสารสนเทศภูมิศาสตร์โดยใช้ระบบคลาวด์ กรณีศึกษาอำเภอสารภีจังหวัดเชียงใหม่ ข้อดีของระบบที่ช่วยการสนับสนุนการตัดสินใจคือสามารถรู้พิกัดหรือพื้นที่แหล่งเพาะพันธุ์สูกัน้ำยุ่งลาย แต่ระบบค่อนข้างมีปัญหาและยังไม่สมบูรณ์อีกทั้งระบบยังไม่เฉพาะเจาะจงเกี่ยวกับโรคระบาด

ในด้านประเทศไทยนักวิจัยหลายท่านที่ได้พัฒนาระบบสารสนเทศเพื่อช่วยสนับสนุนในการจัดการกับการระบาดของโรค อาทิ เช่น อัลชาฟ และคณะ (Afzal, et al., 2011) ได้พัฒนาระบบสารสนเทศการสนับสนุนสำหรับการสร้างแบบจำลองการแพร่ระบาดของโรคและการประเมินผล การตอบสนองของการแพร่ระบาดของโรคเชิงพื้นที่ซึ่งใช้พื้นที่รัฐทึบชัต ประเทศไทยสหรัฐอเมริกา เป็นระบบที่พัฒนาขึ้นมาเพื่อสร้างแบบจำลองพื้นที่ในการแพร่ระบาดของโรคเช่นพื้นที่เสี่ยงต่อการระบาดเป็นสีแดง พื้นที่เฝ้าระวังเป็นสีเขียว ซึ่งระบบที่พัฒนาขึ้นมานี้เพื่อให้เจ้าหน้าที่ด้านสาธารณสุขใช้เป็นข้อมูลในการเฝ้าระวังระบาดของโรค ซึ่งระบบนี้เป็นระบบที่ใช้งานแบบเครื่องเดียว ต่อมามีเชียงยุน และคณะ (Shuangyun, et al., 2013) ได้พัฒนาระบบช่วยสนับการตัดสินใจในการจัดการผู้ป่วยโรคเอดส์ในเมืองคุณหมิง ประเทศจีน โดยสร้างระบบขึ้นมาเพื่อใช้เป็นข้อมูลในการช่วยเหลือและกำกับดูแลผู้ป่วยเอดส์และเพื่อเฝ้าระวังและป้องกันการแพร่กระจายของโรคโดยปักพิกัดที่พักผู้ป่วยที่แสดงตน ซึ่งระบบมีเป็นที่ยอมรับและใช้ประโยชน์ในการดูแลและส่งต่อผู้ป่วยเอดส์เวลาต้องดูแลด่วน หลังจากนั้นแฟลเกอร์ และคณะ (Tazkia, et al., 2015) ได้พัฒนาระบบช่วยสนับสนุนการตัดสินใจเกี่ยวกับการระบาดของโรคไข้เลือดออก ทำนายโดยใช้ระบบแจ้งเตือนการระบาดของโรคผ่านระบบภูมิศาสตร์สารสนเทศโดยใช้พื้นที่กรุงจาการتا ประเทศไทยในเดือนธันวาคม ผลการพัฒนาคือระบบที่พัฒนาขึ้นไม่มีรับความร่วมมือจากหลาย ๆ ภาคส่วนและข้อมูลที่นำเข้าระบบไม่มีความถูกต้องเท่าที่ควร จึงทำให้ระบบไม่ได้ช่วยสนับสนุนการตัดสินใจได้เท่าที่ควรคือไม่สามารถพยากรณ์พื้นที่การระบาดได้ถูกต้อง ต่อมากอน查เลส และคณะ (Gonzalez, et al., 2015) ได้พัฒนาระบบสนับสนุนการพยากรณ์โรค ใช้เลือดออกด้วยระบบสารสนเทศภูมิศาสตร์ โดยใช้พื้นที่ประเทศไทยเป็นระบบที่ช่วยสนับสนุนการตัดสินใจเชิงพื้นที่ในระดับการระบาดของโรค ใช้เลือดออกสำหรับเจ้าหน้าที่สาธารณสุขโดยทำงานได้เฉพาะระบบปฏิบัติการวินโดว์เท่านั้น

จากการศึกษาเอกสารและงานวิจัยที่เกี่ยวข้อง ผู้วิจัยได้พบว่ายังไม่มีงานวิจัยของนักวิจัยท่านใดใช้ปัจจัยใหม่ในการสร้างโมเดลการพยากรณ์ ซึ่งการวิจัยนี้ผู้วิจัยจะใช้ปัจจัยใหม่ในการพยากรณ์และศึกษาปัจจัยที่เกี่ยวข้องเพื่อเพิ่มประสิทธิภาพการพยากรณ์ พร้อมทั้งพัฒนาให้ระบบสามารถทำงานได้บนทุกระบบปฏิบัติการหรือทุกอุปกรณ์

## สรุปเนื้อหาประจำบท

จากการศึกษาเอกสารและงานวิจัยที่เกี่ยวข้องของการวิจัยเรื่อง การใช้วิธีทางระบบธุรกิจอัจฉริยะ สำหรับการบังคับและควบคุมโรคได้เลือดออก นั้น ผู้วิจัยได้พบว่ายังไม่มีงานวิจัยของนักวิจัยท่านใดใช้ปัจจัยใหม่ในการสร้างโมเดลการพยากรณ์ ซึ่งการวิจัยในครั้งนี้ผู้วิจัยจะใช้ปัจจัยใหม่ในการพยากรณ์และศึกษาปัจจัยที่เกี่ยวข้องเพื่อเพิ่มประสิทธิภาพการพยากรณ์ ด้วยเทคโนโลยีของชั้นมูลแบบโครงข่ายประสาทเทียม พร้อมทั้งออกแบบฐานข้อมูลแบบคลังข้อมูลและพัฒนาให้ระบบสามารถทำงานได้บนทุกระบบปฏิบัติการหรือทุกอุปกรณ์ด้วยวิธีทางระบบธุรกิจอัจฉริยะ



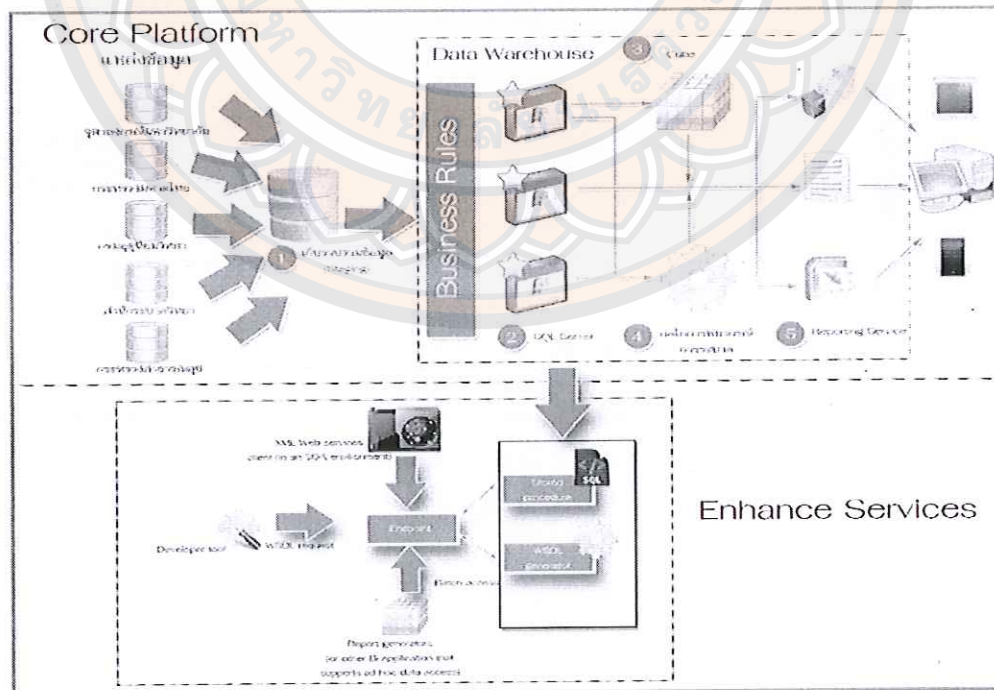
## บทที่ 3

### วิธีดำเนินการวิจัย

ในการทำวิจัยครั้งนี้ผู้ทำการวิจัยได้ศึกษาแนวคิด ทฤษฎี หลักการ ตลอดจนเอกสารและงานวิจัยที่เกี่ยวข้องตามที่ได้กล่าวไว้ในบทที่ 2 เพื่อเป็นพื้นฐานความรู้สำหรับการทำวิจัยและในบทนี้ผู้วิจัยได้นำความรู้ที่ได้มาวิเคราะห์เพื่อการวิจัยเรื่อง การศึกษาปัจจัยในการสร้างแบบจำลองเพื่อการพยากรณ์ภาระบาดโรคให้เลือดออก โดยผู้วิจัยได้กำหนดวิธีการดำเนินการวิจัย ซึ่งประกอบด้วยเนื้อหา ดังนี้

1. กรอบแนวคิดที่ใช้ในการวิจัย
  2. การวิเคราะห์และการออกแบบระบบระบบ
  3. ขั้นตอนการดำเนินงานวิจัย
- โดยมีรายละเอียดในส่วนต่างๆ ดังต่อไปนี้

#### กรอบแนวคิดที่ใช้ในการวิจัย



ภาพ 8 กรอบแนวคิดของการวิจัย

จากภาพ 8 กรอบแนวคิดของการวิจัยการศึกษาปัจจัยในการสร้างแบบจำลองเพื่อการพยากรณ์การระบบโครงข่ายเดือนต่อเดือนของผู้วิจัยได้กำหนดกรอบแนวคิดของการวิจัย ประกอบด้วย 2 ส่วนที่สำคัญคือ

### 1. ส่วนแกนหลัก (Core Platform)

ส่วนแกนหลัก คือ ส่วนที่เก็บคลังข้อมูล (Data Warehouse) และพยากรณ์ (Forecast) ของกรอบแนวคิดในการวิจัย ดังภาพ 8 ซึ่งประกอบด้วย 5 ส่วนดังนี้

1.1 หมายเลข 1 รวมรวมข้อมูล (Staging)

1.2 หมายเลข 2 SQL Server

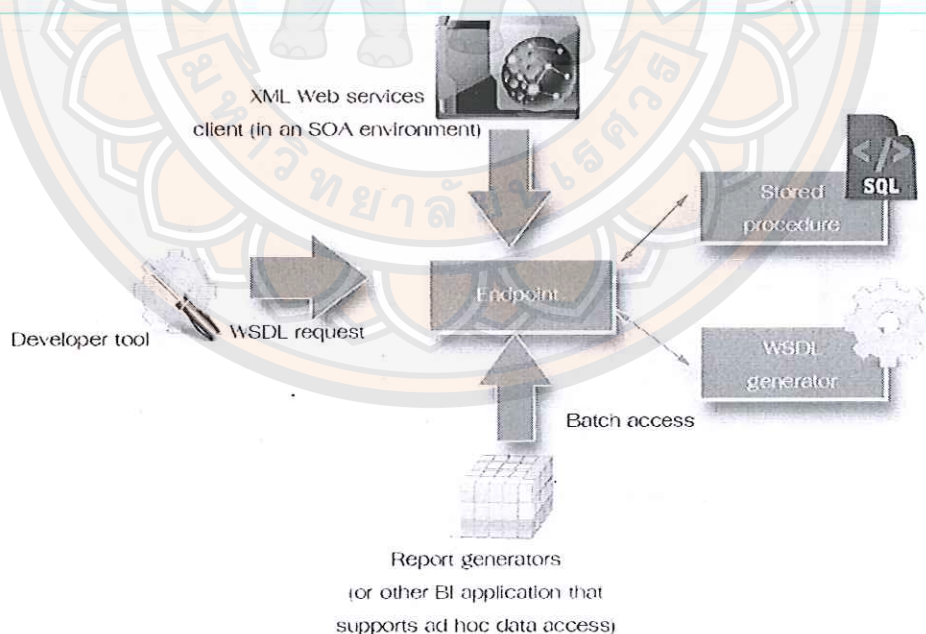
1.3 หมายเลข 3 Cube

1.4 หมายเลข 4 กลไกการพยากรณ์การระบบ

1.5 หมายเลข 5 รายงาน (Reporting Service)

### 2. ส่วนเสริม (Enhance Services)

ส่วนเสริม คือ ส่วนที่ให้บริการและແກเปลี่ยนข้อมูลกันระหว่างเครื่องคอมพิวเตอร์ผ่านระบบเครือข่าย (Web Service) ดังภาพ 9



ภาพ 9 แสดงส่วนเสริม (Enhance Services)

ที่มา: Microsoft SQL Server, 2008

จากภาพ 9 แสดงส่วนเซริม (Enhance Services) โดยเมื่อเครื่องลูกข่ายต้องการใช้บริการข้อมูลและได้ดำเนินการร้องขอข้อมูลมาในรูปแบบของคำสั่ง XML ใน SQL Server เมื่อ HTTP endpoint ส่งคำสั่งการร้องขอขึ้นที่เซิร์ฟเวอร์ปลายทาง โดย HTTP-based มีหน้าที่ตรวจสอบคำสั่งของการร้องขอ หลังจากนั้น HTTP endpoint จะสร้างวิธีการจัดเก็บหรือพิงก์ชั่นที่ Server กำหนด โดยสามารถเพิ่มหรือให้บริการแก่คำสั่งที่ร้องขอ โดยคำสั่งนี้สามารถเกิดขึ้นได้เมื่อ HTTP endpoint ทั้งสร้างหรือปรับปรุง ชิ้นตอนการทำงานและพิงก์ชั่นต่างๆ ได้ถูกออกแบบมาในรูปแบบการให้บริการและແລກเปลี่ยนข้อมูล โดยที่ถูกออกแบบมาให้ใช้งานร่วมกันซึ่งสามารถเรียกใช้บริการข้อมูลผ่านเว็บ โดย Web Service สามารถอธิบายได้โดยใช้รูปแบบ WSDL รูปแบบ WSDL ถูกสร้างขึ้นโดย SQL Server และส่งกลับไปยังลูกข่าย SOAP เพื่อ endpoints HTTP ได้ฯ ที่ WSDL มีการใช้งานตามที่แสดงในภาพ 9 ถ้าต้องการเปลี่ยนแปลงรูปแบบ WSDL สามารถแก้ไขคำสั่งได้ด้วยตัวเอง โดยส่งคำสั่งไปที่ SQL Server เลือก HTTP endpoint ที่ต้องการ หลังจากนั้น WSD ก็จะกำหนดค่าให้ได้คำตอบตามที่ได้ร้องขอ

จากการอบรมแนวคิดของการวิจัย ผู้วิจัยได้แบ่งกรอบแนวคิดออกเป็น 2 ส่วน ชื่อผู้วิจัยได้นำกรอบแนวคิดมาประยุกต์เข้ากับทฤษฎีและชั้นตอนการทำเหมืองข้อมูล (CRISP-DM) มาใช้ในการดำเนินการวิจัยควบคู่กับวิธีทางระบบธุรกิจข้อมูลเชิงลึก (Business Intelligence)

### การวิเคราะห์และการออกแบบระบบ

#### 1. เครื่องมือที่ใช้ในการวิเคราะห์ระบบและการออกแบบระบบ

การวิจัยปัจจัยในการสร้างแบบจำลองเพื่อการพยากรณ์การระบาดโรคใช้เลือดออกผู้วิจัยได้นำหลักการการวิเคราะห์และออกแบบระบบสารสนเทศในยุคปัจจุบัน (System Analysis & Design in the Modern) (ไกรศักดิ์ เกษร, 2556) มาใช้เพื่อกำหนดชั้นตอนการวิเคราะห์และออกแบบระบบการวิจัยปัจจัยในการสร้างแบบจำลองเพื่อการพยากรณ์การระบาดโรคใช้เลือดออกเพื่อให้ง่ายต่อการดำเนินการวิจัยและตรวจสอบกลับของข้อมูล

#### 2. ผู้ที่เกี่ยวข้องกับระบบ

2.1 ผู้ดูแลระบบระบบสามารถจัดการผู้ใช้ระบบโดยกำหนดและเปลี่ยนแปลงสิทธิ์การใช้งานได้รวมทั้งการบริหารจัดการผู้ใช้งาน (User) ได้ทั้งหมด

2.2 ผู้บริหารสามารถดูผลรายงานได้ทั้งหมดโดยภาพรวมหรือแยกรายจังหวัด หรือรายอำเภอ เกี่ยวกับการเฝ้าระวังหรือป้องกันการระบาดของโรคใช้เลือดออก และการพยากรณ์การระบาดของโรคใช้เลือดออก

2.3 ผู้ปฏิบัติงานในชุมชนได้แก่ผู้ปฏิบัติงานด้านสาธารณสุขเกี่ยวกับการเฝ้าระวังหรือป้องกันการระบาดของโรคไข้เลือดออก และการพยากรณ์การระบาดของโรคไข้เลือดออก รวมทั้งการเพิ่มข้อมูลของพื้นที่ที่รับผิดชอบ

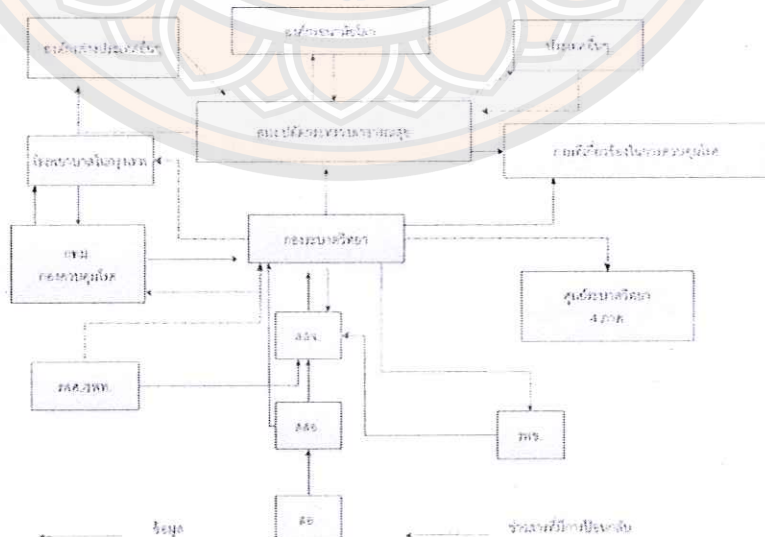
2.4 ผู้ใช้งานทั่วไปหมายถึงประชาชนทั่วไปที่สนใจข้อมูลด้านการระบาดของโรคไวรัสโคโรนา

### 3. ผลการศึกษาระบบงานปัจจุบัน

กระทรวงสาธารณสุข เป็นหน่วยงานของรัฐที่กำกับดูแลด้านการจัดสรรงบประมาณ เพื่อบริหารจัดการโรคไข้เลือดออกไปยังทุกภาคส่วนของกระทรวงสาธารณสุข ควบคุมการระบาด ของโรคไข้เลือดออก และรักษาผู้ป่วยที่ติดเชื้อโรคไข้เลือดออก โดยกระทรวงสาธารณสุข ประสบ ปัญหาไม่สามารถประมวลผลข้อมูลเพื่อใช้เป็นข้อมูลช่วยสนับสนุนการตัดสิน ดังนี้

- 3.1 ข้อมูลการระบาดวิทยาไม่เป็นปัจจุบัน (Real time)
  - 3.2 การทำงานของเดลต้าหน่วยงานในกระทรวงสาธารณสุขมีความไม่ต่อเนื่อง
  - 3.3 รายงานที่ได้เป็นรูปแบบของ File PDF ไม่สามารถแสดงแบบออนไลน์ (Online) ได้
  - 3.4 ไม่สามารถพยารณ์การระบาดของโรคไปเลือดออกได้
  - 3.5 ไม่สามารถทราบปัจจัยที่เกี่ยวข้องกับการระบาดของโรคไปเลือดออกได้

#### 4. ผลการศึกษาระบบงานเดิม



ภาพ 10 ขั้นตอนระบบการทำงานเดิม (รง506) ของกระทรวงสาธารณสุข

จากภาพ 10 มีขั้นตอนระบบการทำงานดังนี้ เมื่อเกิดการระบาดของโรคโควิดออกก็จะมีการรายงานการระบาดไปเป็นลำดับขั้นโดยจะเป็นการรายงานจากระดับปฏิบัติการไปสู่ระดับผู้บริหารไประดับชั้นชี้ไป และการจัดสรรงบประมาณก็จะเป็นการจัดสรรจากส่วนกลางมาสู่ส่วนพื้นที่ โดยจะต้องดำเนินการมี 2 ประเด็นดังนี้

1. ถ้าเกิดการระบาดของโรคโควิดออก ส่วนพื้นที่ก็จะรายงานการระบาดไปตามลำดับจนถึงส่วนกลาง และในการรักษาถ้าไม่มีบุคลากรและเวชภัณฑ์ในการรักษา ก็จะส่งผู้ป่วยต่อไปยังสถานบริการระดับที่สูงต่อไป โดยส่วนพื้นที่จะไม่มีการสำรองเวชภัณฑ์ เพราะไม่มีข้อมูลหรือการพยากรณ์ให้จัดเก็บเวชภัณฑ์ไว้เพื่อรักษาโรคโควิดออกที่อาจจะเกิดขึ้นในอนาคต หรือถ้าส่วนพื้นที่ห่างไกลจากสถานบริการระดับสูง ถ้าไม่มีเวชภัณฑ์ในการรักษา กว่าจะดำเนินการส่งต่อผู้ป่วยไปยังสถานบริการระดับสูง อาจจะทำให้ผู้ป่วยเสียชีวิตระหว่างการส่งต่อ

2. ถ้ามีการจัดสรรงบประมาณจากส่วนกลางมาสู่ส่วนพื้นที่จะเป็นการจัดสรรงบประมาณแบบรวมๆ แล้วมาให้ส่วนพื้นที่จัดสรรชื้อเวชภัณฑ์ตามโรคที่อุบัติขึ้นปอยๆ ให้ประชาชนส่วนมากที่ป่วยเป็นโรคนั้น โดยไม่มีการสำรองเวชภัณฑ์ไว้สำหรับรักษาโรคที่ไม่เกิดขึ้นเป็นประจำแต่มีอันตรายสูง

จากการศึกษาการทำงานในปัจจุบัน ผู้วิจัยได้เห็นว่าระบบงานไม่สามารถติดตามและปริหารจัดการกับข้อมูลได้ จึงต้องมีการวิจัยในครั้งนี้ เพื่อการศึกษาปัจจัยในการสร้างแบบจำลองเพื่อการพยากรณ์การระบาดโรคโควิดออกให้มีประสิทธิภาพ

## 5. ผลกระทบจากการศึกษาความต้องการของระบบงานใหม่

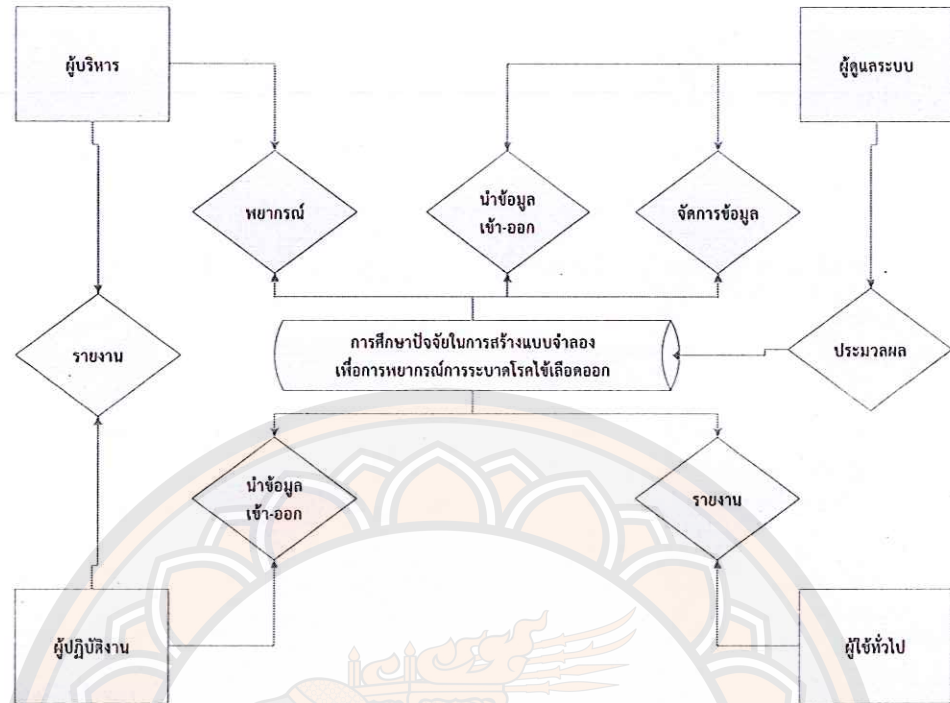
จากการศึกษาความต้องการของระบบงาน ผู้วิจัยได้สัมภาษณ์และสอบถามความต้องการของเจ้าพนักงานสาธารณสุข, พยาบาล, เภสัชกร, นายแพทย์, สาธารณสุขอำเภอ, นายแพทย์สาธารณสุขจังหวัด, ผู้อำนวยการสำนักงานหลักประกันสุขภาพและผู้ตรวจราชการ สาธารณสุข สรุปมีความต้องการของระบบดังต่อไปนี้

### 5.1 มีการจัดการผู้เข้าใช้งาน

### 5.2 การพยากรณ์ เช่น การบาดของโรค

### 5.3 สามารถนำข้อมูลเข้า-ส่งข้อมูลออก จากไฟล์ต่างๆ เช่น Excel, CSV, Text

5.4 รายงาน มีการนำเสนอรายงานที่มีความหลากหลายและเข้าใจง่าย และสามารถนำไปสนับสนุนในการตัดสินใจได้



ภาพ 11 แสดงความต้องการของระบบงานใหม่

จากภาพ 11 ความต้องการของระบบงานใหม่ เมื่อผู้ปฏิบัติงานในชุมชนตรวจพบผู้ป่วยโรคไข้เลือดออก ก็จะป้อนข้อมูลเข้าสู่ระบบ หลังจากนั้นระบบก็จะนำข้อมูลเข้ากระบวนการ การประมาณผล แล้วทำการพยากรณ์ (Forecasting), ออกรายงาน (Report) เพื่อให้ผู้บริหารใช้ประกอบการตัดสินใจจัดสรรงบประมาณไปยังแต่ละภาคส่วน เพื่อใช้สำหรับบริหารจัดการ ด้านต่างๆ เกี่ยวกับโรคไข้เลือดออก หลังจากนั้นผู้ปฏิบัติงานในชุมชนก็จะออกรายงานด้านต่างๆ เพื่อส่งต่อให้ผู้บริหารของกระทรวงสาธารณสุขแต่ละลำดับชั้นเพื่อเป็นข้อมูลในการจัดสรรงบประมาณลงมาให้พื้นที่เพื่อที่พื้นที่จะนำไปใช้ในการบริหารจัดการโรคไข้เลือดออก ด้านล่างนี้คือระบบงานที่มีความสำคัญต่อการดำเนินการของชุมชน ได้แก่ ระบบเฝ้าระวัง ระบบรายงาน ระบบติดตาม และระบบสนับสนุน

#### 6. ผลจากการวิเคราะห์ระบบงานใหม่

จากการศึกษาความต้องของระบบ เรื่อง การศึกษาปัจจัยในการสร้างแบบจำลองเพื่อการพยากรณ์การระบบดิจิทัล ผู้วิจัยได้เลือกวิเคราะห์และออกแบบแบบระบบตามแนวคิดใหม่ (Modern System Analysis and Design) ประกอบด้วย

## 6.1 กำหนดบริบท (Context Description) เป็นการกำหนดบริบท ประกอบด้วย ข้อมูล 3 ส่วน คือ

### 6.1.1 บุคคลที่เกี่ยวข้องกับระบบ (List of Boundary)

- 1) ผู้ดูแลระบบ
- 2) ผู้ปฏิบัติงาน
- 3) ผู้บริหาร
- 4) ผู้ใช้ทั่วไป

### 6.1.2 แฟ้มข้อมูล (List of Data)

- 1) ข้อมูลเพื่อการพยากรณ์
- 2) ข้อมูลผู้ป่วย
- 3) ข้อมูลผู้ใช้งานสิทธิ์การใช้งาน
- 4) ข้อมูลอุณหภูมิ
- 5) ข้อมูลปริมาณฝน
- 6) ข้อมูลสิทธิ์การรักษา
- 7) ข้อมูลฤดูกาล
- 8) ข้อมูลเวลา
- 9) ข้อมูลอัตราการแพะรึเชื้อ
- 10) ข้อมูลโรงพยาบาล
- 11) ข้อมูลบุคลากรทางสาธารณสุข
- 12) ข้อมูลเวชภัณฑ์
- 13) ข้อมูลอัตราแรงลม
- 14) ข้อมูลตำแหน่ง
- 15) ข้อมูลอำเภอ
- 16) ข้อมูลจังหวัด
- 17) ข้อมูลจำนวนประชากร
- 18) ข้อมูลงบประมาณ
- 19) ข้อมูลลูกน้ำยุงลาย
- 20) ข้อมูลภูมิภาค
- 21) ข้อมูลผู้ใช้งาน

22) ข้อมูลความซื่นสัมพันธ์

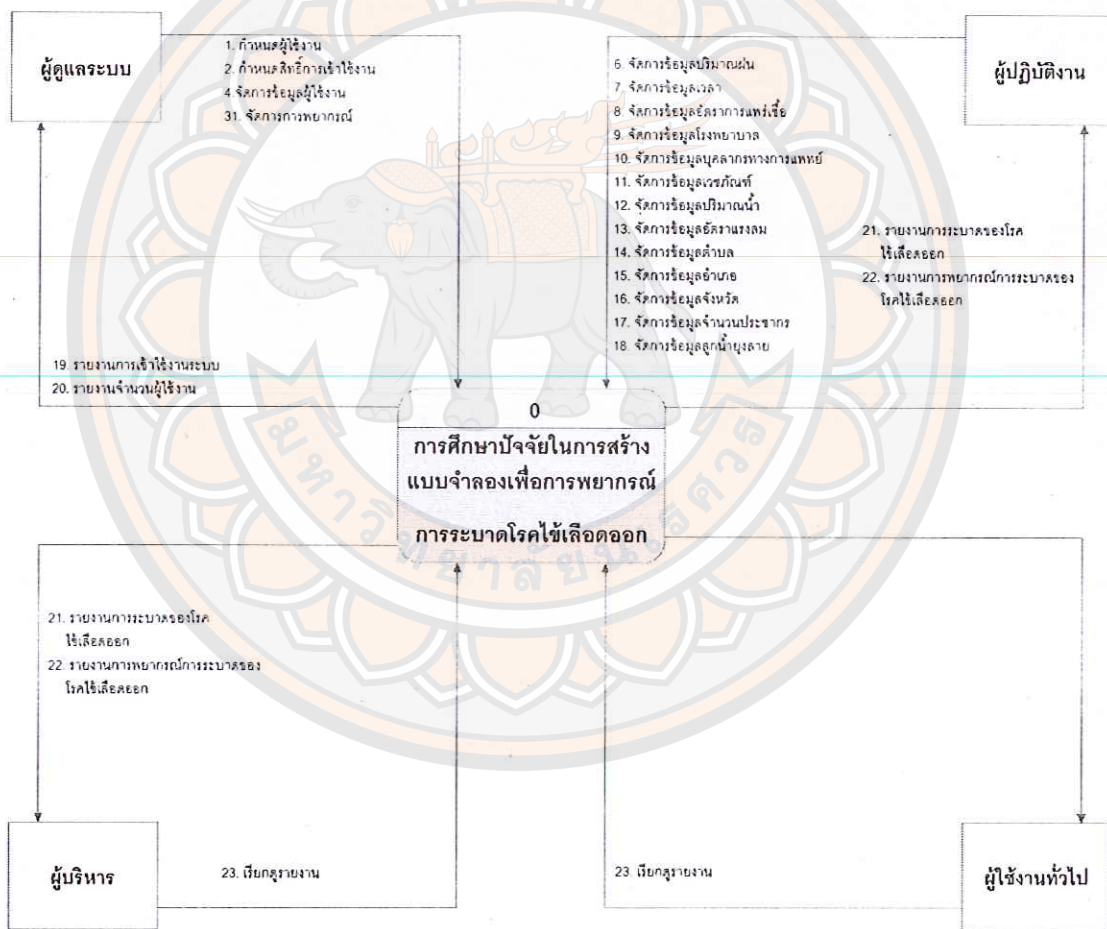
6.1.3 กิจกรรมที่ทำ (List of Process)

- 1) กำหนดผู้ใช้งาน
- 2) กำหนดสิทธิผู้ใช้งาน
- 3) รายงานผู้ใช้ระบบ
- 4) จัดการข้อมูลผู้ใช้งาน
- 5) รายงานจำนวนผู้ใช้งาน
- 6) จัดการข้อมูลผู้ป่วย
- 7) จัดการข้อมูลโรคไข้เลือดออก
- 8) จัดการข้อมูลอุณหภูมิ
- 9) จัดการข้อมูลบริษัทผน
- 10) จัดการข้อมูลสิทธิการรักษา
- 11) จัดการข้อมูลเวลา
- 12) จัดการข้อมูลอัตราการแพร์เซ็นต์
- 13) จัดการข้อมูลโรงพยาบาล
- 14) จัดการข้อมูลบุคลากรทางการแพทย์
- 15) จัดการข้อมูลเวชภัณฑ์
- 16) จัดการข้อมูลบริษัทผนนำ
- 17) จัดการข้อมูลอัตราเร่งด่วน
- 18) จัดการข้อมูลตำบล
- 19) จัดการข้อมูลอำเภอ
- 20) จัดการข้อมูลจังหวัด
- 21) จัดการข้อมูลจำนวนประชากร
- 22) เรียกดูรายงาน
- 23) จัดสรรงบประมาณ
- 24) อนุมติจัดสรรงบประมาณ
- 25) รายงานการจัดสรรงบประมาณ
- 26) รายงานการพยากรณ์การระบาดของโรคไข้เลือดออก

- 27) รายงานการพยากรณ์การจัดสรรงบประมาณ
- 28) รายงานการพยากรณ์การสำรองเงชภัณฑ์
- 29) รายงานการพยากรณ์จำนวนบุคลากรสาธารณสุขในการจัดการโรค
- 30) จัดการการพยากรณ์
- 31) จัดการข้อมูลลูกหนี้รายง่าย

## 6.2 แผนภาพโครงสร้างบริบท (Context Diagram)

แผนภาพโครงสร้างบริบท (Context Diagram) การศึกษาปัจจัยในการสร้างแบบจำลองเพื่อการพยากรณ์การระบาดโรคไข้เลือดออก ดังภาพ 12

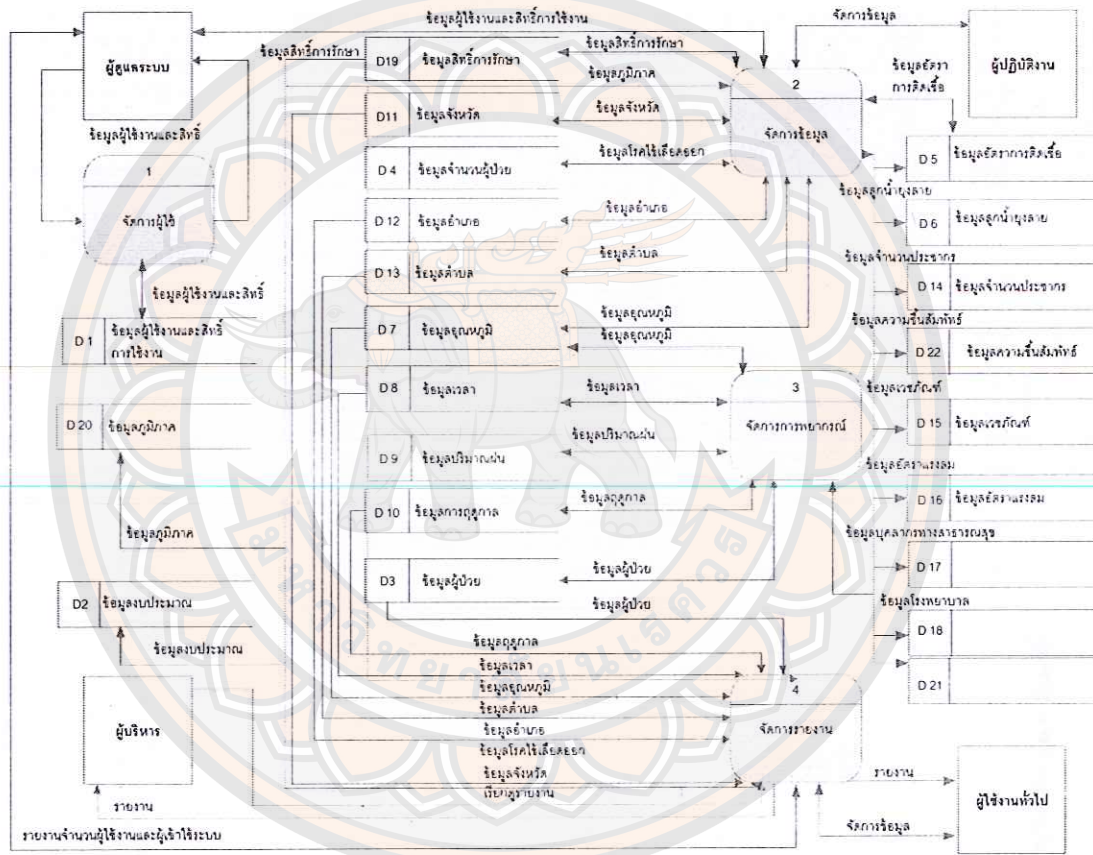


ภาพ 12 แสดงโครงสร้างบริบท (Context Diagram) การศึกษาปัจจัยในการสร้างแบบจำลองเพื่อการพยากรณ์การระบาดโรคไข้เลือดออก

จากภาพ 12 แสดงผังบิวท์ (Context Diagram) การศึกษาปัจจัยในการสร้างแบบจำลองเพื่อการพยากรณ์การระบาดโรคไข้เลือดออกซึ่งประกอบผู้ใช้งาน 4 กลุ่มคือ ผู้ดูแลระบบ, ผู้บริหาร, ผู้ปฏิบัติงาน และผู้ใช้งานทั่วไป

### 6.3 แผนภาพกระแสข้อมูล (Data flow Diagram)

Data Flow Diagram Level 0 คือ ภาพรวมผังแสดงการไหลของข้อมูลของระบบ การศึกษาปัจจัยในการสร้างแบบจำลองเพื่อการพยากรณ์การระบาดโรคไข้เลือดออก ดังภาพ 13

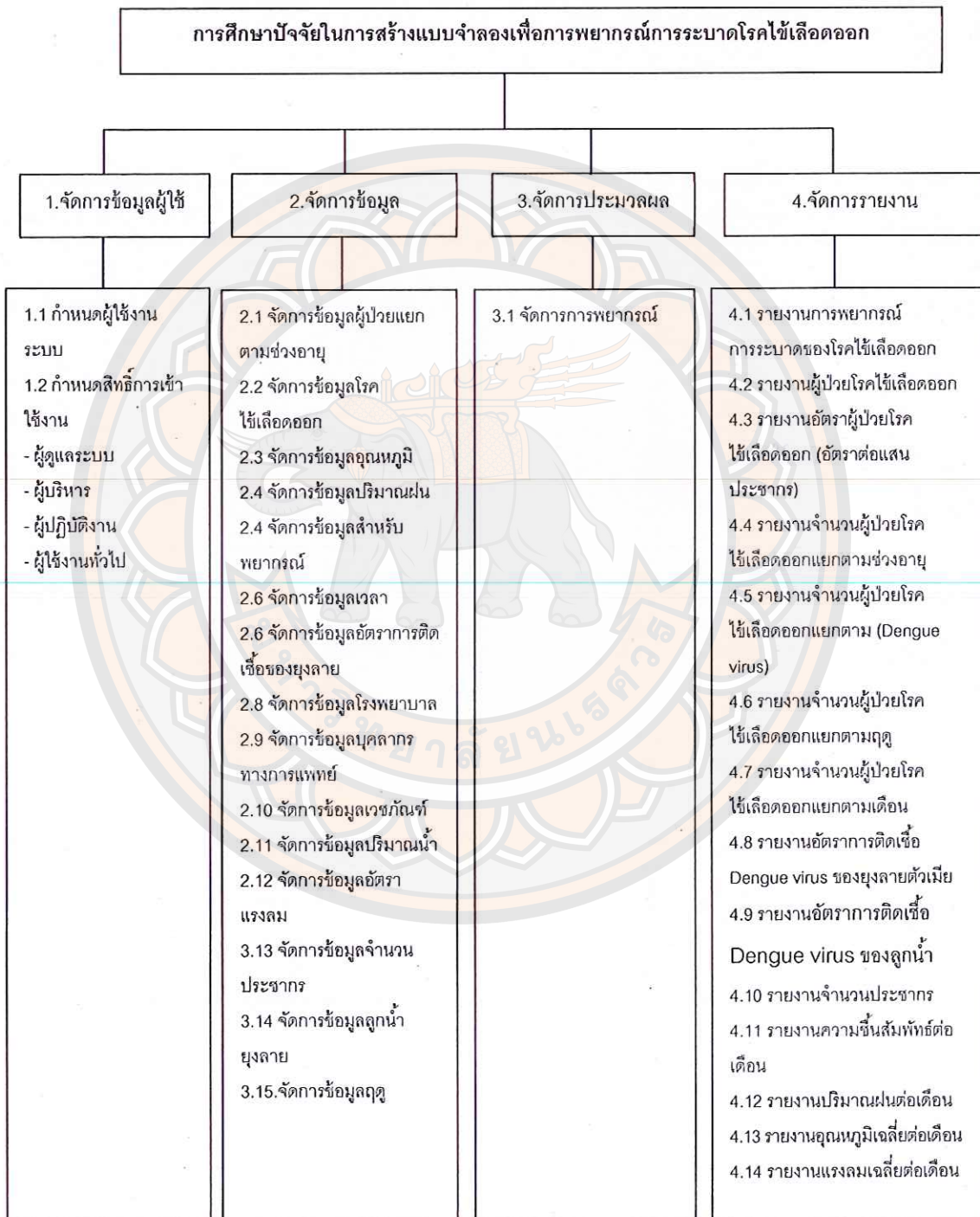


ภาพ 13 แผนภาพกระแสข้อมูล (DFD Level 1)

จากภาพ 13 แสดงแผนภาพกระแสข้อมูล (DFD Level 1) การศึกษาปัจจัยในการสร้างแบบจำลองเพื่อการพยากรณ์การระบาดโรคไข้เลือดออก

#### 6.4 แผนภาพลำดับชั้นการทำงาน (Process Hierarchy Chart)

แผนภาพลำดับชั้นการทำงานของการศึกษาปัจจัยในการสร้างแบบจำลองเพื่อการพยากรณ์การระบาดโรคไข้เลือดออก ดังภาพ 14

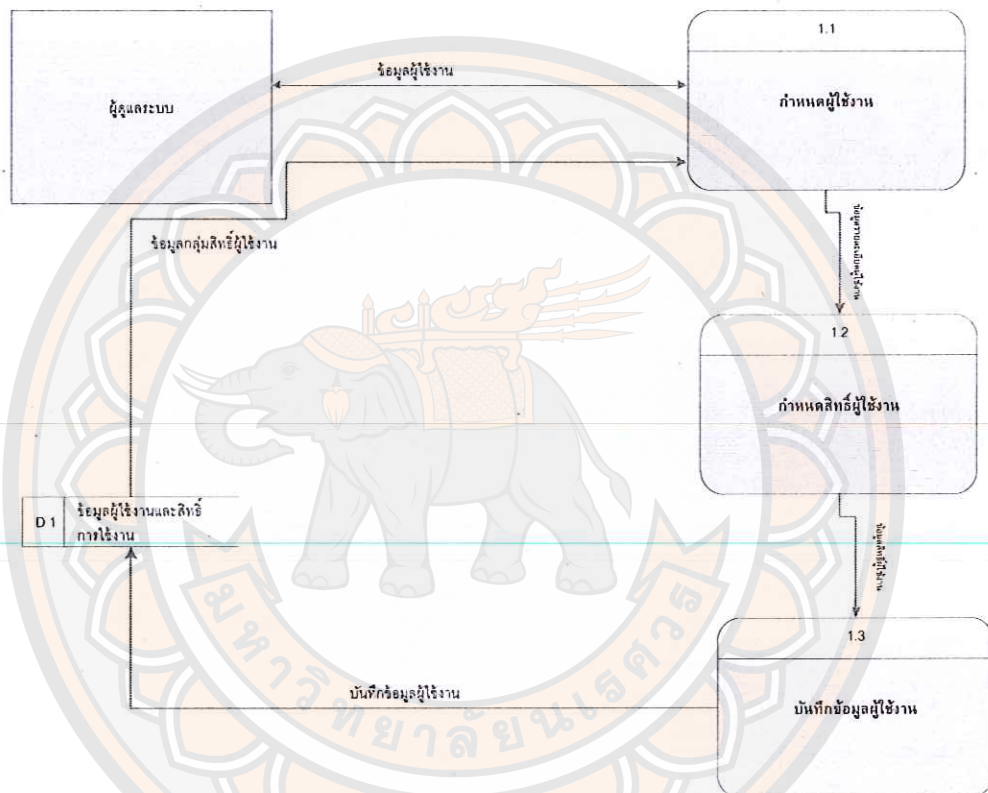


ภาพ 14 แผนภาพลำดับชั้นการทำงาน (Process Hierarchy Chart)

จากภาพ 14 แสดงภาพลำดับชั้นการทำงาน (Process Hierarchy Chart) ของ การศึกษาปัจจัยในการสร้างแบบจำลองเพื่อการพยากรณ์การระบาดโรคไวรัสเลือดออก

### 6.5 แผนภาพกระบวนการทำงานย่อยของระบบ (Process)

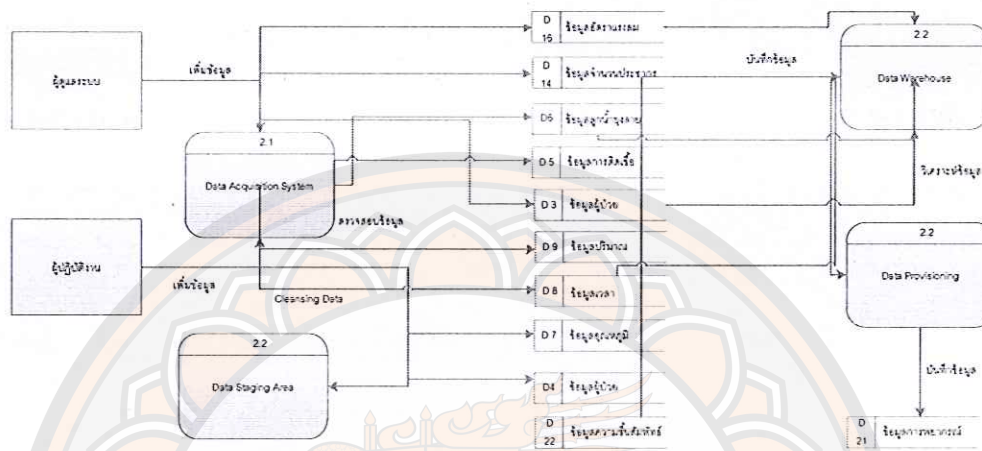
ผู้วิจัยลำดับการทำงานย่อยของระบบ (Process) หลักในระบบ ซึ่งประกอบด้วย Process ย่อย 5 Process ดังนี้



ภาพ 15 แผนภาพกระบวนการย่อย (DFD Level 2 Process1)

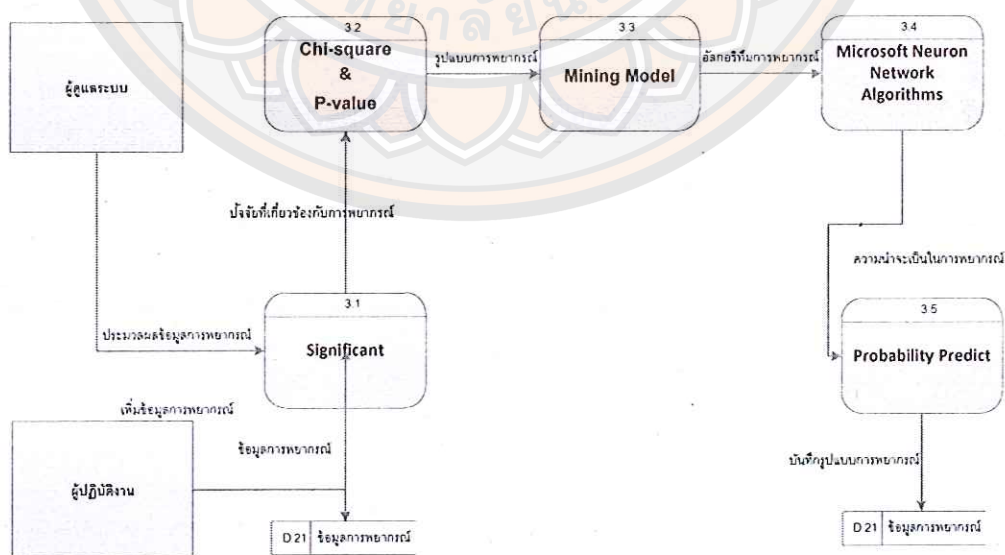
จากภาพ 15 แสดงแผนภาพกระบวนการย่อย (DFD Level 2 Process1) Process 1 การจัดการผู้ใช้งานเป็นกระบวนการที่ผู้วิจัยใช้เป็นแบบในการพัฒนาระบบที่มีจัดการข้อมูล ผู้ใช้งาน เริ่มต้นแต่การสมัครสมาชิกของผู้ใช้งานโดยผู้ใช้งานสมัครผ่านระบบเข้ามาเอง และ การเพิ่มผู้ใช้งานโดยผู้ดูแลระบบเป็นผู้กำหนด หลังจากผู้ดูแลระบบจะกำหนดสิทธิ์การใช้งาน เช่น ผู้ใช้ทั่วไป, ผู้ปฏิบัติงาน, ผู้บริหาร และผู้ดูแลระบบ

Process 2 จัดการข้อมูลเป็นกระบวนการที่ผู้วิจัยใช้เพื่อเป็นแบบในการพัฒนาระบบเพื่อจัดการข้อมูลสำหรับเตรียมข้อมูลเพื่อการพยากรณ์ โดยเพิ่มข้อมูลลงในฐานข้อมูล การส่งต่อข้อมูลไปยังคลังข้อมูล



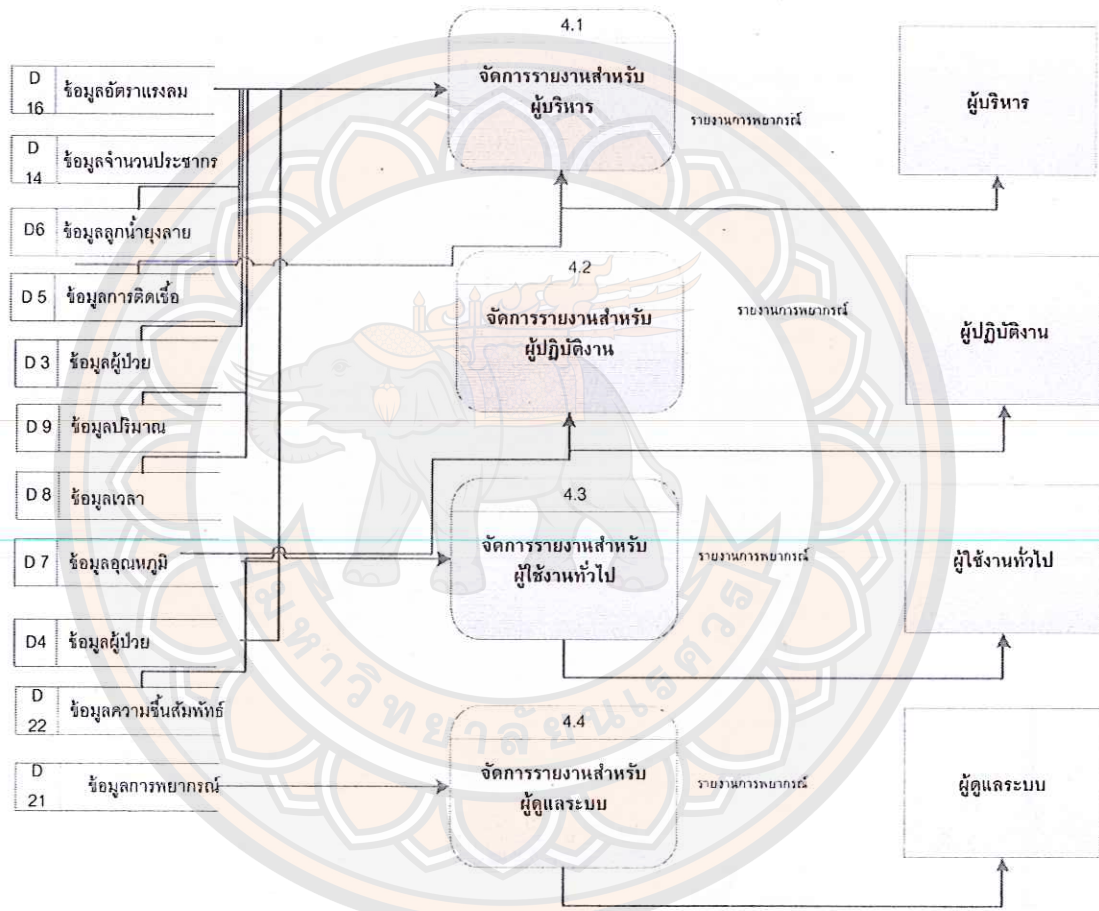
ภาพ 16 แผนภาพกราฟแสดงข้อมูล (DFD Level 2 Process 2) การจัดการข้อมูล

จากภาพ 16 Process 2 จัดการข้อมูลเป็นกระบวนการที่ผู้วิจัยใช้เพื่อเป็นแบบในการพัฒนาระบบเพื่อจัดการข้อมูลสำหรับเตรียมข้อมูลเพื่อการพยากรณ์ โดยเพิ่มข้อมูลลงในฐานข้อมูล การส่งต่อข้อมูลไปยังคลังข้อมูล



ภาพ 17 แผนภาพกราฟแสดงข้อมูล (DFD Level 2 Process 3) การจัดการการพยากรณ์

จากภาพ 17 Process 3 การจัดการการพยากรณ์เป็นกระบวนการที่ผู้วิจัยใช้เพื่อเป็นแบบในการสร้างแบบจำลองและหาปัจจัย (Significant) เพื่อการพยากรณ์ โดยใช้เทคนิคเหมือนข้อมูลด้วยวิธีในซอฟต์แวร์ประสาทเทียมอัลกอริทึม (Microsoft Neural Network Algorithms) เมื่อได้รูปแบบและปัจจัยที่ดีที่สุดในการพยากรณ์ ผู้วิจัยก็จะนำรูปแบบที่ได้ไปพัฒนาระบบท่อไป

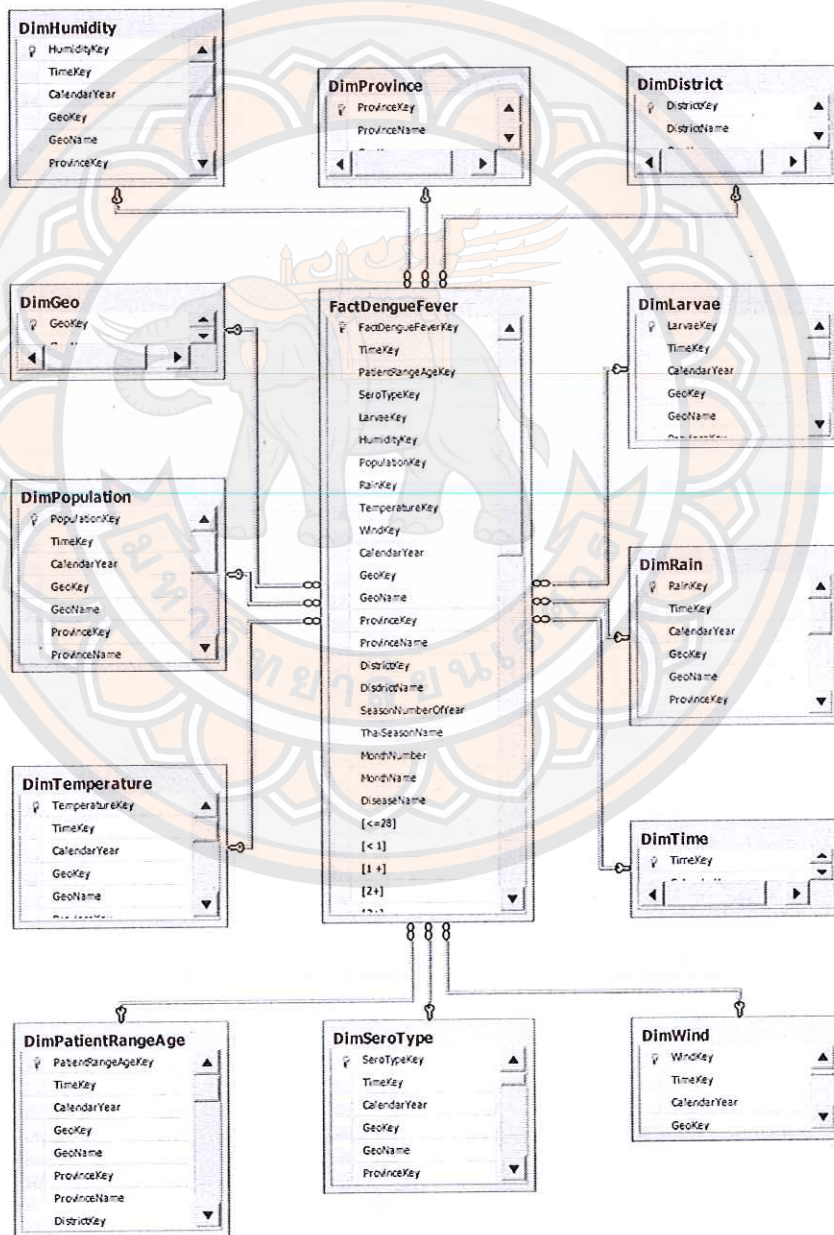


ภาพ 18 แผนภาพกระแสข้อมูล (DFD Level 2 Process 4) การจัดการรายงาน

จากภาพ 18 Process 4 จัดการรายงานเป็นกระบวนการที่ผู้วิจัยใช้เป็นแนวทางในการพัฒนาระบบท่อออกรายงานให้ตรงกับความต้องการกับผู้ใช้งาน เช่น รายงานสำหรับผู้ใช้งานทั่วไป, รายงานสำหรับผู้ปฏิบัติงาน, รายงานสำหรับผู้ดูแลระบบ และรายงานสำหรับผู้บริหาร

## 6.6 การออกแบบฐานข้อมูล (Data Design)

ผู้วิจัยได้ออกแบบแบบจำลองฐานข้อมูลสำหรับคลังข้อมูล (Data Warehouse) โดยใช้รูปแบบฐานข้อมูลแบบมิติ (Dimensional Data Model) ซึ่งประกอบด้วย Measure, Dimension, Facts and Fact Table โดยมี Fact Table ขนาดใหญ่เพียงหนึ่งเดียวอยู่ตรงกลางและมี Dimension Table จำนวนหนึ่งอยู่รอบเพื่อกำหนดมุมมองที่จะมีต่อ Measure ใน Fact Table (Star Schema) โดยได้แสดงความสัมพันธ์ดังภาพ 19



ภาพ 19 โครงสร้างแบบดาว (Star Schema)

จากภาพ 19 แสดงโครงสร้างแบบดาว (Star Schema) ของการศึกษาปัจจัยใน การสร้างแบบจำลองเพื่อการพยากรณ์การระบาดโรคไข้เลือดออก

### 6.7 คำอธิบายข้อมูล (Data Dictionary)

ตาราง 6 แสดง DimBudget ข้อมูลงบประมาณ

| Fields             | Type           | Description         |
|--------------------|----------------|---------------------|
| BudgetKey          | int            | รหัสข้อมูลงบประมาณ  |
| TimeKey            | int            | รหัสเวลา            |
| CalendarYear       | smallint       | ปีตามปฏิทิน         |
| GeoKey             | int            | รหัสภูมิภาค         |
| GeoName            | nvarchar(255)  | ชื่อภูมิภาค         |
| ProvinceKey        | int            | รหัสจังหวัด         |
| ProvinceName       | nvarchar(255)  | ชื่อจังหวัด         |
| DistrictKey        | int            | รหัสอำเภอ           |
| DistrictName       | nvarchar(255)  | ชื่ออำเภอ           |
| SeasonNumberOfYear | int            | เลขฤดู              |
| ThaiSeasonName     | nvarchar(255)  | ชื่อฤดู             |
| MonthNumber        | int            | เลขเดือน            |
| MonthName          | nvarchar(255)  | ชื่อเดือน           |
| FundingName        | nvarchar(255)  | ชื่องบประมาณ/กองทุน |
| Budget             | numeric(20, 2) | จำนวนงบประมาณ       |

ตาราง 7 แสดง DimDistrict ข้อมูลอำเภอ

| Fields       | Type          | Description     |
|--------------|---------------|-----------------|
| DistrictKey  | int           | รหัสข้อมูลอำเภอ |
| DistrictName | nvarchar(255) | ชื่ออำเภอ       |
| GeoKey       | int           | รหัสภูมิภาค     |

ตาราง 8 แสดง DimGeo ข้อมูลภูมิภาค

| Fields  | Type          | Description       |
|---------|---------------|-------------------|
| GeoKey  | int           | รหัสข้อมูลภูมิภาค |
| GeoName | nvarchar(255) | ชื่อภูมิภาค       |

ตาราง 9 แสดง DimGeoGraphy ข้อมูลอาชีพและลักษณะภูมิประเทศ

| Fields        | Type          | Description                        |
|---------------|---------------|------------------------------------|
| GeoGraphyKey  | int           | รหัสข้อมูลอาชีพและลักษณะภูมิประเทศ |
| GeoGraphyType | nvarchar(255) | ลักษณะภูมิประเทศ                   |
| PeopleCareer  | nvarchar(255) | อาชีพของประชากร                    |
| ProvinceKey   | int           | รหัสจังหวัด                        |
| DistrictKey   | int           | รหัสอำเภอ                          |
| GeoKey        | int           | รหัสภูมิภาค                        |

ตาราง 10 แสดง DimHumidity ข้อมูลความชื้นสัมพัทธ์

| Fields             | Type          | Description                |
|--------------------|---------------|----------------------------|
| HumidityKey        | int           | รหัสข้อมูลความชื้นสัมพัทธ์ |
| TimeKey            | nvarchar(255) | รหัสเวลา                   |
| CalendarYear       | smallint      | ปีตามปฏิทิน                |
| GeoKey             | int           | รหัสภูมิภาค                |
| GeoName            | nvarchar(255) | ชื่อภูมิภาค                |
| ProvinceKey        | int           | รหัสจังหวัด                |
| ProvinceName       | nvarchar(255) | ชื่อจังหวัด                |
| DistrictKey        | int           | รหัสอำเภอ                  |
| DistrictName       | nvarchar(255) | ชื่ออำเภอ                  |
| SeasonNumberOfYear | int           | เลขฤดู                     |

ตาราง 10 (ต่อ)

| Fields          | Type           | Description            |
|-----------------|----------------|------------------------|
| ThaiSeasonName  | nvarchar(255)  | ชื่อฤดู                |
| MonthNumber     | int            | เลขเดือน               |
| MonthName       | nvarchar(255)  | ชื่อเดือน              |
| AverageHumidity | numeric(10, 2) | ความชื้นสัมพันธ์เฉลี่ย |

ตาราง 11 แสดง DimLarvae ข้อมูลอยุ่งลาย และลูกน้ำที่ติดเชื้อโรคไข้เลือดออก

| Fields                       | Type           | Description                   |
|------------------------------|----------------|-------------------------------|
| LarvaeKey                    | int            | รหัสข้อมูลอยุ่งลายและลูกน้ำ   |
| TimeKey                      | nvarchar(255)  | รหัสเวลา                      |
| CalendarYear                 | smallint       | ปีตามปฏิทิน                   |
| GeoKey                       | int            | รหัสภูมิภาค                   |
| GeoName                      | nvarchar(255)  | ชื่อภูมิภาค                   |
| ProvinceKey                  | int            | รหัสจังหวัด                   |
| ProvinceName                 | nvarchar(255)  | ชื่อจังหวัด                   |
| DistrictKey                  | int            | รหัสอำเภอ                     |
| DistrictName                 | nvarchar(255)  | ชื่ออำเภอ                     |
| SeasonNumberOfYear           | int            | เลขฤดู                        |
| ThaiSeasonName               | nvarchar(255)  | ชื่อฤดู                       |
| MonthNumber                  | int            | เลขเดือน                      |
| MonthName                    | nvarchar(255)  | ชื่อเดือน                     |
| FemaleMosquitoInflectionRate | numeric(10, 2) | อัตราการติดเชื้อของยุงตัวเมีย |
| MaleMosquitoInflectionRate   | numeric(10, 2) | อัตราการติดเชื้อของยุงตัวผู้  |
| AegyptiInflectionRate        | numeric(10, 2) | อัตราการติดเชื้อของลูกน้ำ     |

ตาราง 12 แสดง DimMedicalPersonnel ข้อมูลบุคลากรทางการแพทย์

| Fields              | Type           | Description                   |
|---------------------|----------------|-------------------------------|
| MedicalPersonnelKey | int            | รหัสข้อมูลบุคลากรทางการแพทย์  |
| TimeKey             | nvarchar(255)  | รหัสเวลา                      |
| CalendarYear        | smallint       | ปีตามปฏิทิน                   |
| GeoKey              | int            | รหัสภูมิภาค                   |
| GeoName             | nvarchar(255)  | ชื่อภูมิภาค                   |
| ProvinceKey         | int            | รหัสจังหวัด                   |
| ProvinceName        | nvarchar(255)  | ชื่อจังหวัด                   |
| DistrictKey         | int            | รหัสอำเภอ                     |
| DistrictName        | nvarchar(255)  | ชื่ออำเภอ                     |
| SeasonNumberOfYear  | int            | เลขฤดู                        |
| ThaiSeasonName      | nvarchar(255)  | ชื่อฤดู                       |
| MonthNumber         | int            | เลขเดือน                      |
| MonthName           | nvarchar(255)  | ชื่อเดือน                     |
| ProfessionName      | numeric(10, 0) | ชื่อตำแหน่งบุคลากรทางการแพทย์ |
| ProfessionQuantity  | numeric(10, 0) | จำนวนบุคลากรทางการแพทย์       |

ตาราง 13 แสดง DimMedicalSupplies ข้อมูลเวชภัณฑ์ที่ใช้ในการรักษาผู้ติดเชื้อโรค  
ไข้เลือดออก

| Fields              | Type          | Description        |
|---------------------|---------------|--------------------|
| MedicalPersonnelKey | int           | รหัสข้อมูลเวชภัณฑ์ |
| TimeKey             | nvarchar(255) | รหัสเวลา           |
| CalendarYear        | smallint      | ปีตามปฏิทิน        |
| GeoKey              | int           | รหัสภูมิภาค        |
| GeoName             | nvarchar(255) | ชื่อภูมิภาค        |
| ProvinceKey         | int           | รหัสจังหวัด        |

ตาราง 13 (ต่อ)

| Fields                      | Type           | Description               |
|-----------------------------|----------------|---------------------------|
| ProvinceName                | nvarchar(255)  | ชื่อจังหวัด               |
| DistrictKey                 | int            | รหัสอำเภอ                 |
| DistrictName                | nvarchar(255)  | ชื่ออำเภอ                 |
| SeasonNumberOfYear          | int            | เลขฤดู                    |
| ThaiSeasonName              | nvarchar(255)  | ชื่อฤดู                   |
| MonthNumber                 | int            | เลขเดือน                  |
| MonthName                   | nvarchar(255)  | ชื่อเดือน                 |
| MedicalSuppliesName         | nvarchar(255)  | ชื่อเวชภัณฑ์              |
| MedicalSuppliesPrice        | numeric(10, 2) | ราคาเวชภัณฑ์ต่อหน่วย      |
| MedicalSuppliesNameQuantity | numeric(10, 2) | จำนวนเวชภัณฑ์ที่ใช้       |
| MedicalSuppliesCost         | numeric(10, 2) | งบประมาณค่าเวชภัณฑ์ที่ใช้ |

ตาราง 14 แสดง DimPatientRangeAge ข้อมูลผู้ป่วยโรคไข้เลือดออก

| Fields             | Type          | Description                     |
|--------------------|---------------|---------------------------------|
| PatientRangeAgeKey | int           | รหัสข้อมูลผู้ป่วยโรคไข้เลือดออก |
| TimeKey            | nvarchar(255) | รหัสเวลา                        |
| CalendarYear       | smallint      | ปีตามปฏิทิน                     |
| GeoKey             | int           | รหัสภูมิภาค                     |
| GeoName            | nvarchar(255) | ชื่อภูมิภาค                     |
| ProvinceKey        | int           | รหัสจังหวัด                     |
| ProvinceName       | nvarchar(255) | ชื่อจังหวัด                     |
| DistrictKey        | int           | รหัสอำเภอ                       |
| DistrictName       | nvarchar(255) | ชื่ออำเภอ                       |
| SeasonNumberOfYear | int           | เลขฤดู                          |
| ThaiSeasonName     | nvarchar(255) | ชื่อฤดู                         |

ตาราง 14 (ต่อ)

| Fields         | Type           | Description                        |
|----------------|----------------|------------------------------------|
| MonthNumber    | int            | เลขเดือน                           |
| MonthName      | nvarchar(255)  | ชื่อเดือน                          |
| DiseaseName    | nvarchar(255)  | ชื่อชนิดเชื้อโรคที่ใช้เลือดออก     |
| [<=28]         | numeric(10, 0) | ผู้ป่วยที่อายุน้อยกว่า 28 วัน      |
| [< 1]          | numeric(10, 0) | ผู้ป่วยที่อายุน้อยกว่า 1 ปี        |
| [1 +]          | numeric(10, 0) | ผู้ป่วยที่อายุมากกว่า 1 ปี         |
| [2+]           | numeric(10, 0) | ผู้ป่วยที่อายุมากกว่า 2 ปี         |
| [3+]           | numeric(10, 0) | ผู้ป่วยที่อายุมากกว่า 3 ปี         |
| [4+]           | numeric(10, 0) | ผู้ป่วยที่อายุมากกว่า 4 ปี         |
| [5+]           | numeric(10, 0) | ผู้ป่วยที่อายุมากกว่า 5 ปี         |
| [6+]           | numeric(10, 0) | ผู้ป่วยที่อายุมากกว่า 6 ปี         |
| [7 – 9]        | numeric(10, 0) | ผู้ป่วยที่อายุระหว่าง 7-9 ปี       |
| [10 – 14]      | numeric(10, 0) | ผู้ป่วยที่อายุระหว่าง 10-14 ปี     |
| [15 - 24]      | numeric(10, 0) | ผู้ป่วยที่อายุระหว่าง 15-24 ปี     |
| [25 - 34]      | numeric(10, 0) | ผู้ป่วยที่อายุระหว่าง 25-34 ปี     |
| [35 - 44]      | numeric(10, 0) | ผู้ป่วยที่อายุระหว่าง 35-44 ปี     |
| [45 - 54]      | numeric(10, 0) | ผู้ป่วยที่อายุระหว่าง 45-54 ปี     |
| [55 - 64]      | numeric(10, 0) | ผู้ป่วยที่อายุระหว่าง 55-64 ปี     |
| [65up]         | numeric(10, 0) | ผู้ป่วยที่อายุ 65 ปีขึ้นไป         |
| PatientSummary | numeric(10, 0) | ผลรวมจำนวนผู้ป่วยโรคที่ใช้เลือดออก |

ตาราง 15 แสดง DimPopulation ข้อมูลจำนวนประชากร

| Fields        | Type          | Description            |
|---------------|---------------|------------------------|
| PopulationKey | int           | รหัสข้อมูลจำนวนประชากร |
| TimeKey       | nvarchar(255) | รหัสเวลา               |

ตาราง 15 (ต่อ)

| Fields                     | Type           | Description  |
|----------------------------|----------------|--------------|
| CalendarYear               | smallint       | ปีตามปฏิทิน  |
| GeoKey                     | int            | รหัสภูมิภาค  |
| GeoName                    | nvarchar(255)  | ชื่อภูมิภาค  |
| ProvinceKey                | int            | รหัสจังหวัด  |
| ProvinceName               | nvarchar(255)  | ชื่อจังหวัด  |
| DistrictKey                | int            | รหัสอำเภอ    |
| DistrictName               | nvarchar(255)  | ชื่ออำเภอ    |
| SeasonNumberOfYear         | int            | เลขฤดู       |
| ThaiSeasonName             | nvarchar(255)  | ชื่อฤดู      |
| MonthNumber                | int            | เลขเดือน     |
| MonthName                  | nvarchar(255)  | ชื่อเดือน    |
| DistrictPopulationQuantity | numeric(10, 0) | จำนวนประชากร |

ตาราง 16 แสดง DimPrimaryCareUnit ข้อมูลบริการปฐมภูมิ

| Fields             | Type          | Description             |
|--------------------|---------------|-------------------------|
| PrimaryCareUnitKey | int           | รหัสข้อมูลบริการปฐมภูมิ |
| TimeKey            | nvarchar(255) | รหัสเวลา                |
| CalendarYear       | smallint      | ปีตามปฏิทิน             |
| GeoKey             | int           | รหัสภูมิภาค             |
| GeoName            | nvarchar(255) | ชื่อภูมิภาค             |
| ProvinceKey        | int           | รหัสจังหวัด             |
| ProvinceName       | nvarchar(255) | ชื่อจังหวัด             |
| DistrictKey        | int           | รหัสอำเภอ               |
| DistrictName       | nvarchar(255) | ชื่ออำเภอ               |
| SeasonNumberOfYear | int           | เลขฤดู                  |

ตาราง 16 (ต่อ)

| Fields              | Type           | Description                       |
|---------------------|----------------|-----------------------------------|
| ThaiSeasonName      | nvarchar(255)  | ชื่อฤดู                           |
| MonthNumber         | int            | เลขเดือน                          |
| MonthName           | nvarchar(255)  | ชื่อเดือน                         |
| BedOfQuantity       | numeric(10, 0) | จำนวนเตียงผู้ป่วย                 |
| BedPerPopulation    | numeric(10, 0) | อัตราเตียงผู้ป่วย/จำนวนประชากร    |
| DoctorPerPopulation | numeric(10, 0) | จำนวนแพทย์ต่อประชากรทั้งหมด       |
| OpdIncome           | numeric(10, 0) | จำนวนผู้ป่วยนอก                   |
| OpdUse              | numeric(10, 0) | จำนวนผู้ป่วยนอกที่ส่งรักษาต่อ     |
| Ipd                 | numeric(10, 0) | จำนวนผู้ป่วยใน                    |
| DayStay             | numeric(10, 0) | จำนวนวันที่ผู้ป่วยพักรักษาทั้งหมด |
| QuantityUseBed      | numeric(10, 0) | จำนวนผู้ป่วยที่ครองเตียง          |

ตาราง 17 แสดง DimProvince ข้อมูลจังหวัด

| Fields       | Type          | Description       |
|--------------|---------------|-------------------|
| ProvinceKey  | int           | รหัสข้อมูลจังหวัด |
| ProvinceName | nvarchar(255) | ชื่อจังหวัด       |
| GeoKey       | int           | รหัสภูมิภาค       |

ตาราง 18 แสดง DimRain ข้อมูลปริมาณฝน

| Fields       | Type          | Description        |
|--------------|---------------|--------------------|
| RainKey      | int           | รหัสข้อมูลปริมาณฝน |
| TimeKey      | nvarchar(255) | รหัสเวลา           |
| CalendarYear | smallint      | ปีตามปฏิทิน        |
| GeoKey       | int           | รหัสภูมิภาค        |

ตาราง 18 (ต่อ)

| Fields              | Type           | Description            |
|---------------------|----------------|------------------------|
| GeoName             | nvarchar(255)  | ชื่อภูมิภาค            |
| ProvinceKey         | int            | รหัสจังหวัด            |
| ProvinceName        | nvarchar(255)  | ชื่อจังหวัด            |
| DistrictKey         | int            | รหัสอำเภอ              |
| DistrictName        | nvarchar(255)  | ชื่ออำเภอ              |
| SeasonNumberOfYear  | int            | เลขฤดู                 |
| ThaiSeasonName      | nvarchar(255)  | ชื่อฤดู                |
| MonthNumber         | int            | เลขเดือน               |
| MonthName           | nvarchar(255)  | ชื่อเดือน              |
| AverageRainPerMonth | numeric(10, 2) | ปริมาณฝนเฉลี่ยต่อเดือน |

ตาราง 19 แสดง DimSeason ข้อมูลฤดูกาลของไทย

| Fields                | Type          | Description         |
|-----------------------|---------------|---------------------|
| RainKey               | int           | รหัสข้อมูลฤดูกาล    |
| MonthNumber           | int           | เลขเดือน            |
| ThaiMonthName         | nvarchar(255) | ชื่อเดือน           |
| EnglishMonthName      | nvarchar(255) | ชื่อเดือนภาษาอังกฤษ |
| SeasonNumberOfYear    | int           | เลขฤดู              |
| ThaiSeasonName        | nvarchar(255) | ชื่อฤดู             |
| ThaiSeasonDescription | nvarchar(255) | อธิบายฤดู           |

ตาราง 20 แสดง DimSeroType ข้อมูลชนิดการติดเชื้อโรคไข้เลือดออก (Dengue type)

| Fields             | Type           | Description                             |
|--------------------|----------------|---|
| SeroTypeKey        | int            | รหัสข้อมูลชนิดการติดเชื้อโรคไข้เลือดออก |
| TimeKey            | nvarchar(255)  | รหัสเวลา                                |
| CalendarYear       | smallint       | ปีตามปฏิทิน                             |
| GeoKey             | int            | รหัสภูมิภาค                             |
| GeoName            | nvarchar(255)  | ชื่อภูมิภาค                             |
| ProvinceKey        | int            | รหัสจังหวัด                             |
| ProvinceName       | nvarchar(255)  | ชื่อจังหวัด                             |
| DistrictKey        | int            | รหัสอำเภอ                               |
| DistrictName       | nvarchar(255)  | ชื่ออำเภอ                               |
| SeasonNumberOfYear | int            | เลขฤดู                                  |
| ThaiSeasonName     | nvarchar(255)  | ชื่อฤดู                                 |
| MonthNumber        | int            | เลขเดือน                                |
| MonthName          | nvarchar(255)  | ชื่อเดือน                               |
| Den1               | numeric(10, 0) | การติดเชื้อ Den1                        |
| Den2               | numeric(10, 0) | การติดเชื้อ Den2                        |
| Den3               | numeric(10, 0) | การติดเชื้อ Den3                        |
| Den4               | numeric(10, 0) | การติดเชื้อ Den4                        |
| DEN12              | numeric(10, 0) | การติดเชื้อ DEN12                       |
| DEN13              | numeric(10, 0) | การติดเชื้อ DEN13                       |
| DEN14              | numeric(10, 0) | การติดเชื้อ DEN14                       |
| DEN23              | numeric(10, 0) | การติดเชื้อ DEN23                       |
| DEN24              | numeric(10, 0) | การติดเชื้อ DEN24                       |
| DEN34              | numeric(10, 0) | การติดเชื้อ DEN34                       |
| DEN123             | numeric(10, 0) | การติดเชื้อ DEN123                      |
| DEN124             | numeric(10, 0) | การติดเชื้อ DEN124                      |

ตาราง 20 (ต่อ)

| Fields  | Type           | Description         |
|---------|----------------|---------------------|
| DEN134  | numeric(10, 0) | การติดเชื้อ DEN134  |
| DEN234  | numeric(10, 0) | การติดเชื้อ DEN234  |
| DEN1234 | numeric(10, 0) | การติดเชื้อ DEN1234 |

ตาราง 21 แสดง DimTambon ข้อมูลตำบล

| Fields     | Type          | Description    |
|------------|---------------|----------------|
| TambonKey  | int           | รหัสข้อมูลตำบล |
| TambonName | nvarchar(255) | ชื่อตำบล       |
| GeoKey     | int           | รหัสภูมิภาค    |

ตาราง 22 แสดง DimTemperature ข้อมูลอุณหภูมิเฉลี่ย

| Fields             | Type          | Description              |
|--------------------|---------------|--------------------------|
| TemperatureKey     | int           | รหัสข้อมูลอุณหภูมิเฉลี่ย |
| TimeKey            | nvarchar(255) | รหัสเวลา                 |
| CalendarYear       | smallint      | ปีตามปฏิทิน              |
| GeoKey             | int           | รหัสภูมิภาค              |
| GeoName            | nvarchar(255) | ชื่อภูมิภาค              |
| ProvinceKey        | int           | รหัสจังหวัด              |
| ProvinceName       | nvarchar(255) | ชื่อจังหวัด              |
| DistrictKey        | int           | รหัสอำเภอ                |
| DistrictName       | nvarchar(255) | ชื่ออำเภอ                |
| SeasonNumberOfYear | int           | เลขฤดู                   |
| ThaiSeasonName     | nvarchar(255) | ชื่อฤดู                  |
| MonthNumber        | int           | เลขเดือน                 |

ตาราง 22 (ต่อ)

| Fields             | Type           | Description    |
|--------------------|----------------|----------------|
| MonthName          | nvarchar(255)  | ชื่อเดือน      |
| AverageTemperature | numeric(10, 2) | อุณหภูมิเฉลี่ย |

ตาราง 23 แสดง DimTime ข้อมูลเวลา

| Fields       | Type     | Description    |
|--------------|----------|----------------|
| TimeKey      | int      | รหัสข้อมูลเวลา |
| CalendarYear | smallint | ปีปฏิทิน       |

ตาราง 24 แสดง DimUser ข้อมูลผู้ใช้งานระบบ

| Fields   | Type          | Description                    |
|----------|---------------|--------------------------------|
| UserKey  | int           | รหัสข้อมูลผู้ใช้งานระบบ        |
| Username | nvarchar(255) | ชื่อสำหรับเข้าใช้งานระบบ       |
| Password | nvarchar(255) | รหัสสำหรับเข้าใช้งานระบบ       |
| Name     | nvarchar(255) | ชื่อผู้ใช้งาน                  |
| Lastname | nvarchar(255) | นามสกุลผู้ใช้งาน               |
| UserType | nvarchar(255) | ชนิดผู้ใช้งาน                  |
| PeopleID | nvarchar(255) | หมายเลขบัตรประชาชนผู้ใช้งาน    |
| Birthdat | nvarchar(255) | วัน/เดือน/เกิด ผู้ใช้งาน       |
| Address  | nvarchar(255) | ที่อยู่ผู้ใช้งาน               |
| Email    | nvarchar(255) | อีเมลผู้ใช้งาน                 |
| Tel      | nvarchar(255) | เบอร์โทรศัพท์ที่ทำงานผู้ใช้งาน |
| Mobile   | nvarchar(255) | เบอร์โทรศัพท์มือถือผู้ใช้งาน   |
| Picture  | nvarchar(255) | รูปภาพของผู้ใช้งาน             |

ตาราง 25 แสดง DimWind ข้อมูลอัตราแรงลมเฉลี่ย

| Fields             | Type           | Description                |
|--------------------|----------------|----------------------------|
| WindKey            | int            | รหัสข้อมูลอัตราแรงลมเฉลี่ย |
| TimeKey            | nvarchar(255)  | รหัสเวลา                   |
| CalendarYear       | smallint       | ปีตามปฏิทิน                |
| GeoKey             | int            | รหัสภูมิภาค                |
| GeoName            | nvarchar(255)  | ชื่อภูมิภาค                |
| ProvinceKey        | int            | รหัสจังหวัด                |
| ProvinceName       | nvarchar(255)  | ชื่อจังหวัด                |
| DistrictKey        | int            | รหัสอำเภอ                  |
| DistrictName       | nvarchar(255)  | ชื่ออำเภอ                  |
| SeasonNumberOfYear | int            | เลขฤดู                     |
| ThaiSeasonName     | nvarchar(255)  | ชื่อฤดู                    |
| MonthNumber        | int            | เลขเดือน                   |
| MonthName          | nvarchar(255)  | ชื่อเดือน                  |
| AverageWind        | numeric(10, 2) | อัตราแรงลมเฉลี่ย           |

ตาราง 26 แสดง FactDengueFever คลังข้อมูลโรคไข้เลือดออก

| Fields             | Type | Description                                 |
|--------------------|------|---|
| FactDengueFeverKey | int  | รหัสคลังข้อมูลโรคไข้เลือดออก                |
| TimeKey            | Int  | รหัสข้อมูลเวลา                              |
| PatientRangeAgeKey | Int  | รหัสข้อมูลผู้ป่วยโรคไข้เลือดออก             |
| SeroTypeKey        | Int  | รหัสข้อมูลชนิดการติดเชื้อโรค<br>ไข้เลือดออก |
| LarvaeKey          | int  | รหัสข้อมูลยุงลายและลูกน้ำ                   |
| HumidityKey        | Int  | รหัสข้อมูลความชื้นสัมพัทธ์                  |
| PopulationKey      | Int  | รหัสข้อมูลจำนวนประชากร                      |

ตาราง 26 (ต่อ)

| Fields             | Type           | Description                    |
|--------------------|----------------|--------------------------------|
| RainKey            | Int            | รหัสข้อมูลปริมาณฝน             |
| TemperatureKey     | Int            | รหัสข้อมูลอุณหภูมิเฉลี่ย       |
| WindKey            | int            | รหัสข้อมูลอัตราแรงลมเฉลี่ย     |
| CalendarYear       | smallint       | ปีตามปฏิทิน                    |
| GeoKey             | int            | รหัสภูมิภาค                    |
| GeoName            | nvarchar(255)  | ชื่อภูมิภาค                    |
| ProvinceKey        | int            | รหัสจังหวัด                    |
| ProvinceName       | nvarchar(255)  | ชื่อจังหวัด                    |
| DistrictKey        | int            | รหัสอำเภอ                      |
| DisdistrictName    | nvarchar(255)  | ชื่ออำเภอ                      |
| SeasonNumberOfYear | int            | เลขฤดู                         |
| ThaiSeasonName     | nvarchar(255)  | ชื่อฤดู                        |
| MonthNumber        | int            | เลขเดือน                       |
| MonthName          | nvarchar(255)  | ชื่อเดือน                      |
| DiseaseName        | nvarchar(255)  | ชื่อชนิดเชื้อโรคที่ใช้เลือดออก |
| [<=28]             | numeric(10, 0) | ผู้ป่วยที่อายุน้อยกว่า 28 วัน  |
| [< 1]              | numeric(10, 0) | ผู้ป่วยที่อายุน้อยกว่า 1 ปี    |
| [1 +]              | numeric(10, 0) | ผู้ป่วยที่อายุมากกว่า 1 ปี     |
| [2+]               | numeric(10, 0) | ผู้ป่วยที่อายุมากกว่า 2 ปี     |
| [3+]               | numeric(10, 0) | ผู้ป่วยที่อายุมากกว่า 3 ปี     |
| [4+]               | numeric(10, 0) | ผู้ป่วยที่อายุมากกว่า 4 ปี     |
| [5+]               | numeric(10, 0) | ผู้ป่วยที่อายุมากกว่า 5 ปี     |
| [6+]               | numeric(10, 0) | ผู้ป่วยที่อายุมากกว่า 6 ปี     |
| [7 – 9]            | numeric(10, 0) | ผู้ป่วยที่อายุระหว่าง 7-9 ปี   |
| [10 – 14]          | numeric(10, 0) | ผู้ป่วยที่อายุระหว่าง 10-14 ปี |
| [15 - 24]          | numeric(10, 0) | ผู้ป่วยที่อายุระหว่าง 15-24 ปี |

ตาราง 26 (ต่อ)

| Fields                       | Type           | Description                    |
|------------------------------|----------------|--------------------------------|
| [25 - 34]                    | numeric(10, 0) | ผู้ป่วยที่อายุระหว่าง 25-34 ปี |
| [35 - 44]                    | numeric(10, 0) | ผู้ป่วยที่อายุระหว่าง 35-44 ปี |
| [45 - 54]                    | numeric(10, 0) | ผู้ป่วยที่อายุระหว่าง 45-54 ปี |
| [55 - 64]                    | numeric(10, 0) | ผู้ป่วยที่อายุระหว่าง 55-64 ปี |
| [65up]                       | numeric(10, 0) | ผู้ป่วยที่อายุ 65 ปีขึ้นไป     |
| Den1                         | numeric(10, 0) | การติดเชื้อ Den1               |
| Den2                         | numeric(10, 0) | การติดเชื้อ Den2               |
| Den3                         | numeric(10, 0) | การติดเชื้อ Den3               |
| Den4                         | numeric(10, 0) | การติดเชื้อ Den4               |
| DEN12                        | numeric(10, 0) | การติดเชื้อ DEN12              |
| DEN13                        | numeric(10, 0) | การติดเชื้อ DEN13              |
| DEN14                        | numeric(10, 0) | การติดเชื้อ DEN14              |
| DEN23                        | numeric(10, 0) | การติดเชื้อ DEN23              |
| DEN24                        | numeric(10, 0) | การติดเชื้อ DEN24              |
| DEN34                        | numeric(10, 0) | การติดเชื้อ DEN34              |
| DEN123                       | numeric(10, 0) | การติดเชื้อ DEN123             |
| DEN124                       | numeric(10, 0) | การติดเชื้อ DEN124             |
| DEN134                       | numeric(10, 0) | การติดเชื้อ DEN134             |
| DEN234                       | numeric(10, 0) | การติดเชื้อ DEN234             |
| DEN1234                      | numeric(10, 0) | การติดเชื้อ DEN1234            |
| FemaleMosquitoInflectionRate | numeric(10, 2) | อัตราการติดเชื้อของยุงตัวเมีย  |
| MaleMosquitoInflectionRate   | numeric(10, 2) | อัตราการติดเชื้อของยุงตัวผู้   |
| AegyptiInflectionRate        | numeric(10, 2) | อัตราการติดเชื้อของลูกน้ำ      |
| AverageHumidity              | numeric(10, 2) | ความชื้นสัมพัทธ์เฉลี่ย         |
| AverageRainPerMonth          | numeric(10, 2) | ปริมาณฝนเฉลี่ย                 |
| AverageTemperature           | numeric(10, 2) | อุณหภูมิเฉลี่ย                 |

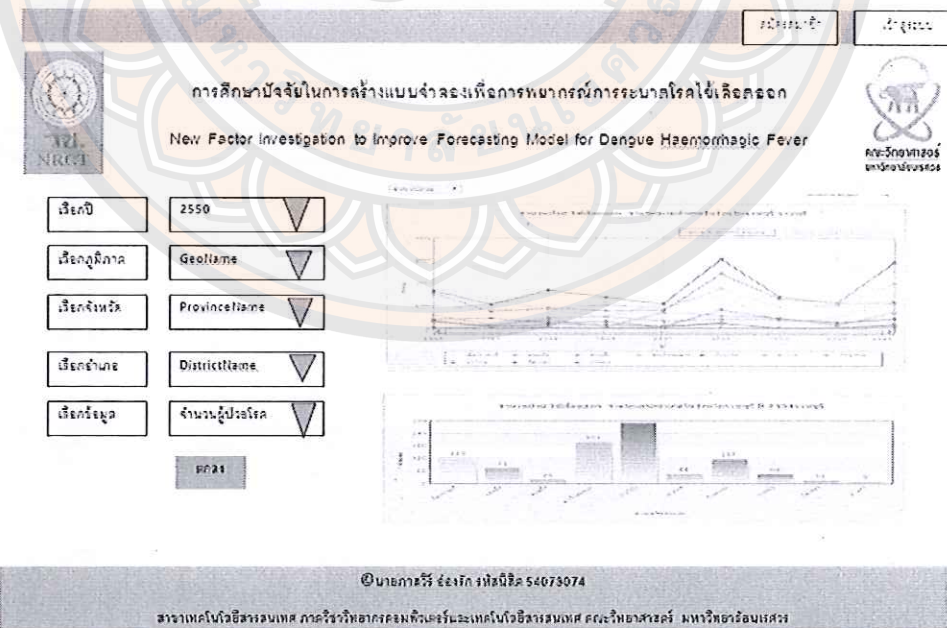
ตาราง 26 (ต่อ)

| Fields                     | Type           | Description                               |
|----------------------------|----------------|---|
| AverageWind                | numeric(10, 2) | อัตราความเร็วลมเฉลี่ย                     |
| DistrictPopulationQuantity | numeric(10, 0) | จำนวนประชากร                              |
| Patient                    | numeric(10, 0) | จำนวนผู้ป่วยโรคไข้เลือดออก                |
| PatientRate                | numeric(10, 0) | อัตราผู้ป่วยโรคไข้เลือดออก / จำนวนประชากร |
| Risk                       | nvarchar(255)  | ความเสี่ยงในการระบาดของโรค                |
| Spread                     | int            | grade แพร่กระจายของโรค                    |

### 6.8 การออกแบบหน้า (User interface design)

การออกแบบหน้าจอการศึกษาปัจจัยในการสร้างแบบจำลองเพื่อการพยากรณ์การระบาดโรคไข้เลือดออก ผู้ใช้ได้แบ่งการออกแบบหน้าจอออกเป็น 4 ส่วนดังนี้

#### 6.8.1 หน้าจอสำหรับผู้ใช้งานทั่วไป (รายงาน)



ภาพ 20 การออกแบบหน้าจอหลัก(Index) สำหรับผู้ใช้ทุกกลุ่ม

จากภาพ 20 เป็นการออกแบบหน้าจอหลักของผู้ใช้งานทุกกลุ่ม ซึ่งประกอบด้วยส่วนของรายงานต่างๆ, ส่วนการเข้าสู่ระบบ, และส่วนการสมัครสมาชิก

ภาพ 20 การออกแบบหน้าจอหลักของผู้ใช้งานทุกกลุ่ม ซึ่งประกอบด้วยส่วนของรายงานต่างๆ, ส่วนการเข้าสู่ระบบ, และส่วนการสมัครสมาชิก

ภาพ 21 การออกแบบหน้าจอ สำหรับสมัครสมาชิกทั่วไป

จากภาพ 21 เป็นการออกแบบหน้าจอสำหรับการสมัครสมาชิกเพื่อขอใช้ งานระบบ ซึ่งประกอบด้วยชื่อคุณล้วนทั่วไปของผู้ใช้งาน

ภาพ 21 การออกแบบหน้าจอ สำหรับสมัครสมาชิกทั่วไป

ภาพ 22 การออกแบบหน้าจอมenu สำหรับผู้ใช้งานทั่วไป

จากภาพ 22 ซึ่งเป็นการออกแบบหน้าจอเมนู สำหรับผู้ใช้งานทั่วไป โดยประกอบด้วยเมนูคู่มือการใช้ระบบ, เมนูเลือกแบบจำลองเพื่อการพยากรณ์ และเมนูส่งออกข้อมูล

#### 6.8.2 หน้าจอสำหรับผู้บริหาร

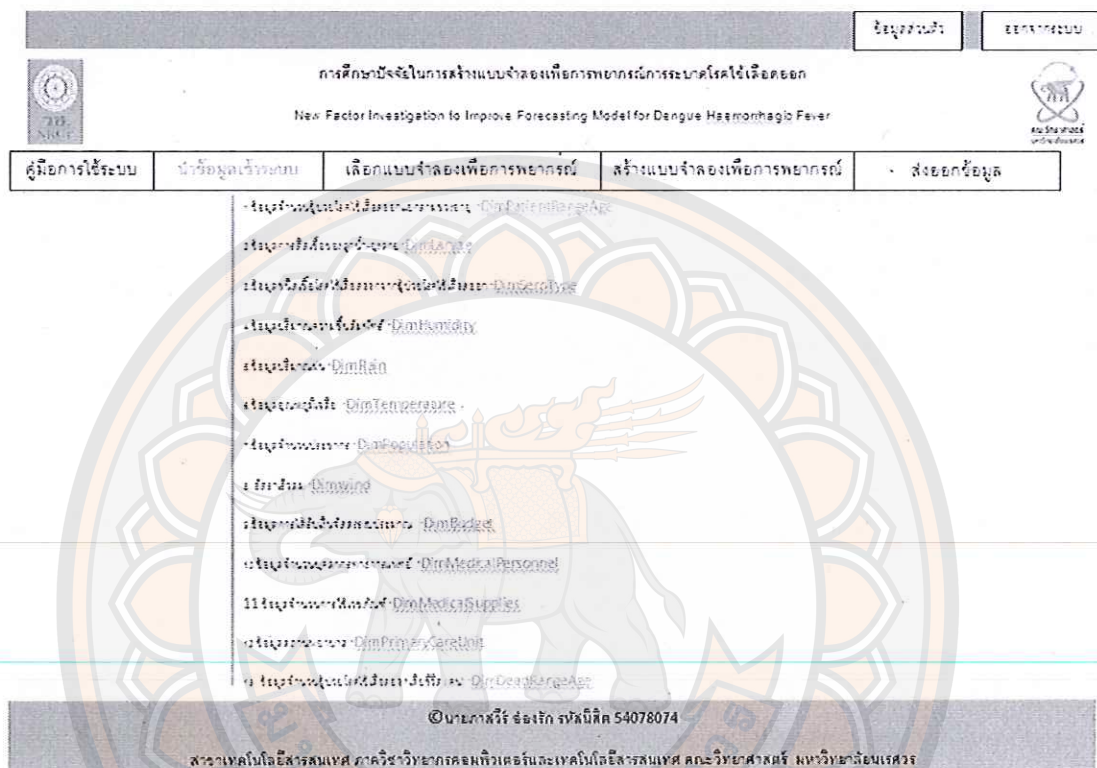
ภาพ 23 การออกแบบหน้าจอเมนู สำหรับผู้บริหาร

จากภาพ 23 แสดงการออกแบบหน้าจอเมนู สำหรับผู้บริหาร โดยประกอบด้วยเมนูคู่มือการใช้ระบบ, เมนูเลือกแบบจำลองเพื่อการพยากรณ์ และสร้างแบบจำลองเพื่อการพยากรณ์

#### 6.8.3 หน้าจอสำหรับผู้ปฏิบัติงาน

ภาพ 24 การออกแบบหน้าจอเมนู สำหรับผู้ปฏิบัติงาน

จากภาพ 24 แสดงการออกแบบหน้าจอมenu สำหรับผู้ปฏิบัติงาน ซึ่งประกอบด้วยเมนูคุณมือการใช้ระบบ,แบบจำลองเพื่อการพยากรณ์, นำเข้าข้อมูล, ส่งออกข้อมูล และเมนูรายงาน



ภาพ 25 การออกแบบหน้าจอมenu นำข้อมูลเข้าสำหรับผู้ปฏิบัติงาน

จากภาพ 25 แสดงการออกแบบหน้าจอมenu นำข้อมูลเข้าสำหรับผู้ปฏิบัติงานซึ่งประกอบด้วยข้อมูลจำนวนผู้ป่วยโรคไข้เลือดออกแยกตามช่วงอายุ, ข้อมูลการติดเชื้อของลูกน้ำ-ยุงลาย, ข้อมูลชนิดเชื้อโรคไข้เลือดออกจากผู้ป่วยโรคไข้เลือดออก, ข้อมูลปริมาณความชื้นสัมพัทธ์, ข้อมูลปริมาณฝน, ข้อมูลอุณหภูมิเฉลี่ย, ข้อมูลจำนวนประชากร, อัตราเรื้อรัง, ข้อมูลการได้รับเงินจัดสรรงบประมาณ, ข้อมูลจำนวนบุคลากรทางการแพทย์, ข้อมูลจำนวนการใช้เวชภัณฑ์, ข้อมูลสถานพยาบาล และข้อมูลจำนวนผู้ป่วยโรคไข้เลือดออกเตียบชีวิต (คง)

#### 6.8.4 หน้าจอสำหรับผู้ดูแลระบบ

การศึกษาปัจจัยในการสร้างแบบจำลองเพื่อการพยากรณ์การระบาดโดยใช้เลือกตัด  
New Factor Investigation to Improve Forecasting Model for Dengue Haemorrhagic Fever

ร่องรอยเชิงค้น เส้นทางเดิน ส่วนแบบจำลองเพื่อการพยากรณ์ Process Fact Web Service จัดการข้อมูล จัดการผู้ใช้งาน

©นายนภภานันท์ วงศ์น้ำเงิน รหัสนักวิจัย 54078074  
อาจารย์กิติพงษ์ ธรรมรงค์ ภาควิชาชีวเคมีและเทคโนโลยีชีวภาพ คณะวิทยาศาสตร์ มหาวิทยาลัยเชียงใหม่

ภาพ 26 การออกแบบหน้าจอเมนู สำหรับผู้ดูแลระบบ

จากภาพ 26 แสดงการออกแบบหน้าจอเมนู สำหรับผู้ดูแลระบบ ซึ่งประกอบด้วยเมนูคู่มือการใช้ระบบ, แบบจำลองเพื่อการพยากรณ์, ผู้ดูแลระบบ, นำเข้าข้อมูล, ลงออกข้อมูลและรายงาน

การศึกษาปัจจัยในการสร้างแบบจำลองเพื่อการพยากรณ์การระบาดโดยใช้เลือกตัด  
New Factor Investigation to Improve Forecasting Model for Dengue Haemorrhagic Fever

ร่องรอยเชิงค้น เส้นทางเดิน ส่วนแบบจำลองเพื่อการพยากรณ์ Process Fact Web Service จัดการข้อมูล จัดการผู้ใช้งาน

1. (พบบ้า) และวิธีการที่ 1 ออกแบบแบบจำลองเพื่อการพยากรณ์ Dengue Significant Network Algorithm (Dengue Significant)  
2. (พบบ้า) และวิธีการที่ 2 ออกแบบแบบจำลองเพื่อการพยากรณ์ Dengue Significant Vector (Dengue Significant Vector)  
3. แบบจำลองที่ 3 ออกแบบโดยใช้เครื่อง Microsoft Neural Network Algorithm (Dengue Significant+DEN1)  
4. แบบจำลองที่ 4 ออกแบบโดยใช้เครื่อง Microsoft Neural Network Algorithm (Dengue Significant+DEN2)  
5. แบบจำลองที่ 5 ออกแบบโดยใช้เครื่อง Microsoft Neural Network Algorithm (Dengue Significant+DEN3)  
6. แบบจำลองที่ 6 ออกแบบโดยใช้เครื่อง Microsoft Neural Network Algorithm (Dengue Significant+DEN4)  
7. แบบจำลองที่ 7 ออกแบบโดยใช้เครื่อง Microsoft Neural Network Algorithm (Dengue Significant+DEN1+DEN2+DEN3+DEN4)  
8. แบบจำลองที่ 8 ออกแบบโดยใช้เครื่อง Microsoft Neural Network Algorithm (Dengue Significant+All DEN)  
9. แบบจำลองที่ 9 ออกแบบโดยใช้เครื่อง Support Vector Machines Algorithm (Dengue Significant+DEN1)  
10. แบบจำลองที่ 10 ออกแบบโดยใช้เครื่อง Support Vector Machines Algorithm (Dengue Significant+ DEN2)

©นายนภภานันท์ วงศ์น้ำเงิน รหัสนักวิจัย 54078074  
อาจารย์กิติพงษ์ ธรรมรงค์ ภาควิชาชีวเคมีและเทคโนโลยีชีวภาพ คณะวิทยาศาสตร์ มหาวิทยาลัยเชียงใหม่

ภาพ 27 การออกแบบหน้าจอการจัดการเลือกแบบจำลองเพื่อการพยากรณ์

จากภาพ 27 แสดงการออกแบบหน้าจอ การจัดการเลือกแบบจำลองเพื่อการพยากรณ์สำหรับผู้ดูแลระบบ

ภาพ 28 การออกแบบหน้าจอการสร้างแบบจำลองเพื่อการพยากรณ์

จากภาพ 28 แสดงการออกแบบหน้าจอการสร้างแบบจำลองเพื่อการพยากรณ์การระบาดโรคไข้เลือดออกเพื่อการพยากรณ์สำหรับผู้ดูแลระบบใช้ในการบริหารจัดการ

ภาพ 29 การออกแบบหน้าจอการปรับปรุงไมเดล

จากภาพ 29 แสดงการออกแบบหน้าจอการปรับปรุงโมเดล  
(Model)สำหรับผู้ดูแลระบบใช้ในการบริหารจัดการ

The screenshot shows a header with the NRCT logo and two buttons: 'เรียกคืน' (Recall) and 'ออกจากระบบ' (Logout). Below the header is a sub-header with the text 'การศึกษาปัจจัยในการสร้างแบบจำลองเพื่อการพยากรณ์การระบาดโรคไข้เลือดออก' and 'New Factor Investigation to Improve Forecasting Model for Dengue Haemorrhagic Fever'. To the right is a logo for 'กรมวิทยาศาสตร์แห่งชาติ' (National Science and Technology Commission).

The main content area has tabs at the top: 'จัดการดูแลรักษาไวรัส' (Manage Virus), 'เลือกแบบจำลองเพื่อการพยากรณ์' (Select Forecasting Model), 'สร้างแบบจำลองเพื่อการพยากรณ์' (Create Forecasting Model), 'Process Fact' (Process Fact), 'Web Service' (Web Service), 'จัดการข้อมูล' (Manage Data), and 'จัดการผู้ใช้งาน' (Manage User). A sub-menu '1. FactDengueFever' is visible under 'Web Service'.

A table titled 'Fact' shows a single row for 'FactDengueFever' with status 'ON' (checked) and 'OFF' (unchecked). A button labeled 'ยกเลิก' (Cancel) is located below the table.

Below the table is a list of options: 'ON หรือ OFF ให้เป็นตัวเลือก WebService' and 'OFF หรือ ON ให้เป็นตัวเลือก WebService'. A note indicates that the service ID is 54078074.

The footer contains the text 'รายงานผลในเชิงลักษณะทางคณิตศาสตร์ ภาควิชาพิทยาศาสตร์และเทคโนโลยีเชิงลักษณะทางคณิตศาสตร์ ผลงานวิชาการครุภัณฑ์ หน่วยวิชาชีวเคมี'.

ภาพ 30 การออกแบบหน้าจอการให้บริการข้อมูล (Web Service)

จากภาพ 30 แสดงการออกแบบหน้าจอการจัดการการให้บริการข้อมูล (Web Service) สำหรับผู้ดูแลระบบใช้ในการบริหารจัดการ

The screenshot shows a header with the NRCT logo and two buttons: 'เรียกคืน' (Recall) and 'ออกจากระบบ' (Logout). Below the header is a sub-header with the text 'การศึกษาปัจจัยในการสร้างแบบจำลองเพื่อการพยากรณ์การระบาดโรคไข้เลือดออก' and 'New Factor Investigation to Improve Forecasting Model for Dengue Haemorrhagic Fever'. To the right is a logo for 'กรมวิทยาศาสตร์แห่งชาติ' (National Science and Technology Commission).

The main content area has tabs at the top: 'จัดการดูแลรักษาไวรัส' (Manage Virus), 'เลือกแบบจำลองเพื่อการพยากรณ์' (Select Forecasting Model), 'สร้างแบบจำลองเพื่อการพยากรณ์' (Create Forecasting Model), 'Process Fact' (Process Fact), 'Web Service' (Web Service), 'จัดการข้อมูล' (Manage Data), and 'จัดการผู้ใช้งาน' (Manage User). A sub-menu '1. เน้นใช้ดูดซูดเท่านั้น' is visible under 'Web Service'.

A list of four items is displayed: 1. เน้นใช้ดูดซูดเท่านั้น, 2. เน้นใช้ดูดเท่านั้น, 3. เน้นใช้ดูดซูดเท่านั้น, and 4. เน้นใช้ดูดซูดเท่านั้น.

The footer contains the text 'รายงานผลในเชิงลักษณะทางคณิตศาสตร์ ภาควิชาพิทยาศาสตร์และเทคโนโลยีเชิงลักษณะทางคณิตศาสตร์ ผลงานวิชาการครุภัณฑ์ หน่วยวิชาชีวเคมี'.

ภาพ 31 การออกแบบหน้าจอการจัดการข้อมูล

จากภาพ 31 แสดงการออกแบบหน้าจอการจัดการข้อมูล สำหรับผู้ดูแลระบบใช้ในการบริหารจัดการ

### ขั้นตอนดำเนินการวิจัย

การศึกษาปัจจัยในการสร้างแบบจำลองเพื่อการพยากรณ์การระบาดโรคไปใช้เลือดออก มีขั้นตอนดำเนินการวิจัยดังต่อไปนี้

#### 1. ศึกษาปัจจัยที่มีผลต่อการระบาดของโรคไปใช้เลือดออก

1.1 จากการศึกษางานวิจัยทั้งในและต่างประเทศที่เกี่ยวข้องกับการพยากรณ์การระบาดของโรคไปใช้เลือดออก โดยผู้วิจัยนำผลการศึกษาจากผลงานวิจัยมาสรุปได้ว่ามีนักวิจัยใช้เอกธิบิต์ (ข้อมูล) อะไรบ้างเพื่อใช้เป็นข้อมูลในการพยากรณ์การระบาดของโรคไปใช้เลือดออก ซึ่งผู้วิจัยได้ทำการเปรียบเทียบให้เห็นในรูปแบบตาราง กันและทริบิต์ของผู้วิจัยเองว่ามีเอกธิบิต์อะไรที่เหมือนกัน และมีเอกธิบิต์อะไรที่ต่างกัน โดยผู้วิจัยได้จำแนกปัจจัยที่ใช้ในการพยากรณ์การระบาดของโรคไปใช้เลือดออกดังนี้

1.1.1 ปัจจัยด้านลักษณะทางประชากรคือ ภูมิคุ้มกัน, อาชีพ, อุณหภูมิในร่างกาย, ปริมาณน้ำในร่างกาย และโรคประจำตัว

1.1.2 ปัจจัยด้านลักษณะของสภาพแวดล้อมคือ อุณหภูมิ, ปริมาณน้ำฝน, ความชื้นสัมพัทธ์, จำนวนผู้ป่วยโรคไปใช้เลือดออก, จำนวนผู้ป่วยไข้แดงกี, ลักษณะภูมิศาสตร์, อัตราแวงลง, ความสูงจากระดับน้ำทะเล, และฤดูกาล

ผู้วิจัยได้เปรียบเทียบปัจจัยที่ใช้ในการพยากรณ์การระบาดของโรคไปใช้เลือดออก ระหว่างงานวิจัยของนักวิจัยหลายๆ ท่านกับข้อมูลที่ผู้วิจัยใช้ในการพยากรณ์ ดังตาราง 27

ตาราง 27 แสดงการเปรียบเทียบปัจจัยที่ใช้ในการพยากรณ์โรคไปใช้เลือดออกระหว่างงานวิจัยอื่นๆ และงานวิจัยที่นำเสนอ

| ปัจจัยที่ใช้ในการพยากรณ์โรคไปใช้เลือดออก | ปัจจัยที่ใช้สำหรับงานวิจัยที่นำเสนอ |
|--|-------------------------------------|
| 1. อุณหภูมิ                              | 1. อุณหภูมิ                         |
| 2. จำนวนประชากร                          | 2. จำนวนประชากร                     |
| 3. เพศ                                   | 3. ปริมาณน้ำฝน                      |
| 4. อายุ                                  | 4. ความชื้นสัมพัทธ์                 |
| 5. อาชีพ                                 | 5. จำนวนผู้ป่วยโรคไปใช้เลือดออก     |

### ตาราง 27 (ต่อ)

| ปัจจัยที่ใช้ในการพยากรณ์โรคไข้เลือดออก | ปัจจัยที่ใช้สำหรับงานวิจัยที่นำเสนอ             |
|--|---|
| 6.อุณหภูมิในร่างกาย                    | 6.อัตราแวงลง                                    |
| 7.ปริมาณน้ำในร่างกาย                   | 7.อัตราการติดเชื้อ Dengue ของยุงลายตัวเมีย      |
| 8.โรคประจำตัว                          | 8.อัตราการติดเชื้อ Dengue ของลูกน้ำยุงลาย       |
| 9.ปริมาณน้ำฝน                          | 9.อัตราการติดเชื้อ Dengue ของยุงลายตัวเมีย      |
| 10.ความชื้นสัมพัทธ์                    | 10. อัตราการติดเชื้อ Dengue ชนิดต่างๆ ในผู้ป่วย |
| 11.จำนวนผู้ป่วยโรคไข้เลือดออก          |   |
| 12.จำนวนผู้ป่วยไข้เดงกี                |   |
| 13.ลักษณะภูมิศาสตร์                    |   |
| 14.อัตราแวงลง                          |   |
| 15.ความสูงจากระดับน้ำทะเล              |   |
| 16.ฤดูกาล                              |   |

จากการบทหวานวรรณกรรมผลงานวิจัยของนักวิจัยหลายๆ ผู้วิจัยได้ทำการเปรียบเทียบ ปัจจัยที่ใช้ในการพยากรณ์โดยใช้จำนวนผู้ป่วยเป็นตัวแปรตาม ส่วนตัวแปรต้นที่ใช้ในการพยากรณ์ การระบาดของโรคไข้เลือดออกกันนั้น นักวิจัยส่วนใหญ่ใช้ปัจจัยเพียงไม่กี่ปัจจัยในการพยากรณ์ อาทิ เช่น อุณหภูมิกับปริมาณฝน หรือจำนวนประชากรกับฤดูกาล

ดังนั้นในการวิจัยปัจจัยในการสร้างแบบจำลองเพื่อการพยากรณ์การระบาดโรค ไข้เลือดออกนี้มีสมมติฐานสำคัญคือการใช้ปัจจัยใหม่ได้แก่ อัตราการติดเชื้อของยุงลาย, ลูกน้ำ และ อัตราผู้ป่วยที่สงสัยว่าจะติดเชื้อจากผลตรวจน้ำเหลืองของผู้ป่วย เพื่อให้การพยากรณ์การระบาด ของโรคไข้เลือดออกมีความถูกต้องแม่นยำ และมีความน่าเชื่อถือในการพยากรณ์ ทั้งนี้จากการ ตรวจสอบเบื้องต้นพบว่า จำนวนยุงลายที่ติดเชื้อแดงกีชนิดที่ 1 และชนิดที่ 3 มีปริมาณสูง ซึ่งจะมี จำนวนผู้ป่วยโรคไข้เลือดออกสูงตามไปด้วย นอกจากนี้ยังสอดคล้องกับผลงานวิจัยของ จักรวาล ชุมภูศรี และคณะ (Chompoosri, J., et al., 2012) ที่พบว่าจำนวนผู้ป่วยไข้เลือดที่ติดเชื้อ Dengue ซีโรทัยปี 1 และ Dengue ซีโรทัยปี 3 มีมากกว่าซีโรทัยปี 2 และ 4

1.2 ผู้วิจัยได้ทำการศึกษาวิธีการเก็บข้อมูลจากแหล่งข้อมูลต่างๆ เพื่อนำมาวิเคราะห์ ถึงความน่าเชื่อถือของวิธีการเก็บข้อมูลต่างๆ จากแหล่งข้อมูลต่างๆ เพื่อที่จะนำข้อมูลนั้นมาใช้ใน

การพยากรณ์การศึกษาปัจจัยในการสร้างแบบจำลองเพื่อการพยากรณ์การระบาดโรคไข้เลือดออก  
ดังตาราง 28

ตาราง 28 แสดงข้อมูล แหล่งข้อมูล และเครื่องมือที่ใช้ในการเก็บข้อมูล

| ข้อมูล                                | แหล่งข้อมูล                 | เครื่องมือหรือวิธีเก็บข้อมูล   |
|---------------------------------------|-----------------------------|--|
| 1. อุณหภูมิ                           | กรมอุตุนิยมวิทยา            | ใช้เครื่องมือไซโคลมิเตอร์ (Dry-Wet Bulbs psychrometer) ในการวัดมีหน่วยเป็นองศาเซลเซียส   |
| 2. จำนวนประชากร                       | กรมการปกครอง                | เก็บข้อมูลจำนวนประชากรรายตำบล รายอำเภอ และรายจังหวัด                                     |
| 3. ปริมาณน้ำฝน                        | กรมอุตุนิยมวิทยา            | ใช้เครื่องวัดฝนแบบเก้าตัว ในการวัด มีหน่วยเป็นมิลลิเมตรต่อวัน                            |
| 4. ความชื้นสัมพัทธ์                   | กรมอุตุนิยมวิทยา            | ใช้เครื่องเอนกโน่ไฮโกรgraf (Thermo-Hygrograph) ในการวัดมีหน่วยเป็นร้อยละ (%)             |
| 5. จำนวนผู้ป่วยโรคไข้เลือดออก         | สำนักงานงานระบบวิทยา        | ระบบ ร. 506 สธ.  |
| 6. อัตราแรงลม                         | กรมอุตุนิยมวิทยา            | ใช้เครื่องวัดความเร็วลม (Wind Speed Measurement) ในการวัดมีหน่วยเป็นกิโลเมตรต่อชั่วโมง   |
| 7. อัตราการติดเชื้อของลูกน้ำ洋洋烈แยกตาม | รศ.ดร.นพ.เดช ศิริยะ เศรียรา | นำยุงลายตัวเต็มวัยและลูกน้ำ洋洋มาตรวจหาเชื้อตัวอย่างโดยวิธี RT-PCR โดยวิธี semi-nested PCR |

## 2. นำผลการทบทวนวรรณกรรมมาวิเคราะห์เบื้องต้นจากข้อมูลที่ได้ศึกษา รวมไว้ดังนี้

2.1 จำนวนยุงลายที่ติดเชื้อมีมากที่สุดในฤดูร้อน ซึ่งมีความสัมพันธ์กับจำนวนของผู้ป่วยในฤดูฝน หมายความว่าหากปีใดพบจำนวนยุงลายที่ติดเชื้อมาก ปีนั้นจะมีจำนวนผู้ป่วยโรคไข้เลือดออกแพร่ผันตวงศ์กับจำนวนยุงลายที่ติดเชื้อด้วยเห็นกัน ดังนั้นผู้วิจัยจึงมีสมมติฐานว่าจำนวนยุงลายที่ติดเชื้อสามารถใช้เป็นการศึกษาปัจจัยในการสร้างแบบจำลองเพื่อการพยากรณ์การระบาดโรคไข้เลือดออกได้อย่างมีประสิทธิภาพ อย่างไรก็ตามงานวิจัยจักรวาล ชมนภศรี และคณะ (Chompoosri, et al. 2012) ได้ข้อสรุปว่าในฤดูร้อนนี้มีอัตราการกัดของยุงลายต่อหน่วยเวลา (นาที) สูงกว่าฤดูอื่นๆ

2.2 จำนวนผู้ป่วยไข้เลือดออกสูงสุดอยู่ในฤดูฝน สำนักนิเทศฐานว่าเนื่องจากยุงลายที่ติดเชื้อใช้ระยะเวลาในการพักตัวและเจริญเติบโต และออกหากินในช่วงฤดูฝนพอดี จึงทำให้เกิดการระบาดในช่วงฤดูฝนสูงกว่าฤดูร้อน และยังพบอีกว่าจำนวนยุงลายตัวเมียในฤดูฝนมีมากกว่าฤดูอื่นๆ ซึ่งสอดคล้องกับข้อเท็จจริงที่ว่ายุงตัวเมียเท่านั้นที่กัดคน และเป็นสาเหตุสำคัญที่ทำให้เกิดการระบาดของโรค

2.3 ชนิดของเชื้อ Dengue ที่พบมากที่สุดคือ Dengue 1 และ 3 ผู้วิจัยตั้งสมมติฐานว่าอาจจะใช้เป็นข้อมูลสำคัญเพื่อการศึกษาปัจจัยในการสร้างแบบจำลองเพื่อการพยากรณ์การระบาดโรคไข้เลือดออกได้ นอกจากอุณหภูมิ ปริมาณน้ำฝน หรือจำนวนผู้ป่วย นอกเหนือนี้ยังสอดคล้องกับผลงานวิจัยของ จักรวาล ชมนภศรี และคณะ (Chompoosri, et al., 2012) ที่ว่าจำนวนผู้ป่วยไข้เลือดที่ติดเชื้อ Dengue 1 และ 3 มีมากกว่าเชื้อที่รายปี 2 และ 4

## 3. การทำเหมืองข้อมูลและต้นแบบการพยากรณ์

ผู้วิจัยได้นำทฤษฎี CRISP-DM มาใช้ในการดำเนินการวิจัยการสร้างแบบจำลองเพื่อการพยากรณ์การระบาดโรคไข้เลือดออก มีขั้นตอนดังนี้

### 3.1 ทำความเข้าใจปัญหา (Business Understanding)

ขั้นตอนการทำความเข้าใจวัตถุประสงค์ของงานวิจัย และทำความเข้าใจเกี่ยวกับการสร้างแบบจำลองเพื่อการพยากรณ์การระบาดโรคไข้เลือดออก โดยระบุปัญหา ระบุปัจจัย และสภาวะแวดล้อมที่ทำให้เกิดการระบาดของไข้เลือดออก ซึ่งมีกระบวนการย่อยดังนี้

#### 3.3.1 ความเข้าใจความต้องการของระบบโดยผู้วิจัยได้จัดทำแบบสอบถามผู้ให้ระบบดังนี้

- 1) ต้องการให้ระบบพยากรณ์จะเกี่ยวกับโรคใช้เลือดออก
    - 1.1) พยากรณ์แนวโน้มการระบาดของโรคใช้เลือดออก
  - 2) ต้องการให้ระบบรายงานจะเกี่ยวกับโรคใช้เลือดออก
    - 2.1) รายงานพยากรณ์การระบาดของโรคใช้เลือดออกแยกจังหวัด
    - 2.2) รายงานจำนวนผู้ป่วยโรคใช้เลือดออก แยกตามจังหวัด
- แยกอำเภอ
- 2.3) รายงานจำนวนผู้ป่วยโรคใช้เลือดออก โดยแยกแต่ละฤดูกาล (ฤดูร้อน, ฤดูฝน และฤดูหนาว) แยกจังหวัดเปรียบเทียบจำนวนประชากรต่อแสนคนในแต่ละจังหวัด
  - 2.4) รายงานการพยากรณ์ โดยเปรียบเทียบจำนวนผู้ป่วยต่อจำนวนประชากรต่อแสนคนในแต่ละอำเภอ

### 3.2 ทำความเข้าใจข้อมูล (Data Understanding)

จากการสอบถามข้อมูลเบื้องต้น และจากการวิจัยของที่ปรึกษาโครงการวิจัยคือ รศ.นพ. เผ็ดž ศิริยะเสถียร พบร่วมกับจังหวัดที่มีข้อมูลครบถ้วนได้แก่ นครปฐม ราชบุรี และสมุทรสาคร ดังนั้นขอบเขตการวิจัยนี้ผู้วิจัยจะใช้ข้อมูลของ 3 จังหวัด ซึ่งประกอบด้วย 8 อำเภอ

ดังกล่าวเป็นต้นแบบในการสร้างแบบจำลองเพื่อการพยากรณ์การระบาดโรค ใช้เลือดออก อย่างไรก็ตามระบบจะถูกออกแบบไว้เพื่อรองรับการเพิ่มข้อมูลในอนาคต (Scalability) หากจะขยายระบบเพื่อพยากรณ์การระบาดในจังหวัดอื่นๆ ก็สามารถทำได้โดยการเพิ่มข้อมูลของ ปัจจัยต่างๆ ที่ใช้ในการพยากรณ์ของจังหวัดนั้นๆ ให้ครบถ้วน ระบบก็จะสามารถสร้างโมเดล การพยากรณ์ได้ใหม่อย่างอัตโนมัติ

#### 3.2.1 ขอบเขตด้านข้อมูล

แหล่งข้อมูลที่จะนำมาใช้ในการเป็นข้อมูลเข้า (input) ของระบบ สามารถ รวบรวมจากแหล่งข้อมูลที่นำเข้าถือในประเทศไทย ได้แก่

- 1) กรมอุตุนิยมวิทยา ให้ข้อมูลด้านภูมิอากาศ อุณหภูมิ ความชื้นสัมพัทธ์ ปริมาณน้ำฝน
- 2) กองระบบวิทยา กระทรวงสาธารณสุข ให้ข้อมูลเกี่ยวกับ จำนวนผู้ป่วยในแต่ละเดือน ย้อนหลังเป็นเวลาอย่างน้อย 5 ปี
- 3) งานวิจัยที่เกี่ยวข้องของ รศ.นพ. เผ็ดž ศิริยะเสถียร เช่น อัตราการติดเชื้อของยุงลายในพื้นที่ 3 จังหวัด และบางอำเภอในแต่ละจังหวัด

4) สมติฐานการวิจัยที่ตั้งไว้โดยที่เกี่ยวข้องกับงานวิจัยของรองศาสตราจารย์ ดร.แพ็ค ศรียะเสถียร คืออัตราการติดเชื้อของยุงลายมีผลต่อแนวโน้มการระบาดของโรคไข้เลือดออก ซึ่งเป็นปัจจัยที่ไม่เคยถูกนำมาใช้เป็นข้อมูลในการสร้างโมเดลการพยากรณ์โรคไข้เลือดออกมาก่อน ซึ่งเป็นปัจจัยใหม่ (New Factor) โดยมีการเก็บข้อมูลอย่างเป็นระบบโดยทำการเก็บตัวอย่างยุงในแต่ละฤดูและมีการตรวจหาเชื้อไข้เลือดออกโดยวิธี RT-PCR และมีความน่าเชื่อถือสูงที่สุดในปัจจุบันและในประเทศไทย

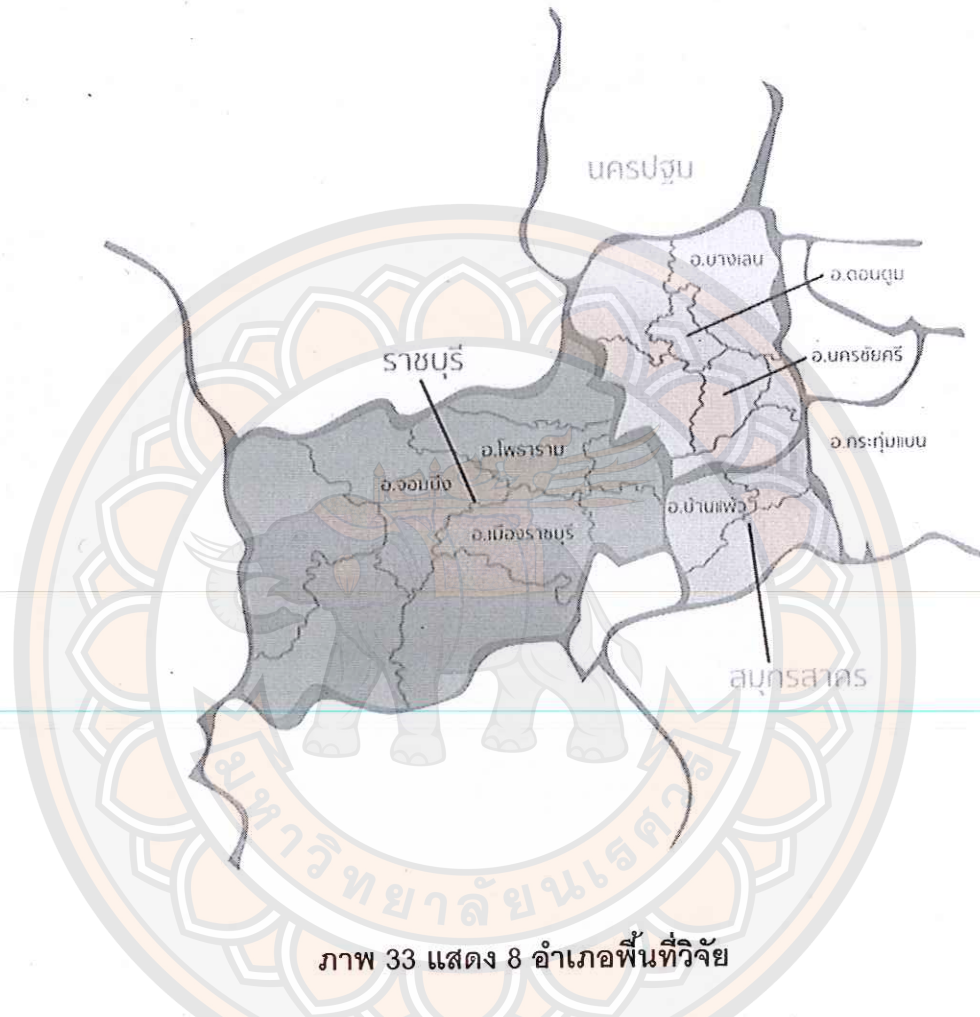
### 3.2.2 ขอบเขตด้านพื้นที่

จังหวัดราชบุรี, นครปฐม และสมุทรสาคร



ภาพ 32 แสดง 3 จังหวัดพื้นที่วิจัย

จากภาพ 32 แสดงพื้นที่ในการทำวิจัยซึ่งประกอบด้วย จังหวัดนครปฐม, จังหวัดราชบุรี และจังหวัดสมุทรสาคร ซึ่งเป็นพื้นที่ที่มีข้อมูลอัตราการติดเชื้อโควิดให้เลือกออกของลูกน้ำและยุงลาย



จากภาพ 33 แสดงอำเภอที่ใช้เป็นต้นแบบในการทำวิจัย ซึ่งเป็นอำเภอที่มีข้อมูลอัตราการติดเชื้อโควิดให้เลือกออกของลูกน้ำและยุงลาย

### 3.2.3 ขอบเขตด้านการทำงานของระบบ

- 1) ระบบสามารถพยากรณ์แนวโน้มในการเกิดโรคระบาดในพื้นที่สำรวจได้โดยระบบสามารถแสดงข้อมูลในภาพรวมและข้อมูลเชิงลึกให้กับผู้ใช้เพื่อประกอบการตัดสินใจในเรื่องต่างๆ ที่เกี่ยวข้องได้ โดยการแสดงผลนี้มีทั้งส่วนที่เป็นตาราง เพื่อให้ข้อเท็จจริง (Fact) กับผู้ใช้และแสดงเป็นแนวโน้มต่างๆ โดยใช้กราฟ (Graph) รูปแบบต่างๆ ได้

- 2) ระบบสามารถเปลี่ยนเที่ยบอัตราการระบาดของแต่ละพื้นที่ได้

### 3.3 เตรียมข้อมูล (Data preparation)

การ Data cleansing คือการจัดการข้อมูลที่ผิดพลาด เช่น ข้อมูลบางส่วนหายไป หากไม่มีการทำขั้นตอนนี้จะทำให้ไม่เดลกการพยากรณ์มีประสิทธิภาพที่ไม่ดีเท่าที่ควร ขั้นตอนนี้ถือเป็นขั้นตอนที่สำคัญและใช้เวลามากที่สุดของการทำโครงการวิจัยนี้ หลักการทำ Data cleansing (Savitri and Laksmiwati, 2011) ข้อมูลในโครงการวิจัยนี้มีหลักการคือ หากเป็นตัวเลขระบบจะเติมข้อมูลที่หายไปโดยใช้ค่าเฉลี่ย (Average) ของข้อมูลใน例外หรือบิวต์นั่งๆ และหากเป็นตัวอักษร ระบบจะดูจากข้อมูลที่มีความถี่สูงสุด และเติมข้อมูลเข้าไปในช่องว่าง ข้อมูลที่ต้องทำ Data cleansing ในงานวิจัยนี้ได้แก่ ปริมาณน้ำฝน จำนวนผู้ป่วยบางพื้นที่ฯ ไม่ได้มีการเก็บข้อมูล อัตราการติดเชื้อของยุงลาย เนื่องจากข้อมูลไม่ได้มีการเก็บอย่างครบถ้วน จึงไม่มีการทำ data cleansing

เมื่อตรวจสอบความถูกต้องของข้อมูลเสร็จเรียบร้อยแล้ว ขั้นตอนถัดไปของ การจัดเตรียมข้อมูลคือการแปลงข้อมูลให้อยู่ในรูปแบบที่พร้อมจะประมวลผลหรือสร้างต้นแบบ การพยากรณ์ ดังนั้นข้อมูลที่เก็บรวบรวมได้ถูกนำมาจัดเก็บในรูปแบบคลังข้อมูล ซึ่งประกอบด้วย ตารางต่างๆ ดังต่อไปนี้

1. ข้อมูลอำเภอ (DimDistrict)
2. ข้อมูลตำบล DimTambon)
3. ข้อมูลลักษณะภูมิประเทศ (DimGeoGraphy)
4. ข้อมูลเวชภัณฑ์ (DimMedicalSupplies)
5. ข้อมูลจังหวัด (DimProvince)
6. ข้อมูลภูมิภาค (DimRegional)
7. ข้อมูลเวลา (DimTime)
8. ข้อมูลผู้ใช้ (DimUser)
9. ข้อมูลงบประมาณ (DimBudget)
10. ข้อมูลจำนวนผู้ป่วยที่เสียชีวิต (DimDead)
11. ข้อมูลอัตราการป่วยตาย (FactDeadRateKey)
12. ข้อมูลชนิดเชื้อของโรคไข้เลือดออก (DimDengueType)
13. ข้อมูลความชื้นสัมพัทธ์ (DimHumidity)
14. ข้อมูลอัตราการติดเชื้อของยุงและลูกน้ำยุงลาย (DimLarvae)
15. ข้อมูลจำนวนบุคลากรทางการแพทย์ (DimMedicalPersonnel)

16. ข้อมูลจำนวนผู้ป่วยโรคไข้เลือดออก (DimPatientRageAge)

17. ข้อมูลจำนวนประชากร (DimPopulation)

18. ข้อมูลจำนวนสถานที่รักษา (DimPrimaryCareUnit)

19. ข้อมูลปริมาณฝน (DimRain)

20. ข้อมูลอุณหภูมิ (DimTemperature)

21. ข้อมูลอัตราแรงลม (DimWind)

22. ข้อมูลอัตราการป่วยโรคไข้เลือดออก (FactDengueFever)

### 3.4 สร้างแบบจำลอง (Modeling)

3.4.1 ขั้นตอนการวิเคราะห์ความสัมพันธ์ของปัจจัยต่างๆ ต่อการอัตราการระบาดของโรคไข้เลือดออก โดยค้นหาปัจจัยที่มีความสำคัญ (Significant) ต่ออัตราการระบาดของโรคไข้เลือดออก ( $P\text{-value} \leq 0.05$ )

3.4.2 ขั้นตอนการสร้างแบบจำลองเพื่อนำไปวิเคราะห์ข้อมูลด้วยเทคนิคหนึ่งข้อมูล ทั้งนี้ผู้วิจัยได้ใช้เทคนิค Microsoft Neural Network ในการสร้างต้นแบบทำนาย (Prediction model)

### 3.5 ประเมิน (Evaluate)

การประเมินประสิทธิภาพของตัวแบบพยากรณ์โดยการตรวจสอบค่าความผิดพลาดของต้นแบบการพยากรณ์ (Error rate) จากข้อมูลจริงเพื่อเป็นตัวปัจจัยความน่าเชื่อถือของ Model ที่ได้ ในการวิจัยนี้ใช้เทคนิค Mean Absolute Percentage Error (MAPE) ในการประเมินประสิทธิภาพตัวแบบพยากรณ์

### 3.6 การนำไปใช้ (Deployment)

เป็นการนำผลลัพธ์หรือองค์ความรู้ที่ได้จากการวิเคราะห์ข้อมูลด้วยเทคนิคข้อมูล “ไปใช้ประโยชน์” ตัวอย่างเช่น การรายงานพื้นที่เสี่ยงต่อการระบาดของไข้เลือดออกเพื่อเป็นการป้องกันและการเฝ้าระวังการระบาดของโรคได้ทันท่วงทีและรวดเร็ว เป็นต้น

จากวิธีดำเนินงานวิจัยการศึกษาปัจจัยในการสร้างแบบจำลองเพื่อการพยากรณ์การระบาดโรคไข้เลือดออก ผู้วิจัยใช้หลักการเหมือนข้อมูล ด้วยเทคนิคโครงข่ายประสาทเทียมแบบการเรียนรู้แบบย้อนกลับ โดยมีการประเมินประสิทธิภาพของโมเดล ดังจะกล่าวในบทต่อไป

## สรุปเนื้อหาประจำบท

การวิเคราะห์และการออกแบบระบบนั้นผู้วิจัยได้ออกแบบสำหรับรองรับข้อมูลที่มีขนาดใหญ่โดยใช้ฐานข้อมูล SQL Server และใช้วิธีการออกแบบของคลังข้อมูล โดยออกแบบให้ฐานข้อมูลให้อยู่ในรูปแบบดาว (Star Schema) เพื่อรัดเร็วในการประมวลผลข้อมูล โดยผู้วิจัยได้นำทฤษฎี CRISP-DM มาใช้ในการดำเนินการวิจัยเพื่อให้ระบบตอบสนองความต้องการของผู้ใช้งานให้มากที่สุด ดังจะกล่าวผลการวิจัยในบทต่อไป



## บทที่ 4

### ผลการวิจัย

จากบทที่ 3 ได้แสดงถึงการวิเคราะห์และการออกแบบระบบ โดยในบทนี้จะกล่าวถึงผลการทดลองการศึกษาปัจจัยในการสร้างแบบจำลองเพื่อการพยากรณ์การระบาดโรคไข้เลือดออก ซึ่งในงานวิจัยส่วนใหญ่จะใช้ข้อมูลอุณหภูมิ, ปริมาณน้ำ และความชื้นในพยากรณ์แนวโน้มการระบาดของโรคไข้เลือดออก แต่ในการศึกษาปัจจัยในการสร้างแบบจำลองเพื่อการพยากรณ์ การระบาดของโรคไข้เลือดออกนี้ ผู้วิจัยมีข้อมูลที่สำคัญประการหนึ่งที่นำเสนอดังต่อไปนี้ คือการเก็บข้อมูลของลูกน้ำยุงลายและจำนวนยุงตัวเมียและตัวผู้ที่ติดเชื้อ Dengue นอกจากนี้ยังใช้ข้อมูลเกี่ยวกับอัตราการติดเชื้อ Dengue ในผู้ป่วยซึ่งอาจจะเป็นอีกตัวแปรหนึ่งที่แปรผันตรงกับจำนวนผู้ป่วยไข้เลือดออก ดังนั้น จากข้อมูลดังกล่าวจึงนำมาเปรียบเทียบสมมติฐานการวิจัยดังนี้

**สมมติฐานที่ 1 :** อัตราการติดเชื้อยุงลาย, อัตราการติดเชื้อยุงน้ำ และอัตราผู้ป่วยโรคไข้เลือดออกแยกตามอายุมีความสัมพันธ์โดยตรงต่ออัตราผู้ป่วยโรคไข้เลือดออก

โดยอัตราการติดเชื้อยุงตัวเมียและอัตราการติดเชื้อยุงลายเป็นตัวแปรสำคัญในการพยากรณ์แนวโน้มการระบาดของโรคไข้เลือดออกในอนาคต ที่มีประสิทธิภาพในการช่วยเพิ่มความถูกต้องในการพยากรณ์การระบาด ซึ่งการสร้างต้นแบบการพยากรณ์แนวโน้มการระบาดของโรคไข้เลือดออกในอนาคต จะต้องมีการตรวจสอบประสิทธิภาพของต้นแบบดังกล่าว ว่ามีความเหมาะสมหรือไม่ หากต้นแบบการพยากรณ์มีความเหมาะสมจะต้องมีค่าความผิดพลาดไม่สูงโดยที่สามารถยอมรับได้

**สมมติฐานที่ 2 :** ปัจจัยใหม่ช่วยเพิ่มประสิทธิภาพการพยากรณ์ โดยมีค่า error น้อยลง โดยต้นแบบการพยากรณ์มีค่าความผิดพลาดไม่สูง เช่น ไม่เกิน 10 และความถูกต้องในการพยากรณ์ไม่น้อยกว่า 70% (Predict probability)

ผลการทดลองการค้นหาปัจจัยใหม่เพื่อเพิ่มประสิทธิภาพของการพยากรณ์

จากสมมติฐานที่ 1 อัตราการติดเชื้อยุงตัวเมียและอัตราการติดเชื้อยุงลาย เป็นตัวแปรสำคัญในการพยากรณ์แนวโน้มการระบาดของโรคไข้เลือดออกในอนาคต ดังนั้น การทดลองในส่วนนี้คือการตรวจสอบสมมติฐานดังกล่าว โดยนำปัจจัยต่างๆ ที่มีผลต่อการระบาด

ของโรคไข้เลือดออกมีความสำคัญมากที่ความสัมพันธ์ (Significant) ของปัจจัย (Factors) ต่างๆ ต่ออัตราการระบาดของโรคไข้เลือดออก ซึ่งแบ่งได้เป็น 2 ประเภท "ได้แก่"

1. ตัวแปรต้น (X) "ได้แก่ อัตราการติดเชื้อของลูกน้ำยุงลาย, อัตราการติดเชื้อของยุงตัวเมียผู้, อัตราการติดเชื้อของยุงตัวเมีย, อัตราการติดเชื้อชนิดต่างๆ, อุณหภูมิ, ความชื้นสัมพัทธ์, ปริมาณน้ำฝน, อัตราแรงลม, จำนวนประชากร และช่วงอายุของผู้ป่วยโรคไข้เลือดออก เป็นต้น"

2. ตัวแปรตาม (Y) "ได้แก่ อัตราความเสี่ยงต่อการระบาดของโรคไข้เลือดออก (ເຟ້າຮະວັງກາຮະບາດ (Low), ເສີຍງຕ່ອກກາຮະບາດ (High))"

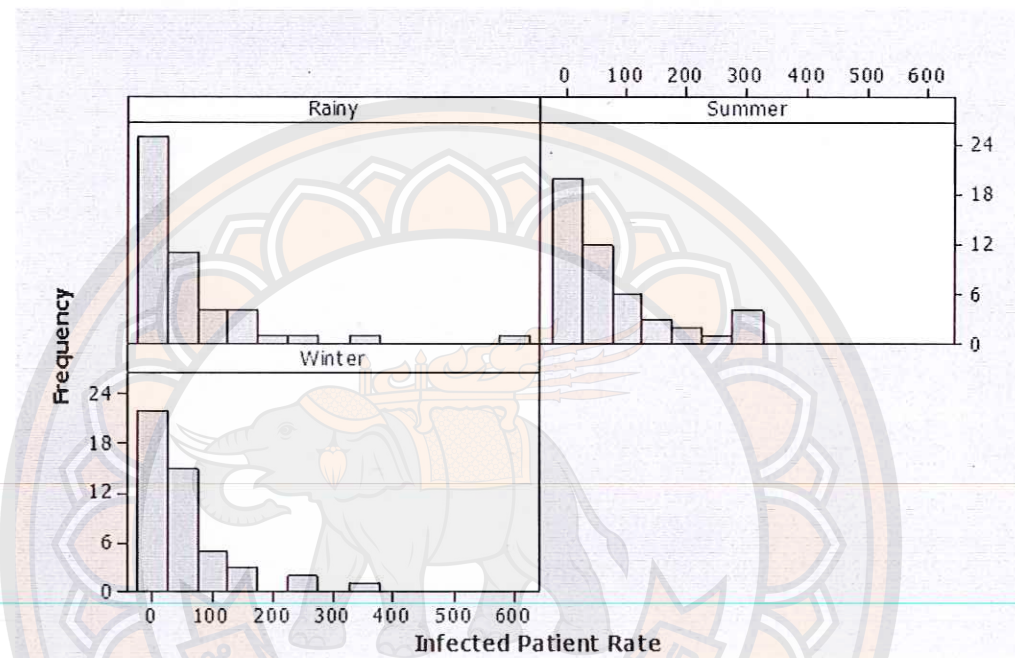
โดยผู้วิจัยทำการศึกษาปัจจัยต่างๆ ที่มีผลต่อการระบาดของโรคไข้เลือดออกว่าปัจจัยใดมีความสำคัญ (Significant) ต่อการระบาดของโรคมากกว่ากัน วิธีการทดลองในหัวข้อนี้คือการนำปัจจัยต่างๆ (ตัวแปรต้น) มาทดลองการวิเคราะห์ถึงความสำคัญต่อการระบาดของโรคไข้เลือดออก (ตัวแปรตาม) การวิเคราะห์ผู้วิจัยเทคนิคการวิเคราะห์แบบไคสแควร์ (Chi-Square) พร้อมกับตรวจสอบความเหมาะสมของโมเดล โดยปัจจัยต่างๆ ที่นำมาวิเคราะห์นี้ได้แก่ ช่วงอายุที่ป่วย (Range Age) อัตราการติดเชื้อแดงกีวีรัสชนิดที่ DEN1-DEN4 (Dengue type) อัตราการติดเชื้อของยุงลายตัวเมีย (Female Mosquito Inflection Rate) อัตราติดเชื้อของยุงลายตัวผู้ (Male Mosquito Inflection Rate) อัตราติดเชื้อของลูกน้ำยุงลาย (Aegypti Inflection Rate) ค่าเฉลี่ยปริมาณน้ำฝน (Average Rain) ค่าเฉลี่ยอุณหภูมิ (Average Temperature) ค่าเฉลี่ยอัตราแรงลม (Average Wind) จำนวนประชากร (Population Quantity) และค่าเฉลี่ยความชื้นสัมพัทธ์ (Average Humidity) ดังผลการวิเคราะห์แสดงดังตาราง 29

ตาราง 29 แสดงผลการวิเคราะห์ความสัมพันธ์ของปัจจัยต่างๆ ต่ออัตราการระบาดของโรคไข้เลือดออก

| Variables | LR <sup>a</sup> | p-value |
|-----------|-----------------|---------|
| Season    | 5.50            | 0.064   |
| Fmosquito | 3.53            | 0.060   |
| Mmosquito | 2.60            | 0.107   |
| AegRate   | 1.14            | 0.285   |

<sup>a</sup> likelihood ratio statistics

จากผลการทดลองในตาราง 29 ผู้วิจัยได้ทำการเรียงลำดับปัจจัยที่มีผลต่อตัวแปรตามคือ อัตราการระบาดของโรคไข้เลือดออกมากไปน้อย พบว่ามี 2 ปัจจัยที่มีความสำคัญ (Significant) ต่ออัตราการระบาดของโรค ได้แก่ อัตรายุงลงตัวเมียที่ติดเชื้อและฤดูกาล ดังภาพ 34



ภาพ 34 Histogram แสดงอัตราผู้ป่วยไข้เลือดออกระหว่างปี 2550-2555 โดยจำแนกตามฤดูกาล

จากภาพ 34 พบว่าความถี่ในการกัดของยุงลงตัวเมียจะพบมากที่สุดในฤดูร้อน และพบอัตราการระบาดของผู้ติดเชื้อโรคไข้เลือดออกหรือผู้ป่วยมากที่สุดคือฤดูฝน .

ผลการทดลองการวิเคราะห์ความสมมูลของปัจจัย (Significant) ด้วยเทคนิคคิสแคร์ (Chi-Square) แสดงดังตาราง 30

ตาราง 30 แสดงผลการวิเคราะห์ความสัมพันธ์ของปัจจัย(Significant)ด้วยเทคนิคไชสแคร์ (Chi-Square)

| Sequence | Factors                      | Chi-square | P-value   |
|----------|------------------------------|------------|-----------|
| 1        | [< 1]                        | 34.777     | < 0.0001* |
| 2        | [1 +]                        | 30.917     | < 0.0001* |
| 3        | [2+]                         | 72.311     | < 0.0001* |
| 4        | [3+]                         | 64.226     | < 0.0001* |
| 5        | [4+]                         | 76.807     | < 0.0001* |
| 6        | [5+]                         | 94.837     | < 0.0001* |
| 7        | [6+]                         | 104.9      | < 0.0001* |
| 8        | [7 – 9]                      | 91.982     | < 0.0001* |
| 9        | [10 – 14]                    | 64.792     | < 0.0001* |
| 10       | [15 - 24]                    | 25.749     | < 0.0001* |
| 11       | [25 - 34]                    | 43.927     | < 0.0001* |
| 12       | [35 - 44]                    | 82.563     | < 0.0001* |
| 13       | [45 - 54]                    | 108.7      | < 0.0001* |
| 14       | [55 - 64]                    | 68.433     | < 0.0001* |
| 15       | [65up]                       | 32.933     | < 0.0001* |
| 16       | DEN1                         | 4.23       | 0.0376*   |
| 17       | DEN2                         | 0.966      | 0.326     |
| 18       | DEN3                         | 6.43       | 0.0482*   |
| 19       | DEN4                         | 0.140      | 0.708     |
| 20       | FemaleMosquitoInflectionRate | 5.064      | 0.024*    |
| 21       | MaleMosquitoInflectionRate   | 2.056      | 0.152     |
| 22       | AegyptiInflectionRate        | 11.100     | 0.0001*   |
| 23       | AverageHumidity              | 28.670     | < 0.0001* |
| 24       | AverageRainPerMonth          | 10.618     | 0.001*    |

ตาราง 30 (ต่อ)

| Sequence | Foctors                    | Chi-square | P-value   |
|----------|----------------------------|------------|-----------|
| 25       | AverageTemperature         | 19.505     | < 0.0001* |
| 26       | AverageWind                | 85.981     | < 0.0001* |
| 27       | DistrictPopulationQuantity | 17.703     | < 0.0001* |
| 28       | DEN12                      | 19.097     | < 0.0001* |
| 29       | DEN13                      | 18.482     | < 0.0001* |
| 30       | DEN14                      | 10.166     | 0.001*    |
| 31       | DEN23                      | 0.913      | 0.339     |
| 32       | DEN24                      | 3.009      | 0.083     |
| 33       | DEN34                      | 0.229      | 0.632     |
| 34       | DEN124                     | 2.351      | 0.125     |
| 35       | DEN134                     | 2.049      | 0.152     |
| 36       | DEN1234                    | 2.023      | 0.155     |
| 37       | DEN14                      | 10.166     | 0.001*    |

จากผลการทดลองวิเคราะห์ในตาราง 30 ปัจจัยที่มีผลต่อตัวแปรตาม (Y) คือ อัตราการระบาดของโรคไข้เลือดออกจาก พบร่วมปัจจัยใหม่ที่มีความสำคัญที่สูง (Significant) ต่ออัตราการระบาดของโรค (Ongruk, Siriyasatien, and Kesorn, 2014, pp.1457-1461) Statistical significant (P-value <= 0.05) ได้แก่ อัตราการติดเชื้อของยุงลายตัวเมีย (FemaleMosquitoInflectionRate), อัตราติดเชื้อของลูกน้ำยุงลาย (AegyptilInflectionRate), ช่วงอายุที่ป่วย (RangeAge) และอัตราการติดเชื้อแดงกีวีรัสชนิดที่ DEN1-DEN4 (Dengue type) ซึ่งสอดคล้องกับงานวิจัยของจกรวาล ชุมภูศรี และคณะ (Chompoosri, et al. 2012) ที่พบว่า จำนวนผู้ป่วยไข้เลือดที่ติดเชื้อ Dengue ชีโตร้ายปี 1 และ Dengue ชีโตร้ายปี 3 มีมากกว่าชีโตร้ายปี 2 และ 4

ซึ่งผู้วิจัยได้นำปัจจัย (Factors) ต่างๆ เหล่านี้มาทดลองวิเคราะห์หาค่าความสัมพันธ์ที่สำคัญ โดยใช้เทคนิคการวิเคราะห์การถดถอย (Regression Analysis) เพื่อวิเคราะห์ปัจจัยที่มีผลต่ออัตราการระบาดของโรคไข้เลือดออก ซึ่งผลสรุปดังตาราง 31

ตาราง 31 แสดงค่าความสัมพันธ์ของปัจจัยต่างๆ ด้วยวิธีฟังก์ชันเอกซ์โพเนนเชียลต่อการระบาด

| Parameter                    | exp(x) | P-value   |
|------------------------------|--------|-----------|
| [< 1]                        | 8.381  | < 0.0001* |
| [1 +]                        | 4.987  | < 0.0001* |
| [2+]                         | 7.634  | < 0.0001* |
| [3+]                         | 5.284  | < 0.0001* |
| [4+]                         | 4.665  | < 0.0001* |
| [5+]                         | 5.626  | < 0.0001* |
| [6+]                         | 5.052  | < 0.0001* |
| [7 – 9]                      | 2.219  | < 0.0001* |
| [10 – 14]                    | 1.663  | < 0.0001* |
| [15 - 24]                    | 1.606  | < 0.0001* |
| [25 - 34]                    | 2.088  | < 0.0001* |
| [35 - 44]                    | 2.355  | < 0.0001* |
| [45 - 54]                    | 4.201  | < 0.0001* |
| [55 - 64]                    | 5.564  | < 0.0001* |
| [65up]                       | 4.796  | < 0.0001* |
| DEN1                         | 5.034  | < 0.0001* |
| DEN2                         | 1.000  | 0.983     |
| DEN3                         | 8.517  | < 0.0001* |
| DEN4                         | 0.997  | 0.828     |
| FemaleMosquitoInflectionRate | 7.094  | < 0.0001* |
| MaleMosquitoInflectionRate   | 1.015  | < 0.0001* |
| AegyptiInflectionRate        | 3.991  | < 0.0001* |
| AverageHumidity              | 1.017  | < 0.0001* |
| AverageRainPerMonth          | 1.003  | 0.001*    |
| AverageTemperature           | 0.993  | 0.728     |
| AverageWind                  | 1.088  | < 0.0001* |

ตาราง 31 (ต่อ)

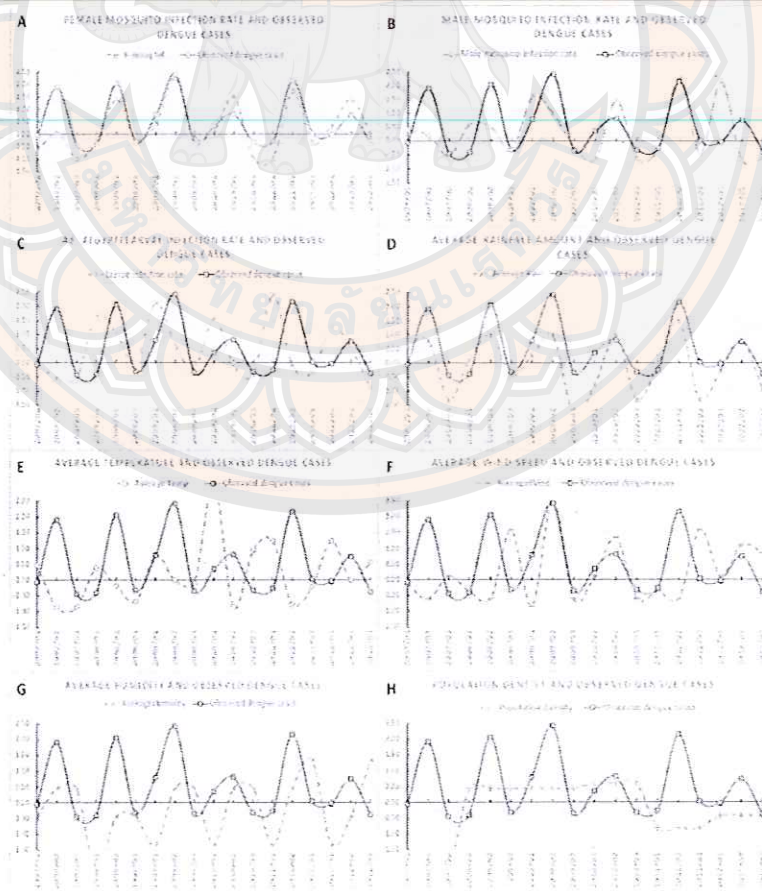
| Parameter                  | exp(x) | P-value   |
|----------------------------|--------|-----------|
| DistrictPopulationQuantity | 0.980  | < 0.0001* |
| DEN12                      | 1.093  | 0.002     |
| DEN13                      | 8.381  | < 0.0001* |
| DEN14                      | 1.574  | 0.002     |
| DEN23                      | 0.979  | 0.739     |
| DEN24                      | 1.875  | 0.027     |
| DEN34                      | 0.909  | 0.632     |
| DEN124                     | 1.889  | 0.131     |
| DEN134                     | 0.615  | 0.156     |
| DEN1234                    | 1.727  | 0.159     |
| DEN14                      | 1.574  | 0.002     |

จากตาราง 31 สรุปผลการทดสอบการวิเคราะห์เพื่อหาค่าความสัมพันธ์ ซึ่งให้เห็นว่า หาก ยุงลายตัวเมีย (FemaleMosquitoInflectionRate) มีอัตราการติดเชื้อเพิ่มขึ้นร้อยละ 1 จะทำให้ แนวโน้มความเสี่ยงต่อการระบาดของโรคไข้เลือดออกจะเพิ่มขึ้นเท่ากับ 7.094 เท่า โดยจากข้อมูล ในตาราง 30 ยังซึ่งให้เห็นว่ามีปัจจัย DEN3 และ DEN1 ซึ่งเป็นปัจจัยใหม่ที่ส่งผลต่อความเสี่ยงของ การระบาดของโรคไข้เลือดออกมากที่สุด เมื่อเทียบกับ DEN อื่นๆ ใน DEN4 มีผลต่ออัตราการ ระบาดของโรคไข้เลือดออกน้อยที่สุด ดังนั้น จึงให้เป็นฐานสำหรับการเปรียบเทียบกับ DEN อื่นๆ โดยที่ DEN3 มีความเสี่ยงต่อการระบาดของโรคไข้เลือดออกที่  $= 6.187$  เท่าเมื่อเทียบกับ DEN 4 และ DEN1 มีความเสี่ยงการระบาดของโรคไข้เลือดออกที่  $4.147$  เท่าเมื่อเทียบกับ DEN 4 หรือ ประมาณ  $4.0.32$  เท่า เมื่อเทียบกับ DEN2 ผลการทดสอบการวิเคราะห์ข้อมูลเพื่อหาความสัมพันธ์นี้ ตรงกับข้อเท็จจริงที่ยุงลายตัวเมียที่ติดเชื้อเป็นปัจจัยที่มีผลต่อการระบาดของโรคไข้เลือดออก มากที่สุด เนื่องจากยุงลายตัวเมียเท่านั้นที่ออกหากินและกัดคน ซึ่งหากจำนวนยุงลายตัวเมียมี อัตราการติดเชื้อสูงจะทำให้อัตราการระบาดของโรคสูงตามไปด้วย สำหรับ Dengue type ก็มี ความสัมพันธ์โดยตรงกับอัตราการระบาดของโรค เช่นกัน นั่นคือ DEN 1 จะมีอัตราการระบาดของ โรคไข้เลือดออกสูงกว่า DEN อื่นๆ เนื่องจากประเทศไทยมีอัตราการติดเชื้อจาก DEN 1 มากที่สุด

เทียบกับ DEN อื่นๆ ซึ่งสอดคล้องกับผลงานวิจัยของจักรวาล ชมภูศรี และคณะ (Chompoosri, et al., 2012) ดังนี้รูปได้ว่าสมมติฐานที่ 1 เป็นจริง

สำหรับปริมาณน้ำฝนเฉลี่ย, ความชื้นสัมพัทธ์เฉลี่ย, อุณหภูมิเฉลี่ย, จำนวนผู้ป่วย, จำนวนประชากรและอัตราความเร็วลมนั้น จากงานวิจัยของนักวิจัยหลายท่าน จะใช้ข้อมูลเหล่านี้ เป็นปัจจัย (Factors) สำคัญในการพยากรณ์การระบาดของโรคไข้เลือดออก แต่ในการทดลองนี้ ผู้วิจัยใช้ปัจจัยเหล่านี้เป็นปัจจัยพื้นฐานที่ใช้ร่วมในการพยากรณ์การแพร่ระบาดของ โรคไข้เลือดออก โดยใช้อัตราการติดเชื้อของลูกน้ำยุงลาย (Larvae) และชนิดของการติดเชื้อ (Dengue Type) เป็นปัจจัยหลักในการพยากรณ์

เมื่อนำมาพิจารณาความสัมพันธ์เฉพาะอัตราการติดเชื้อของยุงลายตัวเมียและอัตรา ผู้ป่วยที่พบในแต่ละจังหวัดพบว่ามีลักษณะของกราฟไปในทิศทางเดียวกันดังภาพ 35 ซึ่งเป็นข้อมูล ที่สนับสนุนผลการทดลองข้างต้นถึงความสัมพันธ์ของจำนวนยุงลายตัวเมียที่ติดเชื้อและจำนวน ผู้ป่วย ซึ่งแสดงแนวโน้มดังภาพ 35



ภาพ 35 แสดงอัตราขุ่นลายตัวเมียที่ติดเชื้อและอัตราผู้ป่วยต่อประชากรแสนคน

จากภาพ 35 สรุปการทดลองการศึกษาปัจจัยที่มีผลต่อการระบาดของโรคไข้เลือดออก ผู้วิจัยได้แบ่งปัจจัยที่มีความสัมพันธ์ต่อการระบาดของโรคไข้เลือดออก ได้เป็น 2 กลุ่มปัจจัย เพื่อใช้เป็นข้อมูลในการพยากรณ์อัตราแนวโน้มการระบาดของโรคไข้เลือดออก ได้ดังนี้

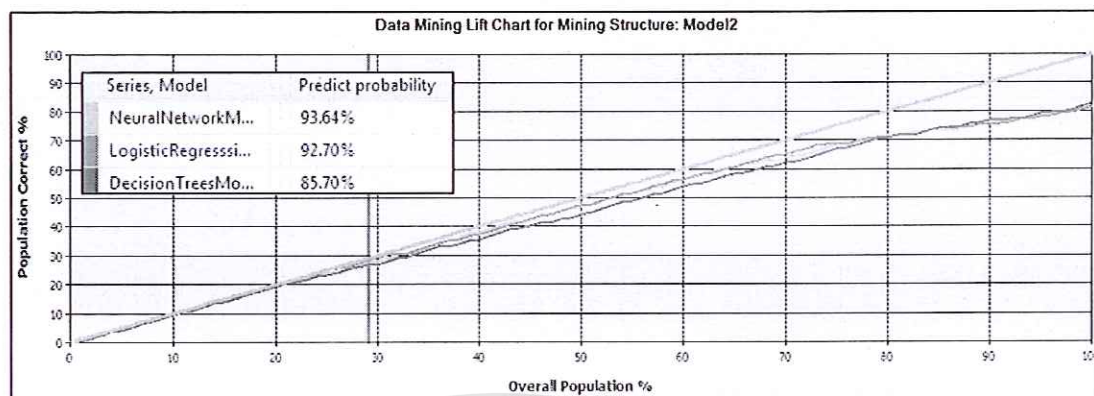
1. กลุ่มปัจจัยพื้นฐาน ได้แก่ อุณหภูมิเฉลี่ย, ปริมาณน้ำฝนเฉลี่ย, อัตราความเร็วลมเฉลี่ย, อัตราความชื้นสัมพัทธ์, จำนวนประชากร และจำนวนผู้ป่วยโรคไข้เลือดออก

2. กลุ่มปัจจัยใหม่ ได้แก่ อัตราผู้ป่วยโรคไข้เลือดออกแบ่งตามช่วงอายุ, อัตราการติดเชื้อโรคไข้เลือดออกของยุงลายตัวเมีย, อัตราการติดเชื้อโรคไข้เลือดออกของลูกน้ำยุงลาย, อัตราการติดเชื้อของยุงลายตัวผู้, และอัตราการติดเชื้อโรคไข้เลือดออกชนิดต่างๆ

#### การสร้างแบบจำลองเพื่อการพยากรณ์การระบาดโรคไข้เลือดออก

จากสมมติฐานที่ 2 : ปัจจัยใหม่ช่วยเพิ่มประสิทธิภาพการพยากรณ์ โดยมีค่า error น้อยลงโดยต้นแบบการพยากรณ์มีค่าความผิดพลาดไม่สูง เช่น ค่าความถูกต้องในการพยากรณ์ไม่น้อยกว่า 70% (Predict probability) ซึ่งการทดลองนี้เพื่อประเมินหาประสิทธิภาพ (Life chart) โดยการใช้วิธีทางระบบถุรกิจขั้นวิยะสำหรับการป้องกันและควบคุมโรคไข้เลือดออกโดยใช้ปัจจัยใหม่ ซึ่งผู้วิจัยได้จัดเตรียมข้อมูลที่เกี่ยวข้องกับการระบาดกับโรคไข้เลือดออกทั้งปัจจัยเดิมและปัจจัยใหม่ (Data Set) จำนวน 576 เรคคอร์ด (Record) โดยแบ่งข้อมูลออกเป็น 2 ชุด ได้แก่ ชุดฝึกสอน (Training Set) จำนวน 80% ของข้อมูล และชุดทดสอบ (Test Set) จำนวน 20% ของข้อมูลทั้งหมด เพื่อนำชุดข้อมูลไปทดสอบค่าความถูกต้องของการพยากรณ์ (Mining accuracy)

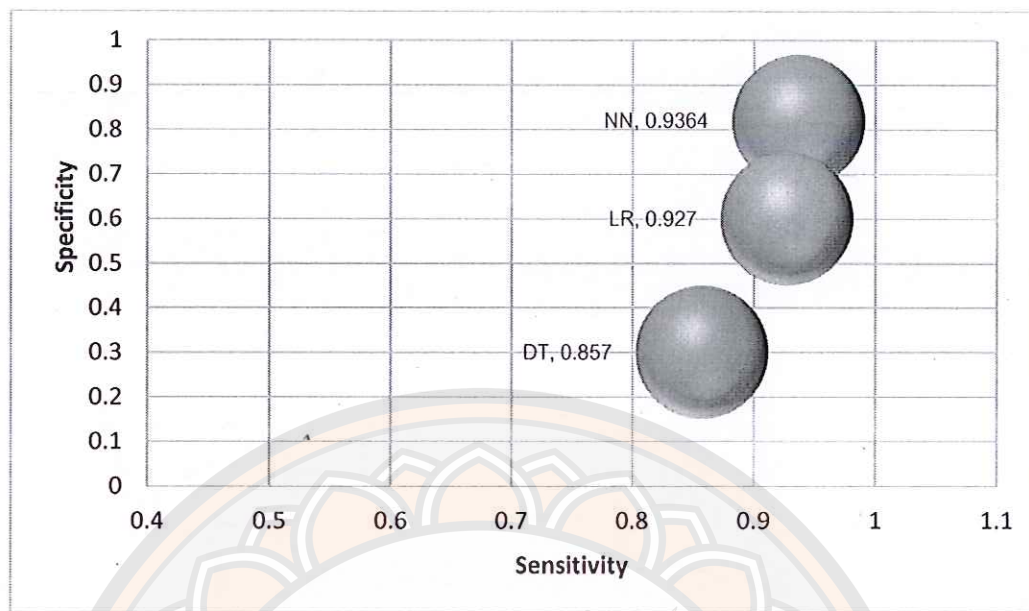
ในงานวิจัยนี้ ผู้วิจัยได้ทดลองสร้างแบบจำลองการพยากรณ์ด้วยเทคนิคเหมืองข้อมูล โครงข่ายประสาทเทียม (Neural Networks), เทคนิคเหมืองข้อมูลแบบต้นไม้ตัดสินใจ (Decision Trees) และเทคนิคเหมืองข้อมูลการวิเคราะห์การตัดต่อยโลจิสติก (Logistic Regression Analysis) ซึ่งผู้วิจัยได้เปรียบเทียบประสิทธิภาพการพยากรณ์ของแบบจำลองโครงข่ายประสาทเทียม (Neural Networks), แบบจำลองต้นไม้การตัดสินใจ (Decision Tree) และแบบจำลองการวิเคราะห์การตัดตอยโลจิสติก (Logistic Regression Analysis) ซึ่งได้ผลการทดสอบแบบจำลองดังภาพ 36



ภาพ 36 Lift Chart ผลการประเมินความถูกต้องของแบบจำลองการพยากรณ์  
(Forecasting Model)

จากภาพ 36 Lift Chart ผลการประเมินความถูกต้องของแบบจำลอง (Forecasting Model) ของการพยากรณ์ด้วยปัจจัยใหม่ โดยแกน x แสดงร้อยละของจำนวนข้อมูลที่ใช้ในการพยากรณ์ (Overall Population) ส่วนแกน y แสดงร้อยละของความถูกต้องการพยากรณ์ (Population Correct) และเส้น Ideal Model เป็นเส้นที่แสดงผลของการทำนายที่ถูกต้องและเป็นเส้นมาตรฐานเพื่อประเมินประสิทธิภาพของแบบจำลอง(Model) ซึ่ง Lift Chart แสดงให้เห็นถึงแบบจำลองของช่างประสาทเทียม เข้าใกล้เส้น Ideal Model ซึ่งซึ่งให้เห็นว่าแบบจำลองนี้มีความถูกต้องในการพยากรณ์เท่ากับ 93.64% อยู่ในระดับที่สูงสุดเมื่อเปรียบเทียบกับการวิเคราะห์การลดถอยโลจิสติกและแบบจำลองต้นไม้ตัดสินใจ มีค่าความแม่นยำเท่ากับ 92.70% และ 85.70% ตามลำดับ

หลังจากนั้นผู้วิจัยได้ทดลองนำโมเดลการพยากรณ์ด้วยเทคนิคการพยากรณ์ของช่างประสาทเทียม (NN) มาเปรียบเทียบกับเทคนิคต้นไม้ตัดสินใจ (Decision Trees) และเทคนิคใหม่องข้อมูลการวิเคราะห์การลดถอยโลจิสติก (Logistic Regression Analysis) ได้ผลการทดลองที่สามารถสรุปได้ว่า โครงข่ายประสาทเทียม (NN) โดยใช้วิธี 10-fold cross-validation (Specificity and Sensitivity) ให้ประสิทธิภาพของการพยากรณ์ที่มีประสิทธิภาพที่สุดและมีความถูกต้องในการพยากรณ์มากที่สุด คือ 0.9364 ผู้วิจัยจึงเลือกใช้เทคนิคโครงข่ายประสาทเทียมเป็นตัวแบบ(Model) เนื่องจากเป็นเทคนิคที่มาพร้อมกับ Microsoft Business Intelligent (BI) และมีความยืดหยุ่นต่อการใช้งานของผู้ใช้ ดังภาพ 37



ภาพ 37 การเปรียบเทียบประสิทธิภาพของการพยากรณ์ (specificity and sensitivity)

ดังนั้นจากสมมุติฐานที่ 2 จึงสรุปได้ว่าแบบจำลองโมเดลของการพยากรณ์ด้วยเทคนิคโครงข่ายประสาทเทียมด้วยปัจจัยใหม่เป็นแบบจำลองที่เหมาะสมที่สุดในการพยากรณ์แนวโน้มการระบาดของโรคไข้เลือดออก เนื่องจากให้ค่าความถูกต้องของการพยากรณ์ (Mining accuracy) ที่สูงกว่าเทคนิคอื่นและปัจจัยอื่น

การปรับแต่งพารามิเตอร์ (parameter tuning) ในโครงข่ายประสาทเทียม (Neural Networks)

การปรับแต่งพารามิเตอร์ (parameter tuning) ในโครงข่ายประสาทเทียม (Neural Networks) ช่วยเพิ่มประสิทธิภาพการพยากรณ์ ซึ่งเป็นการปรับค่าน้ำหนัก (Weight) ด้วยจำนวนรอบ (Epoch), การทดสอบโมเดลโครงข่ายประสาทเทียมแบบหลายชั้น (Multi-Layered Perceptron : MLP) และการทดสอบสร้างโมเดลโครงข่ายประสาทเทียมแบบหลายชั้น (Multi-Layered Perceptron : MLP) ด้วยปัจจัยต่างๆ เพื่อทดสอบประสิทธิภาพของโมเดลการพยากรณ์ ดังตาราง 32 ตาราง 33 และตาราง 34 ตามลำดับ

ตาราง 32 แสดงผลการทดสอบโมเดลด้วยการปรับค่าน้ำหนัก (Weight) ด้วยจำนวนรอบ (Epoch)

| โมเดล | Epoch     | Error per Epoch | Mean      |        |                          | mean squared error | ROC    | Incorrectly Predict probability (%) | Correctly Predict probability (%) |      |
|-------|-----------|-----------------|-----------|--------|--------------------------|--------------------|--------|-------------------------------------|-----------------------------------|------|
|       |           |                 | Precision | Recall | F-Measure absolute error |                    |        |                                     |                                   |      |
| 1     | 500       | 0.0002137       | 0.905     | 0.904  | 0.904                    | 0.1052             | 0.295  | 0.971                               | 9.6                               | 90.4 |
| 2     | 1,000     | 0.0000301       | 0.905     | 0.904  | 0.904                    | 0.1025             | 0.2946 | 0.971                               | 9.6                               | 90.4 |
| 3     | 5,000     | 0.0000059       | 0.905     | 0.904  | 0.904                    | 0.1012             | 0.2976 | 0.972                               | 9.6                               | 90.4 |
| 4     | 10,000    | 0.0000003       | 0.905     | 0.904  | 0.904                    | 0.1002             | 0.2967 | 0.973                               | 9.6                               | 90.4 |
| 5     | 100,000   | 0.0000003       | 0.914     | 0.913  | 0.913                    | 0.0952             | 0.2891 | 0.976                               | 8.7                               | 91.3 |
| *6    | 1,000,000 | 0               | 0.992     | 0.992  | 0.992                    | 0.0909             | 0.2819 | 0.977                               | 7.8                               | 92.2 |

จากตาราง 32 ผลการทดสอบโมเดลด้วยการปรับค่าหนัก (Weight) ด้วยจำนวนรอบ (Epoch) ซึ่งการทดสอบนี้ผู้วิจัยใช้กระบวนการการเรียนรู้อัตโนมัติของเครือข่าย (feed-forward Neural Networks) ด้วยเทคนิคโครงข่ายประสาทเทียมแบบ (back-propagation) เพื่อใช้ในการปรับปรุงค่าหนักค่าแแนวของเครือข่าย (Network Weigh) ซึ่งเป็นการทดสอบโมเดลด้วยการปรับปรับค่าหนัก (Weight) ด้วยจำนวนรอบ (Epoch) จากการทดสอบชุดโมเดลทั้งหมด ผู้วิจัยเลือกโมเดลจากการทดสอบที่ 1,000,000 ล้านรอบของการคำนวณ (1000000 Epoch) เป็นโมเดลของการพยากรณ์แนวโน้มการระบาดของโรคไข้เลือดออก เนื่องจากมีค่าผิดพลาดของการเรียนรู้ต่อรอบที่ 0 % และได้ค่าความถูกต้องของการพยากรณ์เท่ากับ 92.17 %

ตาราง 33 แสดงผลการทดสอบโมเดลด้วยการปรับค่าหนัก (Weight) ด้วยจำนวนหนอนชั้นช่อง

จากตาราง 33 หลังจากได้โมเดลรอบของการเรียนรู้ (Epoch) ที่เหมาะสมแล้ว ผู้วิจัยได้ทำการทดสอบโมเดลโดยการใช้โครงข่ายประสาทเทียมแบบหลายชั้น (Multi-Layered Perceptron : MLP) (พยุง มีสัจ, 2551) ทดสอบหาจำนวนชั้นที่เหมาะสม (Layer) และปัจจัยสำหรับการพยากรณ์ที่เหมาะสม เพื่อนำไปเป็นโมเดลในการพยากรณ์ ผู้วิจัยได้นำข้อมูลปัจจัย (Factor) สำหรับการพยากรณ์แนวโน้มการระบาดของโรคไข้เลือดออก โดยได้แบ่งข้อมูลปัจจัยสำหรับพยากรณ์การระบาดออกเป็นชุดๆ โดยนำผลการทดลองจากสมมุติฐานที่ 1 มาเป็นเกณฑ์ใน การแบ่งข้อมูลปัจจัยเพื่อสร้างโมเดลในการพยากรณ์ โดยใช้โมเดลโครงข่ายประสาทเทียมแบบหลายชั้น (Multi-Layered Perceptron : MLP) ที่ MultilayerPerceptron ที่ Layer ต่างๆ โดย การทดสอบโมเดลโครงข่ายประสาทเทียมแบบหลายชั้น (Multi-Layered Perceptron: MLP) ที่ MultilayerPerceptron Layer ที่ "5, 10, 20" ได้ผลการทดสอบการพยากรณ์โมเดลโดยใช้ปัจจัยทั้งหมด ได้ค่าการพยากรณ์ความถูกต้อง ที่ 94% และค่าการพยากรณ์การผิดพลาด ที่ 6 % โดยใช้เวลาในการสร้างโมเดล 146.11 วินาที ผู้วิจัยเลือก MultilayerPerceptron Layer ที่ "5, 10, 20" เนื่องจากเป็น Layer ที่ใช้เวลาการสร้างโมเดลน้อยโดยที่มีผลการพยากรณ์โมเดลที่สูง

ตาราง 34 แสดงผลการทดสอบโมเดลด้วยการปรับค่าน้ำหนัก (Weight) ด้วยอัตราการ

#### เรียนรู้

| โมเดล | Factor     | Time<br>(Sec) | Precision | Recall | F-Measure | Mean absolute error | mean squared error | ROC   | Incorrectly Predict probability (%) | Correctly Predict probability (%) |
|-------|------------|---------------|-----------|--------|-----------|---------------------|--------------------|-------|-------------------------------------|-----------------------------------|
| 1     | All Factor | 1.8           | 0.931     | 0.93   | 0.93      | 0.0839              | 0.2163             | 0.985 | 7                                   | 93                                |
| 2     | Den1+Den3+ | 0.66          | 0.896     | 0.896  | 0.896     | 0.1401              | 0.2788             | 0.946 | 10.4                                | 89.6                              |
|       | Normal     |               |           |        |           |                     |                    |       |                                     |                                   |
| 3     | New Factor | 0.25          | 0.809     | 0.809  | 0.809     | 0.2436              | 0.3473             | 0.905 | 19.1                                | 96.5                              |
| 4     | Normal     | 0.37          | 0.893     | 0.887  | 0.887     | 0.171               | 0.2883             | 0.955 | 11.3                                | 88.7                              |
|       | Factor     |               |           |        |           |                     |                    |       |                                     |                                   |
| *5    | Age+New    | 1.83          | 0.966     | 0.965  | 0.965     | 0.0513              | 0.1834             | 0.954 | 3.5                                 | 96.5                              |
|       | Factor     |               |           |        |           |                     |                    |       |                                     |                                   |

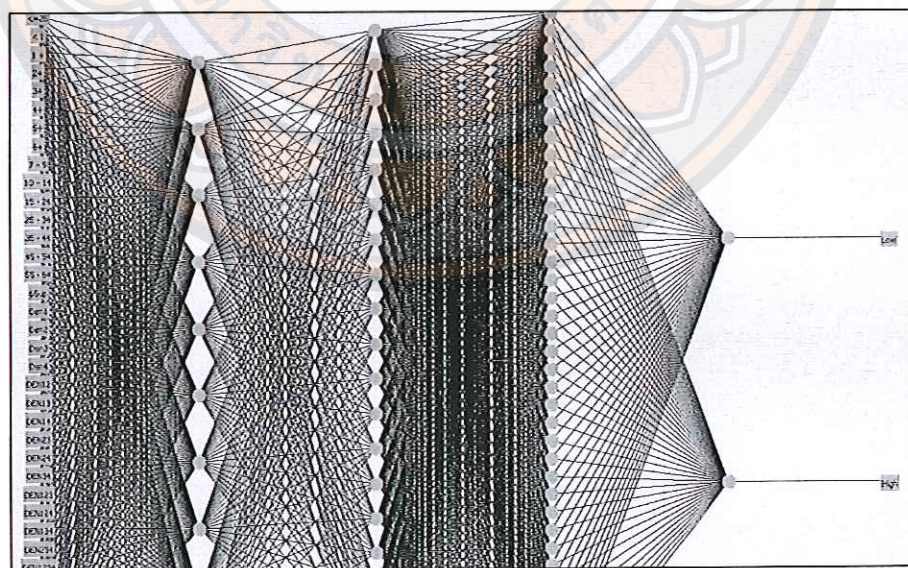
หมายเหตุ: 1. Normal Factors คือ ปัจจัยเดิมประกอบ จำนวนประชากร ปริมาณน้ำฝน อุณหภูมิเฉลี่ย ความชื้นสัมพัทธ์ และอัตราแรงลม

2. New Factors คือ ปัจจัยใหม่ประกอบ อัตราการติดเชื้อของดูကน้ำและบุญญา การติดเชื้อไวรัส (Dengue Type) และอัตราผู้ป่วยโรคไข้เลือดออกแยกตามช่วงอายุ

จากตาราง 34 ผู้วิจัยได้สร้างโมเดลให้ผู้ใช้สามารถสร้างโมเดลการพยากรณ์และเลือกปัจจัยที่มีความสัมพันธ์กับอัตราผู้ป่วยโรคไข้เลือดออกเพื่อใช้ในการพยากรณ์ไม่แต่ละพื้นที่ได้เองโดยผลการทดลองการพยากรณ์ด้วยปัจจัยต่างๆ นอกเหนือจากตาราง 34 มีความถูกต้องในการพยากรณ์มากกว่า 70%

จากตาราง 34 การทดสอบสร้างโมเดลโครงข่ายประสาทเทียมแบบหลายชั้น (Multi-Layered Perceptron : MLP) ด้วยปัจจัยต่างๆ ด้วยโครงข่ายประสาทเทียมแบบหลายชั้น (Multi-Layered Perceptron : MLP) ที่ MultilayerPerceptron ที่ Layer "a" (Age+New Factor) และ (New Factor) ได้ผลการทดสอบการพยากรณ์โมเดลโดยใช้ปัจจัยห้าหมวด ได้ค่าการพยากรณ์ความถูกต้อง ที่ 96.5 % และค่าการพยากรณ์การผิดพลาด ที่ 3.5 % โดยใช้เวลาในการสร้างโมเดล 1.83 วินาที

จากการสร้างโมเดลการพยากรณ์แนวโน้มการระบาดของโรคไข้เลือดออกด้วยกระบวนการการย้อนกลับของการรู้จำในการฝึก (feed-forward Neural Networks) ด้วยเทคนิคโครงข่ายประสาทเทียมแบบ (back-propagation) ด้วยการปรับปรุงน้ำหนักคะแนนของเครือข่าย (Network Weigh) ซึ่งเป็นการทดสอบโมเดลด้วยการปรับปรับค่าน้ำหนัก (Weight) ด้วยจำนวนรอบ (Epoch) และการสร้างโมเดลโดยใช้โครงข่ายประสาทเทียมแบบหลายชั้น (Multi-Layered Perceptron : MLP) โดยใช้ปัจจัยใหม่เพิ่มประสิทธิภาพการพยากรณ์ที่สูง ซึ่งได้รูปแบบดังภาพ 38

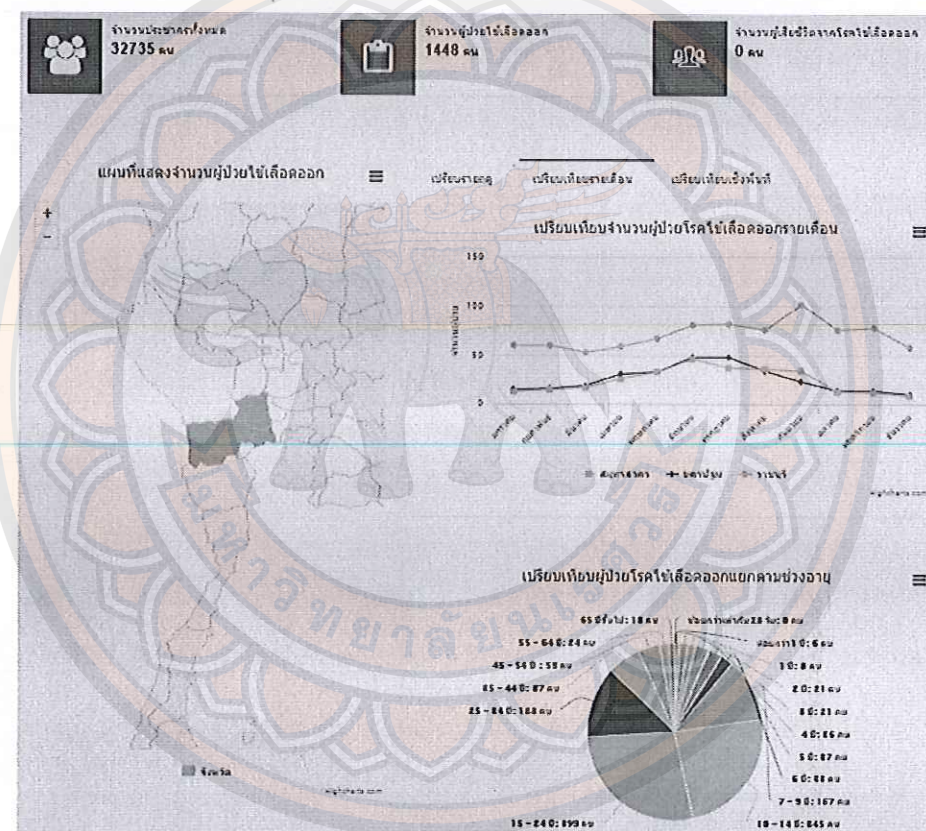


ภาพ 38 โครงข่ายประสาทเทียมแบบหลายชั้น (Multi-Layered Perceptron : MLP)

จากภาพ 38 โครงข่ายประสาทเทียมแบบหลายชั้น (Multi-Layered Perceptron : MLP) ซึ่งเป็นโครงข่ายที่ให้ประสิทธิภาพของการพยากรณ์และเหมาะสมกับการนำโมเดลไปพยากรณ์

ผลการทดลองการสร้างระบบช่วยสนับสนุนการตัดสินใจการเฝ้าระวังการระบาดและการป้องกันเพื่อใช้บริหารจัดการโรคไข้เลือดออกด้วยวิธีทางระบบถูกรักษาจัดริยะ (BI)

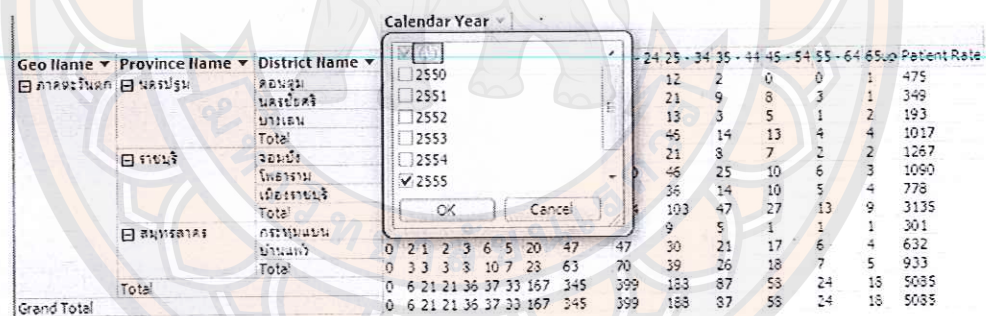
ระบบสามารถช่วยสนับสนุนการตัดสินใจในการบริหารจัดการการระบาดของโรคไข้เลือดออกด้วยวิธีทางระบบถูกรักษาจัดริยะ (BI) ดังภาพ 39



ภาพ 39 ระบบช่วยสนับสนุนการตัดสินใจในการบริหารจัดการการระบาดของโรคไข้เลือดออก

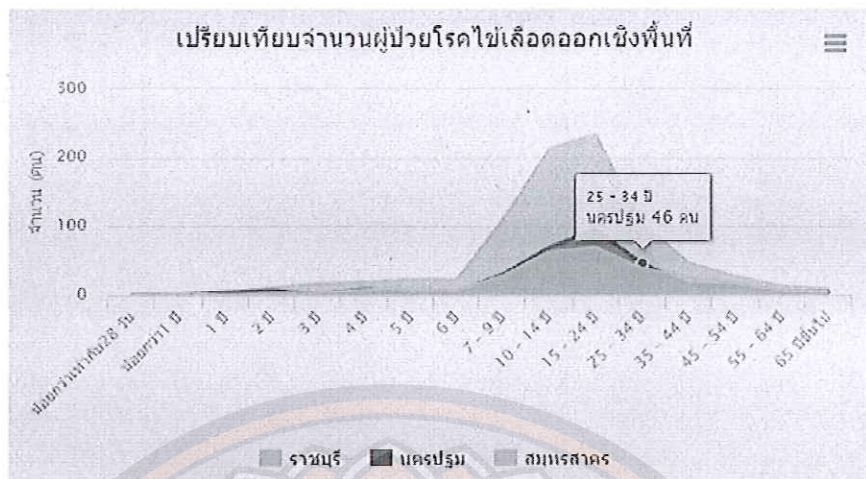
จากภาพ 39 ระบบสามารถช่วยสนับสนุนการตัดสินใจในการบริหารจัดการการระบาดของโรคไข้เลือดออก (Dash board) เมื่อผู้ใช้งานเข้าใช้ระบบการใช้วิธีทางระบบถูกรักษาจัดริยะ สำหรับการป้องกันและควบคุมโรคไข้เลือดออก โดยผู้ใช้งานระดับบริหารและระดับผู้อำนวยการสามารถใช้ข้อมูลจากระบบเฝ้าระวังการระบาดของโรคไข้เลือดออกเมื่อพบร่องที่เสี่ยงต่อการระบาด

ก็สามารถสั่งการให้พื้นที่เฝ้าระวังและเตรียมความพร้อมในการรับมือกับภัยธรรมชาติได้ ส่วนผู้ใช้งานระดับปฏิบัติการสามารถใช้ข้อมูลจากระบบในการช่วยสนับสนุนในการตัดสินใจเกี่ยวกับการรับมือและเฝ้าระวังภัยธรรมชาติของโรคในพื้นที่ที่ตนengรับผิดชอบได้ และผู้ใช้งานทั่วไปสามารถเข้าสู่ระบบเพื่อใช้ดูข้อมูลแนวโน้มภัยธรรมชาติเพื่อเฝ้าระวังภัยธรรมชาติที่บ้านของตนเองได้ เช่น นำข้อมูลที่ได้ไปช่วยสนับสนุนการตัดสินใจของตนเองในการทำลายแหล่งเพาะพันธุ์ลูกน้ำยุงลายในบริเวณบ้านของตนเอง นอกจากนี้ด้วยหลักภัยธรรมชาติจัดทำโดย (BI) ผู้บริหารและผู้ปฏิบัติงานในชุมชนของกระทรวงสาธารณสุข สามารถใช้ความสามารถของระบบภัยธรรมชาติจัดทำโดยเพื่อประเมินผลเชิงวิเคราะห์ออนไลน์ (Online Analytical Processing (OLAP)) หรือ คิวบ์ (Cube) โดยผู้ใช้งานสามารถเลือกดูข้อมูลเกี่ยวกับโรคได้โดยออกได้ตามความต้องการ เนื่องจากระบบภัยธรรมชาติจัดทำโดยมีความยืดหยุ่นในการเรียกดูข้อมูลสูง (Interactive mode) ผู้ใช้งานสามารถเลือกกำหนด และเปรียบเทียบข้อมูลที่ต้องการดูได้ด้วยตัวเอง และสามารถนำข้อมูลเข้าและออกจากระบบด้วยตัวเอง ในรูปแบบไฟล์มาตราฐาน (csv, excel, pdf และ jpg) เช่น ต้องการดูข้อมูลไข้เลือดออก ก็สามารถเลือกปี เลือกจังหวัด เลือกข้อมูลที่ต้องการดูหรือเปรียบเทียบได้ด้วยตัวเอง เพื่อนำข้อมูลนั้นไปจัดการเฝ้าระวังภัยธรรมชาติของโรคได้โดยออก ดังภาพ 40



ภาพ 40 การประเมินผลเชิงวิเคราะห์ออนไลน์ (Online Analytical Processing (OLAP))

จากภาพ 40 เมื่อผู้ใช้งานเลือกดูข้อมูลแบบการประเมินผลเชิงวิเคราะห์ออนไลน์แล้ว ตัวยหลักภัยธรรมชาติจัดทำโดย (BI) ผู้บริหารและผู้ปฏิบัติงานในชุมชนสามารถเลือกดูข้อมูลเชิงพื้นที่เพื่อเปรียบเทียบข้อมูลภัยธรรมชาติของโรคได้โดยออก ดังภาพ 41



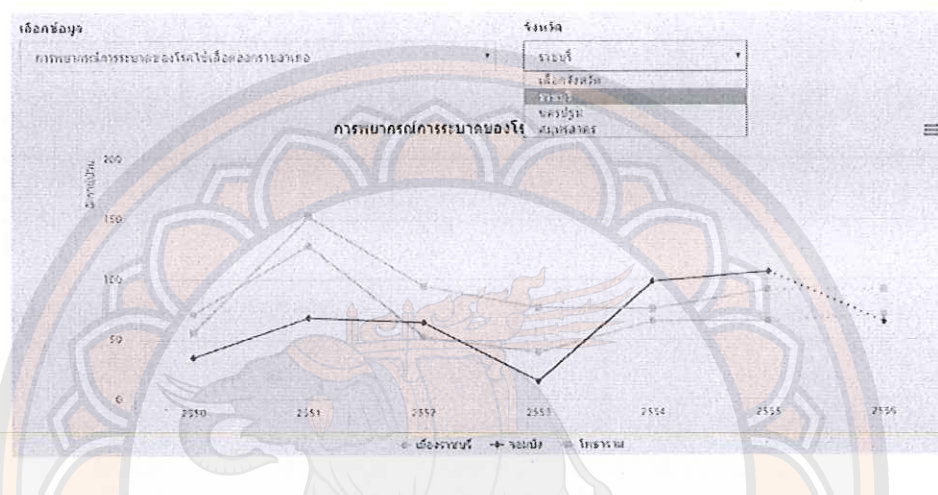
ภาพ 41 การเปรียบเทียบจำนวนผู้ป่วยโรคไข้เลือดออกเชิงพื้นที่

จากภาพ 41 ผู้ใช้งานสามารถเลือกดูข้อมูลเพื่อเปรียบเทียบอัตราการระบาดของโรคไข้เลือดออกระหว่างจังหวัด หรือระหว่างอำเภอ เพื่อวางแผนการจัดการโรคไข้เลือดออกในพื้นที่ต่างๆ โดยผู้วิจัยได้พัฒนาระบบการใช้วิธีทางระบบธุรกิจอัจฉริยะสำหรับการป้องกันและควบคุมโรคไข้เลือดออก ให้รองรับการใช้งานทั่วประเทศไทย ดังภาพ 42



ภาพ 42 แสดงข้อมูลอัตราการระบาดของแต่ละจังหวัด

จากภาพ 42 ผู้ใช้งานสามารถเลือกดูข้อมูลในจังหวัดที่ต้องการดูหรือเรียกข้อมูลเพื่อใช้งาน โดยการเรียกหรือสามารถดูข้อมูลอะไรได้บ้างนั้น ผู้ดูแลระบบของแต่ละจังหวัดหรือแต่ละอำเภอจะเป็นผู้กำหนด นอกจากนี้ด้วยวิธีการระบบฐานข้อมูลจัดทำโดยผู้บริหารและปฏิบัติงานทุกรายดับ ของกระทรวงสาธารณสุข สามารถดูแนวโน้มการระบาดของโรคไปเลือดออก หรือการพยากรณ์การระบาดของโรคไปเลือดออก ดังภาพ 43



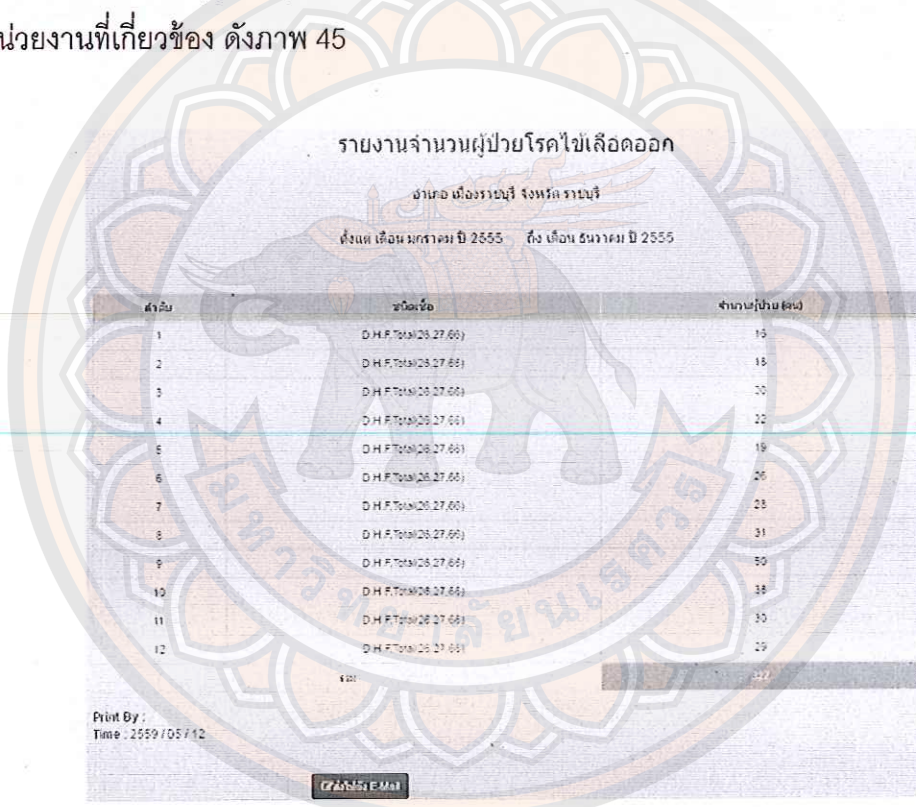
ภาพ 43 การพยากรณ์การระบาดของโรคไปเลือดออกด้วยวิธีการระบบฐานข้อมูลจัดทำโดยผู้บริหาร

จากภาพ 43 เมื่อผู้ใช้งานเลือกดูข้อมูลหรือรายงานเกี่ยวกับการพยากรณ์โรคไปเลือดออก ของแต่ละจังหวัด ของแต่ละอำเภอ แล้วผู้ใช้งานสามารถดูข้อมูลเชิงพื้นที่ ดังภาพ 44



ภาพ 44 การพยากรณ์โรคไปเลือดออกเชิงพื้นที่ (BI Map)

จากภาพ 44 เมื่อมีจำนวนอัตราผู้ป่วยต่อแสนของประชากรในพื้นที่นั้นๆ เกิน 50 คน ระบบธุรกิจอัจฉริยะก็จะแสดงอัตราผู้ป่วยและแสดงสีของพื้นที่นั้นเป็นสีแดงหมายถึงพื้นที่นั้นเสี่ยง ต่อการระบาดของโรคไปเลือดออก แต่ถ้าจำนวนอัตราผู้ป่วยต่อแสนของประชากรในพื้นที่นั้นๆ น้อยกว่า 50 คน ระบบธุรกิจอัจฉริยะก็จะแสดงอัตราผู้ป่วยและแสดงสีของพื้นที่นั้นเป็นสีเขียวหมายถึง พื้นที่นั้นต้องเฝ้าระวังต่อการระบาดของโรคไปเลือดออก โดยผู้บริหารและปฏิบัติงานทุกระดับ สามารถใช้เป็นข้อมูลในการบริหารจัดการและเฝ้าระวังการระบาดของโรคไปเลือดออก เช่น ดำเนินการจัดพัฒนาศักยภาพนักศึกษาอย่างต่อเนื่อง หรือใช้เป็นข้อมูลในการ จัดการแหล่งเพาะพันธุ์สูกน้ำอย่างต่อเนื่อง หรือใช้ส่งรายงานหรือข้อมูลการระบาดของโรคไปเลือดออกไป ยังหน่วยงานที่เกี่ยวข้อง ดังภาพ 45



ภาพ 45 การส่งรายงานหรือข้อมูลแบบอัตโนมัติด้วย email ในด้วยวิธีการระบบธุรกิจ อัจฉริยะ (BI)

จากภาพ 45 ผู้ใช้งานสามารถเลือกหรือกำหนดข้อมูลที่ต้องการจะส่งหรือแจ้งเตือนให้ผู้มี ส่วนเกี่ยวข้องกับการจัดการและเฝ้าระวังการระบาดของโรคไปเลือดออกได้ด้วยตนเอง โดยผู้ใช้งาน ระบบสามารถเลือกข้อมูลที่ต้องการจะส่ง เลือกเวลาที่จะส่ง และเลือกบุคคลหรือกลุ่มบุคคลที่ ต้องการให้ระบบส่ง email ไปถึงโดยอัตโนมัติ

## พัฒนาระบบการให้บริการและแลกเปลี่ยนข้อมูลการระบาดของโรคไข้เลือดออกบนเครือข่าย (Web Service)

ระบบสามารถให้บริการและแลกเปลี่ยนข้อมูลการระบาดของโรคไข้เลือดออกบนเครือข่ายอินเตอร์เน็ต (Web Service) ดังภาพ 46

```
$xml = simplexml_load_file("factdenguefever.xml");
echo $xml->getName()."";
foreach($xml->children() as $TimeKey){
    foreach($TimeKey->children() as $data){
        echo $data->getName()." : ".$data.""
    }
}
echo '----- END OF RECORD -----';
?>
```

ภาพ 46 การให้บริการเว็บเซอร์วิส (Web Service)

จากภาพ 46 ระบบสามารถให้บริการเว็บเซอร์วิส (Web Service) ดังต่อไปนี้

การใช้งาน Web Service ระบบจะมีการให้ผู้ใช้เข้าถึงข้อมูลโดยผ่านช่องทาง xml ไฟล์ โดยให้ผู้ใช้ส่งคำขอมายังระบบ โดยการใช้คำสั่งภาษา PHP ตัวอย่าง xml ไฟล์ข้อมูลเมื่อต้องการเรียกใช้ข้อมูล เช่น 70 ราชบุรี 01 เมืองราชบุรี 2555 1 มกราคม ตัวอย่างในการอ่านข้อมูล xml ด้วยคำสั่งภาษา PHP for xml

```
$xml = simplexml_load_file("factdenguefever.xml");
echo $xml->getName()."";
foreach($xml->children() as $TimeKey){
    foreach($TimeKey->children() as $data){
        echo $data->getName()." : ".$data.""
    }
}
echo '----- END OF RECORD -----';
?>
```

จากคำสั่งด้านบน จะเป็นการเรียกข้อมูลจาก factdenguefever.xml คือการประกาศให้เข้ารหัสภาษาแบบ UTF-8 เพื่อนให้สามารถใช้งานภาษาไทยได้สมบูรณ์ \$xml =

`simplexml_load_file("factdenguefever.xml");` คือการเปิดและอ่านไฟล์ factdenguefever.xml  
`echo $xml->getName()."";` คือการแสดงหัว (header) ของไฟล์ xml นี้ `foreach($xml->children() as $TimeKey)` คือการวนลูปอ่านค่า element ใน header นี้ นั่นคือ header FactDengueFever และ children ที่ได้คือ TimeKey `foreach($TimeKey->children() as $data)` คือการวนลูปอ่านค่าในแต่ละ TimeKey และแสดง element ลูกใน TimeKey นั้นๆ ซึ่งคือข้อมูลที่จะทำไปใช้งานจริงจาก code ต้องย่างข้างตนสามารถแสดงผลได้ดังนี้

FactDengueFever

ProvinceKey: 70

ProvinceName: ราชบุรี

DistrictKey: 01

DisrictName: เมืองราชบุรี

SeasonNumberOfYear: 2555

MonthNumber: 1

MonthName: มกราคม

จากสมมติฐานที่ 5 เมื่อมีผู้ใช้(client)ทำการร้องขอข้อมูลมาที่เซิร์ฟเวอร์(Server)ของระบบผ่านภาษา xml เซิร์ฟเวอร์จะประมวลผลคำสั่งที่ร้องขอมาส่งกลับไปยังขอร้องขอ (client)

### ผลการพยากรณ์จำนวนผู้ป่วยโรคไข้เลือดออก

เมื่อวิเคราะห์ปัจจัยที่มีผลต่อการระบาด, ทดสอบโนเบล และสร้างโมเดลการพยากรณ์ของโรคไข้เลือดออก ขั้นตอนต่อไปคือการพยากรณ์ โดยการพยากรณ์แนวโน้มการระบาดของโรคไข้เลือดออกในขั้นตอนนี้ผู้วิจัยใช้เทคนิคเหมืองข้อมูลซึ่งเป็นที่นิยมในการทำเหมืองข้อมูลเพื่อการพยากรณ์ด้วยเทคนิคโครงข่ายประสาทเทียม (Microsoft Neural Network) เนื่องจากเป็นการพยากรณ์แนวโน้มการระบาดโดยใช้ข้อมูลจากเหมืองข้อมูล ซึ่งได้ผลการพยากรณ์แนวโน้มการระบาด ดังตาราง 35

ตาราง 35 แสดงผลการพยากรณ์แนวโน้มการระบาดของโรคไข้เลือดออก รายจังหวัด  
ปี 2556

| ปี       | ราชบุรี | นครปฐม | สมุทรสาคร |
|----------|---------|--------|-----------|
| 2551     | 116     | 83     | 60        |
| 2552     | 70      | 55     | 22        |
| 2553     | 43      | 51     | 74        |
| 2554     | 79      | 20     | 69        |
| 2555     | 87      | 28     | 39        |
| *พยากรณ์ | เสี่ยง  | เสี่ยง | เสี่ยง    |

ตาราง 36 แสดงผลการพยากรณ์แนวโน้มการระบาดของโรคไข้เลือดออก รายอำเภอ  
ปี 2556

| ปี       | เมือง   | จอม    | โพ     | นครชัย   | ดอน    | บางเลน   | กระหุ่ม | น้ำน   |
|----------|---------|--------|--------|----------|--------|----------|---------|--------|
|          | ราชบุรี | บึง    | ธารา   | ศรี      | ตูม    | แบบ      | แพ้ว    |        |
| 2551     | 128     | 68     | 152    | 67       | 86     | 96       | 86      | 33     |
| 2552     | 52      | 64     | 94     | 82       | 38     | 46       | 38      | 6      |
| 2553     | 39      | 15     | 76     | 79       | 51     | 23       | 39      | 106    |
| 2554     | 65      | 98     | 75     | 26       | 14     | 19       | 55      | 84     |
| 2555     | 65      | 106    | 91     | 29       | 40     | 16       | 25      | 53     |
| *พยากรณ์ | เสี่ยง  | เสี่ยง | เสี่ยง | ผ้าระวัง | เสี่ยง | ผ้าระวัง | เสี่ยง  | เสี่ยง |

| DEV124<br>Name<br>Name | DEV114<br>Name<br>Name | DEV1134<br>Name<br>Name | FemaleMosquitoInfestationRate<br>Numeric | MaleMosquitoInfestationRate<br>Numeric | AgroInfestationRate<br>Numeric | AverageHumidity<br>Numeric | AverageRainfall<br>Numeric | AverageTemperature<br>Numeric | AverageWind<br>Numeric | DistrictPopulationQuarter<br>Numeric | predicted<br>Nominal |      |
|------------------------|------------------------|-------------------------|--|--|--------------------------------|----------------------------|----------------------------|-------------------------------|------------------------|--------------------------------------|----------------------|------|
| 0.0                    | 0.0                    | 0.0                     | 1.0                                      | 4.0                                    | 23.0                           | 11.12                      | 74.0                       | 24.0                          | 12.32                  | 50147.0                              | 0.00                 |      |
| 1.0                    | 0.0                    | 0.0                     | 6.0                                      | 2.0                                    | 5.0                            | 7.41                       | 68.0                       | 21.0                          | 12.25                  | 66662.0                              | 0.00                 |      |
| 0.0                    | 0.0                    | 0.0                     | 0.0                                      | 0.0                                    | 0.0                            | 74.0                       | 69.0                       | 21.4                          | 13.24                  | 31322.0                              | 0.00                 |      |
| 0.0                    | 0.0                    | 0.0                     | 5.0                                      | 5.0                                    | 1.0                            | 65.0                       | 521.0                      | 26.5                          | 23.51                  | 55577.0                              | 0.00                 |      |
| 0.0                    | 1.0                    | 0.0                     | 11.0                                     | 12.0                                   | 18.0                           | 12.97                      | 149.0                      | 24.0                          | 24.25                  | 11132.0                              | 0.00                 |      |
| 0.0                    | 0.0                    | 0.0                     | 7.0                                      | 5.0                                    | 11.0                           | 12.97                      | 156.0                      | 28.0                          | 29.65                  | 40117.0                              | 0.00                 |      |
| 0.0                    | 0.0                    | 0.0                     | 0.0                                      | 0.0                                    | 2.0                            | 74.0                       | 49.0                       | 21.4                          | 12.32                  | 15517.0                              | 0.00                 |      |
| 0.0                    | 1.0                    | 0.0                     | 15.0                                     | 12.0                                   | 15.0                           | 12.97                      | 149.0                      | 24.0                          | 24.25                  | 11132.0                              | 0.00                 |      |
| 0.0                    | 0.0                    | 0.0                     | 1.0                                      | 4.0                                    | 20.0                           | 11.12                      | 74.0                       | 24.0                          | 12.32                  | 50147.0                              | 0.00                 |      |
| 0.0                    | 1.0                    | 0.0                     | 15.0                                     | 12.0                                   | 18.0                           | 12.97                      | 149.0                      | 24.0                          | 24.25                  | 11132.0                              | 0.00                 |      |
| 0.0                    | 0.0                    | 0.0                     | 0.0                                      | 0.0                                    | 0.0                            | 74.0                       | 49.0                       | 21.4                          | 13.24                  | 31322.0                              | 0.00                 |      |
| 0.0                    | 0.0                    | 0.0                     | 0.0                                      | 0.0                                    | 0.0                            | 11.0                       | 12.97                      | 201.0                         | 21.0                   | 23.21                                | 32247.0              | 0.00 |
| 0.0                    | 0.0                    | 0.0                     | 0.0                                      | 0.0                                    | 0.0                            | 11.0                       | 74.0                       | 20.0                          | 11.00                  | 45769.0                              | 0.00                 |      |
| 0.0                    | 0.0                    | 0.0                     | 1.0                                      | 4.0                                    | 2.0                            | 5.0                        | 427.0                      | 24.5                          | 24.54                  | 15458.0                              | 0.00                 |      |
| 0.0                    | 0.0                    | 0.0                     | 1.0                                      | 4.0                                    | 4.0                            | 7.41                       | 63.0                       | 34.0                          | 14.21                  | 53445.0                              | 0.00                 |      |
| 0.0                    | 0.0                    | 0.0                     | 1.0                                      | 4.0                                    | 4.0                            | 7.41                       | 63.0                       | 34.0                          | 9.35                   | 23542.0                              | 0.00                 |      |
| 0.0                    | 0.0                    | 0.0                     | 0.0                                      | 0.0                                    | 0.0                            | 7.41                       | 63.0                       | 32.0                          | 13.25                  | 20304.0                              | 0.00                 |      |
| 0.0                    | 0.0                    | 0.0                     | 0.0                                      | 0.0                                    | 0.0                            | 7.41                       | 63.0                       | 30.0                          | 9.35                   | 23542.0                              | 0.00                 |      |
| 0.0                    | 0.0                    | 0.0                     | 0.0                                      | 0.0                                    | 0.0                            | 7.41                       | 63.0                       | 28.0                          | 9.35                   | 23542.0                              | 0.00                 |      |
| 0.0                    | 0.0                    | 0.0                     | 0.0                                      | 0.0                                    | 0.0                            | 7.41                       | 63.0                       | 26.0                          | 9.35                   | 23542.0                              | 0.00                 |      |
| 0.0                    | 0.0                    | 0.0                     | 0.0                                      | 0.0                                    | 0.0                            | 7.41                       | 63.0                       | 24.0                          | 9.35                   | 23542.0                              | 0.00                 |      |
| 0.0                    | 0.0                    | 0.0                     | 0.0                                      | 0.0                                    | 0.0                            | 7.41                       | 63.0                       | 22.0                          | 9.35                   | 23542.0                              | 0.00                 |      |
| 0.0                    | 0.0                    | 0.0                     | 0.0                                      | 0.0                                    | 0.0                            | 7.41                       | 63.0                       | 20.0                          | 11.00                  | 45117.0                              | 0.00                 |      |
| 0.0                    | 0.0                    | 0.0                     | 0.0                                      | 0.0                                    | 0.0                            | 7.41                       | 63.0                       | 18.0                          | 9.35                   | 23542.0                              | 0.00                 |      |
| 0.0                    | 0.0                    | 0.0                     | 0.0                                      | 0.0                                    | 0.0                            | 7.41                       | 63.0                       | 16.0                          | 9.35                   | 23542.0                              | 0.00                 |      |
| 0.0                    | 0.0                    | 0.0                     | 0.0                                      | 0.0                                    | 0.0                            | 7.41                       | 63.0                       | 14.0                          | 9.35                   | 23542.0                              | 0.00                 |      |
| 0.0                    | 0.0                    | 0.0                     | 0.0                                      | 0.0                                    | 0.0                            | 7.41                       | 63.0                       | 12.0                          | 9.35                   | 23542.0                              | 0.00                 |      |
| 0.0                    | 0.0                    | 0.0                     | 0.0                                      | 0.0                                    | 0.0                            | 7.41                       | 63.0                       | 10.0                          | 9.35                   | 23542.0                              | 0.00                 |      |
| 0.0                    | 0.0                    | 0.0                     | 0.0                                      | 0.0                                    | 0.0                            | 7.41                       | 63.0                       | 8.0                           | 9.35                   | 23542.0                              | 0.00                 |      |
| 0.0                    | 0.0                    | 0.0                     | 0.0                                      | 0.0                                    | 0.0                            | 7.41                       | 63.0                       | 6.0                           | 9.35                   | 23542.0                              | 0.00                 |      |
| 0.0                    | 0.0                    | 0.0                     | 0.0                                      | 0.0                                    | 0.0                            | 7.41                       | 63.0                       | 4.0                           | 9.35                   | 23542.0                              | 0.00                 |      |
| 0.0                    | 0.0                    | 0.0                     | 0.0                                      | 0.0                                    | 0.0                            | 7.41                       | 63.0                       | 2.0                           | 11.00                  | 40309.0                              | 0.00                 |      |
| 0.0                    | 0.0                    | 0.0                     | 0.0                                      | 0.0                                    | 0.0                            | 7.41                       | 63.0                       | 0.0                           | 13.24                  | 15728.0                              | 0.00                 |      |
| 0.0                    | 0.0                    | 0.0                     | 1.0                                      | 4.0                                    | 2.0                            | 0.0                        | 63.0                       | 24.5                          | 28.54                  | 25455.0                              | 0.00                 |      |
| 0.0                    | 0.0                    | 0.0                     | 1.0                                      | 4.0                                    | 1.0                            | 7.41                       | 74.0                       | 20.0                          | 14.21                  | 15517.0                              | 0.00                 |      |
| 0.0                    | 0.0                    | 0.0                     | 0.0                                      | 0.0                                    | 0.0                            | 7.41                       | 63.0                       | 25.0                          | 23.51                  | 31322.0                              | 0.00                 |      |
| 0.0                    | 0.0                    | 0.0                     | 0.0                                      | 0.0                                    | 0.0                            | 7.41                       | 63.0                       | 23.0                          | 13.24                  | 11132.0                              | 0.00                 |      |
| 0.0                    | 0.0                    | 0.0                     | 0.0                                      | 0.0                                    | 0.0                            | 7.41                       | 63.0                       | 21.0                          | 13.25                  | 20304.0                              | 0.00                 |      |
| 0.0                    | 0.0                    | 0.0                     | 0.0                                      | 0.0                                    | 0.0                            | 7.41                       | 63.0                       | 19.0                          | 24.25                  | 23542.0                              | 0.00                 |      |
| 0.0                    | 0.0                    | 0.0                     | 0.0                                      | 0.0                                    | 0.0                            | 7.41                       | 63.0                       | 17.0                          | 24.25                  | 23542.0                              | 0.00                 |      |
| 0.0                    | 0.0                    | 0.0                     | 0.0                                      | 0.0                                    | 0.0                            | 7.41                       | 63.0                       | 15.0                          | 24.25                  | 23542.0                              | 0.00                 |      |
| 0.0                    | 0.0                    | 0.0                     | 0.0                                      | 0.0                                    | 0.0                            | 7.41                       | 63.0                       | 13.0                          | 24.25                  | 23542.0                              | 0.00                 |      |
| 0.0                    | 0.0                    | 0.0                     | 0.0                                      | 0.0                                    | 0.0                            | 7.41                       | 63.0                       | 11.0                          | 24.25                  | 23542.0                              | 0.00                 |      |
| 0.0                    | 0.0                    | 0.0                     | 0.0                                      | 0.0                                    | 0.0                            | 7.41                       | 63.0                       | 9.0                           | 24.25                  | 23542.0                              | 0.00                 |      |
| 0.0                    | 0.0                    | 0.0                     | 0.0                                      | 0.0                                    | 0.0                            | 7.41                       | 63.0                       | 7.0                           | 24.25                  | 23542.0                              | 0.00                 |      |
| 0.0                    | 0.0                    | 0.0                     | 0.0                                      | 0.0                                    | 0.0                            | 7.41                       | 63.0                       | 5.0                           | 24.25                  | 23542.0                              | 0.00                 |      |
| 0.0                    | 0.0                    | 0.0                     | 0.0                                      | 0.0                                    | 0.0                            | 7.41                       | 63.0                       | 3.0                           | 24.25                  | 23542.0                              | 0.00                 |      |
| 0.0                    | 0.0                    | 0.0                     | 0.0                                      | 0.0                                    | 0.0                            | 7.41                       | 63.0                       | 1.0                           | 24.25                  | 23542.0                              | 0.00                 |      |
| 0.0                    | 0.0                    | 0.0                     | 0.0                                      | 0.0                                    | 0.0                            | 7.41                       | 63.0                       | 0.0                           | 24.25                  | 23542.0                              | 0.00                 |      |
| 0.0                    | 0.0                    | 0.0                     | 0.0                                      | 0.0                                    | 0.0                            | 7.41                       | 63.0                       | 0.0                           | 13.24                  | 15517.0                              | 0.00                 |      |
| 0.0                    | 0.0                    | 0.0                     | 0.0                                      | 0.0                                    | 0.0                            | 7.41                       | 63.0                       | 0.0                           | 10.34                  | 15455.0                              | 0.00                 |      |
| 0.0                    | 0.0                    | 0.0                     | 0.0                                      | 0.0                                    | 0.0                            | 7.41                       | 63.0                       | 0.0                           | 10.34                  | 15455.0                              | 0.00                 |      |
| 0.0                    | 0.0                    | 0.0                     | 0.0                                      | 0.0                                    | 0.0                            | 7.41                       | 63.0                       | 0.0                           | 10.34                  | 15455.0                              | 0.00                 |      |
| 0.0                    | 0.0                    | 0.0                     | 0.0                                      | 0.0                                    | 0.0                            | 7.41                       | 63.0                       | 0.0                           | 10.34                  | 15455.0                              | 0.00                 |      |

ภาพ 47 ผลการพยากรณ์แนวโน้มการระบาดของโรคไข้เลือดออก ปี 2556

จากภาพ 47 ผลการพยากรณ์แนวโน้มการระบาดของโรคไข้เลือดออก ปี 2556 ด้วย

### เทคนิคโครงข่ายประสาทเทียม

ผลการประเมินประสิทธิภาพของการพยากรณ์ที่นำเสนอสามารถทำได้หลายวิธี ในงานวิจัยนี้ผู้วิจัยใช้การคำนวณทางสถิติโดยดูจากค่าผิดพลาดที่เกิดขึ้น ซึ่งจะใช้ค่า MAPE (Mean Absolute Percentage Error) เพื่อประเมินประสิทธิภาพของโมเดลการพยากรณ์ที่พัฒนาขึ้น ซึ่งเป็นเทคนิคที่อยู่บนพื้นฐานของการคำนวณทางคณิตศาสตร์ ในการคำนวณผิดพลาดจะทำการเบริญบเทียบกับข้อมูลจริง หมายถึงนำข้อมูลที่มีอยู่มาแบ่งเป็น 2 ชุด ชุดแรกนำไปเป็นข้อมูลเข้าให้กับระบบและชุดที่ 2 เก็บไว้เพื่อนำผลลัพธ์ที่ได้จากข้อมูลชุดแรกมาเบริญบเทียบกับข้อมูลจริงในชุดที่ 2 เพื่อหาความแตกต่างระหว่างผลการทำนายและข้อมูลจริงว่าแตกต่างกันมากน้อยเพียงใด ยกตัวอย่างเช่น นำข้อมูลปี พ.ศ. 2550-2554 เป็นข้อมูลเข้าเพื่อทำนายจำนวนผู้ป่วยไข้เลือดออก และนำผลการทำนายที่ได้ไปเบริญบเทียบกับข้อมูลจริงของปี พ.ศ. 2555 เป็นต้น

สำหรับการทดลองนี้จะใช้haarid wave และซอฟต์แวร์เดียวกันในการทดสอบและเบริญบเทียบผลการทดลองด้านต่างๆ โดยมีรายละเอียดคือ เครื่องคอมพิวเตอร์ haarid ดิสก์ แรม ซีพียู และใช้ Microsoft SQL Server 2008R2 ในการประมวลผลการทดลอง

การประเมินประสิทธิภาพของโมเดลการพยากรณ์จะพิจารณาจากค่า MAPE (Mean Absolute Percentage Error) ซึ่งเป็นวิธีการที่ยอมรับกันโดยทั่วไปในการวัดประสิทธิภาพเทคนิคการพยากรณ์ วิธีการหาค่า MAPE แสดงดังสมการต่อไปนี้

$$MAPE = \frac{1}{n} \sum_{i=1}^n \left| \frac{X_i - F_i}{X_i} \right| \times 100$$

โดยที่  $X_i$  คือค่าข้อมูลจริง และ  $F_i$  คือค่าพยากรณ์ และ  $n$  คือจำนวนข้อมูลทั้งหมด

ตาราง 37 แสดงค่าผิดพลาด (Error) จากการพยากรณ์

| District     | Actual | Forecast | Error | Absolute Value |
|--------------|--------|----------|-------|----------------|
| เมืองราชบุรี | 65.37  | 65.46    | 0.09  | 0.14           |
| จอมบึง       | 98.22  | 102.25   | 4.03  | 4.10           |
| โพธาราม      | 75.04  | 91.36    | 16.32 | 21.75          |
| นครชัยศรี    | 26.47  | 29.24    | 2.77  | 10.46          |
| ดอนตูม       | 83.31  | 119.35   | 36.04 | 43.26          |
| บางเลน       | 76.35  | 68.43    | 7.92  | 10.37          |
| กระทุมແບນ    | 55.27  | 25.12    | 30.15 | 54.55          |
| ป้านแพ้ว     | 84.45  | 53.73    | 30.72 | 36.38          |

จากตาราง 37 ผลการทดลองการสร้างโมเดลการพยากรณ์การระบาดโรคไข้เลือดออก จะได้ค่า  $MAPE = 2.69$  จึงสรุปได้ว่าตัวแบบพยากรณ์มีความเหมาะสมกับข้อมูลที่นำมาทดสอบเนื่องจากมีค่าไม่เกิน 10

### สรุปเนื้อหาประจำบท

จากการวิจัยของการใช้วิธีทางระบบถุรกิจอัจฉริยะสำหรับการป้องกันและควบคุมโรคไข้เลือดออก ผู้วิจัยค้นพบปัจจัยใหม่ ได้แก่ อัตราผู้ป่วยโรคไข้เลือดออกแบ่งตามช่วงอายุ, อัตราการติดเชื้อโรคไข้เลือดออกของยุงลายตัวเมีย, อัตราการติดเชื้อโรคไข้เลือดออกของลูกน้ำยุงลาย,

อัตราการติดเชื้อของบุตรชายตัวผู้, และอัตราการติดเชื้อโรคให้เลือดออกชนิดต่างๆ ซึ่งยังไม่มีนักวิจัยท่านใดนำปัจจัยเหล่านี้มาใช้ในการพยากรณ์ด้วยเทคนิคโครงข่ายประสาทเทียม โดยปัจจัยใหม่ที่ผู้วิจัยค้นพบนี้ให้ประสิทธิภาพและความถูกต้องในการพยากรณ์การระบาดของโรคที่สูง และระบบธุรกิจอัจฉริยะ (BI) ยังสามารถจัดการในด้านความต้องการของผู้ใช้งานที่มีไม่น้อยสุดโดยให้ผู้ใช้งานเลือกดูหรือเลือกใช้ข้อมูลได้ลงตามความต้องการ ซึ่งมีประโยชน์และลดภาระการทำงานของโปรแกรมเมอร์ ซึ่งระบบธุรกิจอัจฉริยะเป็นระบบที่ช่วยสนับสนุนการตัดสินใจของผู้บริหารและผู้ปฏิบัติงานได้ดีที่สุด ดังจะกล่าวในบทต่อไป



## บทที่ 5

### บทสรุป

#### สรุปผลการวิจัย

งานวิจัยนี้ผู้วิจัยได้ทำการศึกษาปัจจัยในการสร้างแบบจำลองเพื่อการพยากรณ์การระบาดโรคไข้เลือดออก โดยผลการวิจัยนี้สรุปได้ว่า อัตราการติดเชื้อไวรัส Dengue virus ของยุงลายตัวเมีย อัตราการติดเชื้อไวรัส Dengue virus ลูกน้ำ อัตราการติดเชื้อชนิดที่ 1 (Dengue type 1) ในผู้ป่วย อัตราการติดเชื้อชนิดที่ 3 (Dengue type 3) ในผู้ป่วย และอัตราการป่วยแยกตามช่วงอายุ โดยปัจจัยดังกล่าวมาข้างต้นเป็นจัยจัยใหม่ซึ่งเป็นตัวแปรที่มีผลต่ออัตราการระบาดของโรคไข้เลือดออกสูง ซึ่งยังไม่มีงานวิจัยใดเคยทำการทดลองหาความสัมพันธ์ระหว่างตัวแปรดังกล่าวมาก่อน ดังนั้นหากประเทศไทยสามารถเก็บข้อมูลลูกน้ำและยุงลายที่ติดเชื้อได้และมีความละเอียดและมีความละเอียดในการเก็บข้อมูลอย่างสม่ำเสมอ เช่น เก็บข้อมูลรายเดือนในพื้นที่ต่างๆ ทั่วประเทศ จะทำให้สามารถนำพยากรณ์แนวโน้มความรุนแรงของการระบาดของโรคไข้เลือดออกในพื้นที่ต่างๆ ได้อย่างละเอียด แต่เนื่องจากข้อมูลที่เก็บรวบรวมได้จากการวิจัยที่เก็บรวบรวมข้อมูลนี้คือ ภาควิชาปรสิตวิทยา คณะแพทยศาสตร์ จุฬาลงกรณ์มหาวิทยาลัย มีการเก็บข้อมูลในลักษณะเดือน จึงทำให้การวิเคราะห์ในโครงการวิจัยนี้จำเป็นต้องวิเคราะห์ในระดับเดือน เช่นกัน นอกจากนี้ไม่เดลกการพยากรณ์ที่ได้ยังมีค่าความผิดพลาดในระดับที่ยอมรับได้ คือไม่เกิน 10 ซึ่งสามารถนำไปใช้ในการพยากรณ์แนวโน้มการระบาดของโรคไข้เลือดออกเพื่อการเฝ้าระวัง ป้องกันและควบคุมการระบาดของโรคไข้เลือดออกได้อย่างมีประสิทธิภาพต่อไป ซึ่งบางหน่วยงานสามารถนำไปใช้ในการเฝ้าระวังการระบาดได้ทั้งประเทศ ซึ่งผู้วิจัยได้ออกแบบคลังข้อมูลให้รองรับทั่วประเทศ โดยสำนักระบาดวิทยา กรมควบคุมโรค กระทรวงสาธารณสุขหรือหน่วยงานอื่นสามารถนำผลการวิจัยนี้เป็นแนวคิดในการพัฒนาต่อยอดได้ต่อไปในอนาคต

นอกจากนี้ ผู้วิจัยได้พัฒนาระบบให้รองรับกับการทำงานในทุกอุปกรณ์ (Web responsive) เพื่อให้ผู้ใช้ทุกกลุ่มและทุกระดับสามารถใช้งานระบบได้อย่างมีประสิทธิภาพ โดยผู้วิจัยได้พัฒนารายงานแบบ Real time เพื่อให้ตรงกับความต้องการของผู้ใช้งาน ได้อย่างมีประสิทธิภาพและรวดเร็ว ระบบดังกล่าวทำให้ผู้ใช้เห็นแนวโน้มด้านต่างๆ เช่น แนวโน้มความรุนแรงของ การระบาดของโรค หรือในอีกมุมมองนึงสามารถมองได้ว่าการจัดสรรงบประมาณในแต่ละปี ประสิทธิภาพมากเพียงใด หากมีประสิทธิภาพ จำนวนผู้ป่วยจะลดลง เป็นต้น และ

ผู้วิจัยได้พัฒนารูปแบบของนวัตกรรมบริการ (Web service) เพื่อให่องค์กรต่างๆ ที่เกี่ยวข้องสามารถพัฒนาระบบคอมพิวเตอร์เพื่อดึงข้อมูลเกี่ยวกับการระบาดของโรคไปใช้เลือดออกไปพัฒนาระบบที่รองรับแอปพลิเคชันที่หลากหลายมากยิ่งขึ้นได้ เช่น พัฒนาแอปพลิเคชันบนมือถือหรือแท็บเล็ต (Tablet) เป็นต้น

### อภิปรายผลการวิจัย

จากการศึกษาปัจจัยในการสร้างแบบจำลองเพื่อการพยากรณ์การระบาดโรคไปใช้เลือดออก ผลการวิเคราะห์ปัจจัยที่เกี่ยวข้องกับการระบาดของโรคไปใช้เลือดออก พบว่าปัจจัยที่มีผลกับอัตราการระบาดมากที่สุด คืออัตราการติดเชื้อไวรัส Dengue virus ของยุงลายตัวเมีย อัตราการติดเชื้อไวรัส Dengue virus ยุงลาย อัตราการติดเชื้อชนิดที่ 1 (Dengue type 1) ในผู้ป่วย อัตราการติดเชื้อชนิดที่ 3 (Dengue type 3) ในผู้ป่วย ซึ่งสอดคล้องกับงานวิจัยของจักรวาล ชุมภูศรี (Chompoosri, et al., 2012) และภาสวีร์ อ่องรัก, แพร์ ศิริยะเสถียร และไกรศักดิ์ เกษรา (Ongruk, Siriyasatien and Kesorn, 2014, pp.1457-1461) และอัตราการป่วยแยกตามช่วงอายุ ซึ่งเป็นปัจจัยใหม่ โดยผลการวิเคราะห์ปัจจัยดังกล่าวกับอัตราการระบาดของโรคพบว่าข้อมูลมีนัยสำคัญกับทางสถิติ (Significant)

ส่วนการทดสอบกระบวนการภาระย้อนกลับของการรู้จำในการฝึก (feed-forward Neural Networks) ด้วยอัลกอริทึมโครงข่ายประสาทเทียมแบบ (back-propagation) เพื่อใช้การปรับปรุงน้ำหนักคะแนนของเครือข่าย (Network Weigh) โดยเป็นการทดสอบโมเดลด้วยการปรับปรุงค่าน้ำหนัก (Weight) ด้วยจำนวนรอบ (Epoch) ผู้วิจัยได้ปรับค่าน้ำหนักที่ 1,000,000 Epoch ใช้เวลาในการทดสอบ 5 ชั่วโมง 25 นาที ซึ่งได้ค่าผิดพลาดของการเรียนรู้ต่อรอบที่ 0 %

ส่วนการทดสอบการสร้างโมเดลด้วยโครงข่ายประสาทเทียมแบบหลายชั้น (Multi-Layered Perceptron : MLP) ซึ่งพบว่าจำนวน MultilayerPerceptron ที่ชั้น (Layer) "5, 10, 20" ได้ผลการพยากรณ์แนวโน้มการระบาดที่ 94 % ซึ่งเป็นชั้นที่โครงข่ายประสาทเทียมทำการเรียนรู้ได้ที่สุด ซึ่งจะเป็นโมเดลที่ผู้วิจัยจะนำไปสร้างโมเดลต่อไป

ส่วนการสร้างโมเดลผู้วิจัยได้นำโมเดลที่ได้จากการทดสอบมาสร้างโมเดลด้วยปัจจัยต่างๆ ด้วยโครงข่ายประสาทเทียมแบบหลายชั้น (Multi-Layered Perceptron : MLP) MultilayerPerceptron ที่ชั้น (Layer) "5, 10, 20" ด้วยอัตราการเรียนรู้ 0.05 พบว่าปัจจัยที่เหมาะสมกับการสร้างโมเดลมากที่สุดที่ให้ค่าความถูกต้องมากที่สุดที่ 96 % คือ อัตราการติดเชื้อไวรัส Dengue virus ของยุงลายตัวเมีย อัตราการติดเชื้อไวรัส Dengue virus ยุงลาย อัตรา

การติดเชื้อชนิดที่ 1(Dengue type 1) ในผู้ป่วย, อัตราการติดเชื้อชนิดที่ 3 (Dengue type 3) ในผู้ป่วย, และอัตราการป่วยแยกตามช่วงอายุ (Age+New Factor)

ส่วนการพยากรณ์แนวโน้มการระบาดของโรคไข้เลือดออกด้วย ซึ่งพบว่าปัจจัยใหม่ให้ผลความถูกในการพยากรณ์การระบาดที่ 93.64% ส่วนปัจจัยพื้นฐานให้ผลความถูกในการพยากรณ์การระบาดที่ 69.76 %

ดังนั้น ถ้าจะทำการพยากรณ์แนวโน้มการระบาดของโรคไข้เลือดออก ซึ่งพบว่า การใช้ปัจจัยใหม่กับช่วงอายุ โดยใช้ Microsoft Neural Network ให้ประสิทธิภาพพยากรณ์สูงสุด ซึ่งอาจทำให้การพยากรณ์ที่ถูกต้องที่สุด มีความผิดพลาดในการพยากรณ์น้อยสุด โดยโครงข่ายประสาทเทียมแบบ (back-propagation) จะช่วยให้ลดการล่ม (Request Time out) ของฐานข้อมูลด้วย เพราะฉะนั้นถ้าจะพยากรณ์แนวโน้มการระบาดของโรคไข้เลือดออกให้มีประสิทธิภาพพยากรณ์ที่มีความถูกต้องสูงสุด ควรใช้ปัจจัยใหม่กับช่วงอายุเป็นปัจจัยหลักในการพยากรณ์

#### ข้อเสนอแนะ

จากการศึกษาปัจจัยในการสร้างแบบจำลองเพื่อการพยากรณ์การระบาดโรคไข้เลือดออกได้มีข้อเสนอแนะเพิ่มเติม ดังนี้

- ระบบนำสู่การนำปัจจัยที่ใช้กับทุกจังหวัด หรือสามารถนำไปเป็น Data Center ของประเทศไทยสำหรับการเฝ้าระวังการระบาดของโรคไข้เลือดออกได้
- ควรนำระบบภูมิสารสนเทศ (GIS) เข้ามาพัฒนาปัจจัยที่ใช้เพื่อแสดงความรุนแรงของ การระบาดบนแผนที่ประเทศไทย ซึ่งจะทำให้เห็นภาพรวมการระบาดชัดเจนมากขึ้น
- ทุกจังหวัดในประเทศไทยความมีข้อมูลอัตราการติดเชื้อของลูกน้ำและบุตร
- ทุกจังหวัดควรจะใช้อัตราการป่วยโรคไข้เลือดออกตามช่วงอายุ เป็นปัจจัยในการพยากรณ์เนื่องจากปัจจัยดังกล่าวมีการเก็บข้อมูลทุกจังหวัด
- กระทรวงสาธารณสุข ควรใช้ข้อมูลจากระบบเป็นข้อมูลเพื่อสนับสนุนการตัดสินใจ ในการกำจัดยุงลายด้วยการฉีดพ่นยากำจัดยุงลายในชุมชนเพื่อลดปริมาณจำนวนยุงลายและเพื่อ ป้องกันการระบาดของโรคไข้เลือดออกในชุมชน
- กระทรวงสาธารณสุข ควรใช้ข้อมูลจากระบบในการเฝ้าระวังและป้องกันกลุ่มอายุ ที่เสี่ยงต่อการติดเชื้อโรคไข้เลือดออก คือกลุ่มอายุ 10-24 ปี เช่น รถรุ่งค์และให้ความรู้เกี่ยวกับ โรคไข้เลือดออก เป็นต้น

7. กระทรวงสาธารณสุข ควรใช้ข้อมูลจากระบบช่วยสนับสนุนการตัดสินใจในการกำจัดแหล่งเพาะพันธุ์ลูกน้ำยุงลายในชุมชน

8. การวิจัยนี้แสดงเพียงข้อเท็จจริงที่เก็บรวบรวมได้จากอดีตถึงปัจจุบัน การกำหนดนโยบายต่างๆ ผู้บริหารระดับสูงของรัฐบาลหรือกระทรวงสาธารณสุขสามารถใช้เพื่อประกอบการตัดสินใจในด้านต่างๆ ที่เกี่ยวข้องได้ แต่ระบบไม่สามารถบอกได้ว่าผู้บริหารควรจะปฏิบัติหรือกำหนดนโยบายอย่างไร

### ความสำเร็จของงานวิจัย

ความสำเร็จของการวิจัยเรื่องการศึกษาปัจจัยในการสร้างแบบจำลองเพื่อการพยากรณ์การระบาดโรคไข้เลือดออก ดังนี้

#### 1. บทความทางวิชาการ (Journals)

Ongruk, P., Siriyasatien, P. and Kesorn, K. (2014). New key factors discovery to enhance dengue feverforecasting model. *Advanced Materials Research*, 931, 1457-1461.

Kesorn, K, Ongruk, P., Chompoosri, J., Phumee, A., Thavara, U., Tawatsin, A., et al. (2015). Morbidity rate prediction of dengue hemorrhagic fever (DHF) Using the Support Vector Machine and the Aedes aegypti Infection Rate in Similar Climatesand Geographical Areas. *PLoS ONE*, 10(5), 1-16.

Siriwasatien, P., Phumee, A., Ongruk, P., Jampachaisri, K. and Kesorn, K. (2016). Analysis of significant factors for dengue fever incidence prediction. *BMC Bioinformatics*, 17(1), 1-9.

#### 2. การนำเสนอแบบปากเปล่า (Oral Presentation)

การประชุมทางวิชาการระดับชาติ "วิทยาศาสตร์วิจัย" ครั้งที่ 6 ปี 2557 จัดขึ้นที่ จังหวัดชลบุรี โดยมหาวิทยาลัยบูรพา ซึ่งงานประชุมวิชาการนี้ได้รับการยอมรับให้นำเสนอแบบปากเปล่าในหัวข้อการค้นหาปัจจัยใหม่ในการพยากรณ์การระบาดโรคไข้เลือดออก (ภาสวีร์ อ่องรัก, 2557)



## บรรณานุกรม

กระทรวงสาธารณสุข กรมควบคุมโรค สำนักโรคติดต่อนำโดยแมลง. (2558). คู่มือวิชาการโรคติดเชื้อเดงกีและโรคไข้เลือดออกเดงกีด้านการแพทย์และสาธารณสุข ปี พ.ศ. 2558.

นนทบุรี: กระทรวงสาธารณสุข กรมควบคุมโรค สำนักโรคติดต่อนำโดยแมลง.

กิตติพงษ์ กลมกลุ่ม. (2552). การออกแบบและพัฒนาคลังข้อมูล (Data Warehouse).

กรุงเทพฯ: เคทีพี คอมพ์ แอนด์ คอนศอรัลท์.

กิตติมา เพชรทวาย. (2548). สารสนเทศเพื่อการจัดการ. สืบค้นเมื่อ 3 มกราคม 2558, จาก

[http://www.sirikitdam.egat.com/WEB\\_MIS/108/mis1.html](http://www.sirikitdam.egat.com/WEB_MIS/108/mis1.html)

ไกรศักดิ์ เกษร. (2555). ระบบสนับสนุนการตัดสินใจ. พิชณุโลก: มหาวิทยาลัยนเรศวร.

ไกรศักดิ์ เกษร. (2556). การวิเคราะห์และออกแบบระบบสารสนเทศในยุคปัจจุบัน.

พิชณุโลก: มหาวิทยาลัยนเรศวร.

ชนวัฒน์ ศรีสะอ้าน. (2551). ฐานข้อมูลคลังข้อมูลและเหมืองข้อมูล (พิมพ์ครั้งที่ 2).

ปทุมธานี: มหาวิทยาลัยรังสิต.

นวัชัย สุขสาย. (2551). การพัฒนาระบบสารสนเทศภูมิศาสตร์ เพื่องานระบบดิจิทัล

เชิงพื้นที่ในจังหวัดอุบลราชธานี ผ่านเครือข่ายอินเทอร์เน็ต. การศึกษาค้นคว้า  
ด้วยตนเอง วท.ม., มหาวิทยาลัยนเรศวร, พิชณุโลก.

ปติญญา แย้มชัย. (2549). การพัฒนาระบบสารสนเทศภูมิศาสตร์ (GIS) กองสาธารณสุข  
และสิ่งแวดล้อมเทศบาลเมืองตาก จังหวัดตาก. การศึกษาค้นคว้าด้วยตนเอง วท.ม.,  
มหาวิทยาลัยนเรศวร, พิชณุโลก.

พยุง มีส.จ. (2551). ระบบฟื้นฟูและโครงข่ายประสาทเทียม. กรุงเทพฯ: มหาวิทยาลัยเทคโนโลยี  
พระจอมเกล้าพระนครเหนือ.

พิเชษฐ์ พลพิชิต. (2549). การพัฒนาระบบสารสนเทศงานระบบดิจิทัล กรณีศึกษา: สำนัก  
สาธารณสุขจังหวัดนราธิวาส. สารนิพนธ์ วท.ม., สถาบันเทคโนโลยีพระจอมเกล้า  
พระนครเหนือ, กรุงเทพฯ.

สรวงสุดา คงมั่ง. (2554). การประยุกต์ใช้ระบบสารสนเทศภูมิศาสตร์เพื่อการเฝ้าระวัง  
ทางระบบดิจิทัล. วิทยานิพนธ์ วท.ม., มหาวิทยาลัยขอนแก่น, ขอนแก่น.

เสรี นพรัตน์. (2543). ระบบดิจิทัลของไข้เลือดออกในจังหวัดอุตรดิตถ์. การศึกษาแบบอิสระ  
ส.ม., มหาวิทยาลัยเชียงใหม่, เชียงใหม่.

- เสาวณิต สุขภารังษี. (2542). การพยากรณ์แนวโน้มของการเกิดโรคที่ต้องเฝ้าระวังทางระบบวิทยาของจังหวัดฉะเชิงเทรา. วิทยานิพนธ์ ศ.ม., จุฬาลงกรณ์มหาวิทยาลัย, กรุงเทพฯ.
- Aburas, H. M., Cetiner, B.G. and Sari, M. (2010). Dengue confirmed-cases prediction: A neural network model. *Expert Systems with Applications*, 37, 4256–4260.
- Afzal, S., Maciejewski, R. and Ebert, D. (2011). Visual analytics decision support Environment for Epidemic Modeling and Response Evaluation. In *IEEE Symposium on Visual Analytics Science and Technology* (pp.191-200). Providence, RI: IEEE.
- Anderson, K. B., Chunsuttiwat, S., Nisalak, A., Mammen, M. P., Libraty, D. H., Rothman, A. L., et al. (2007). Articles: burden of symptomatic dengue infection in children at primary school in Thailand: a prospective study. *The Lancet*, 369, 1452-1459.
- Bakar, A. A., Kefli, Z., Abdullah, S. and Sahani, M. (2011). Predictive models for dengue outbreak using multiple rulebase classifiers. Retrieved January 1, 2015, from <http://ieeexplore.ieee.org/stamp/stamp.jsp?arnumber=6021830>
- Barbazan, P., Yoksan, S. and Gonzalez, J. P. (2002). Dengue hemorrhagic fever epidemiology in Thailand: Description and forecasting of epidemics. *Microbes and Infection*, 4(7), 699-705.
- Beatty, M. E., Stone, A., Fitzsimons, D.W., Hanna, J. N., Lam, S. K., Vong, S., et al. (2010). Best practices in dengue surveillance: a report from the Asia-Pacific and Americas dengue prevention boards. *PLoS Negl Trop Dis*. Retrieved January 1, 2015, form <http://search.ebscohost.com/login.aspx?direct=true&db=a9h&AN=60640682&site=eds-live&authtype=ip,uid>
- Besculides, M., Heffernan, R., Mostashari, F. and Weiss, D. (2005). Evaluation of school absenteeism data for early outbreak detection, New York city. *BMC Public Health*, 5, 105.

- Boonchieng, E., Boonchieng, W., Senaratana, W. and Singkaew, J. (2014). Development of mHealth for public health information collection, with GIS, using private cloud: A case study of Saraphi district, Chiang Mai, Thailand. International Computer Science and Engineering Conference. Retrieved January 1, 2015, from <http://ieeexplore.ieee.org/stamp/stamp.jsp?tp=&arnumber=6978221>
- Buczak, A. L., Koshute, P. T., Babin, S. M., Feighner, B. H. and Lewis, S. H. (2012). A data-driven epidemiological prediction method for dengue outbreaks using local and remote sensing data. *BMC Medical Informatics and Decision Making*, 12(1), 124.
- BusinessWeek Research Services. (2009). Business Intelligence for HealthCare: The New Prescription for Boosting Cost Management, Productivity and Medical Outcomes. New York: McGraw-Hill.
- Center of Dengue Control. (2002). Dengue cases report. Bangkok: Metropolitan Authority.
- Chakrabarti, S., Cox, E., Frank, E., Gütting R. H., Han, J., Jiang, X., et al. (c2009). Data mining: Know it all. Amsterdam: Elsevier.
- Chan, E. H., Sahai, V., Conrad, C. and Brownstein, J. S. (2011). Using web search query data to monitor dengue epidemics: A new model for neglected tropical disease surveillance. *PLoS Negl Trop Dis*, 5(5), 1-6.
- Chompoosri, J., Thavara, U., Tawatsin, A., Anantapreecha, S. and Siriyasatien, P. (2012). Seasonal monitoring of dengue infection in aedes aegypti and serological feature of patients with suspected dengue in 4 central provinces of Thailand. *Thai Journal of Veterinary Medicine*, 42(2), 185–193.
- Choudhury, M. A. H., Banu, S. and Islam, M. A. (2008). Forecasting dengue incidence in Dhaka, Bangladesh: A time series analysis. *Dengue Bulletin*, 32, 29–37.
- Daintith, J. and Edmund, W. (2015). *Gane-Sarson*. Oxford: Oxford University.
- Das, D., Metzger, K., Heffernan, R., Balter, S., Weiss, D. and Mostashari, F. (2005). Monitoring over-the-counter medication sales for early detection of disease outbreaks--New York city. *MMWR Morb. Mortal Wkly Rep*, 54, 41–46.

- Earnest, A., Tan, S. B., Wilder-Smith, A. and MacHin, D. (2012). Comparing statistical models to predict dengue fever notifications. *Computational and Mathematical Methods in Medicine*. Retrieved March 9, 2015, from <http://eds.b.ebscohost.com/eds/pdfviewer/pdfviewer?sid=2303788e-25af-42b6-b0a5-dc3b1e370a3a%40sessionmgr104&vid=2&hid=121>
- Fathima, A. S., Manimegalai, D. and Hundewale, N. (2011). A review of data mining classification techniques applied for diagnosis and prognosis of the arbovirus-dengue. *International Journal of Computer Science Issues (IJCSI)*, 8(6), 322-328.
- Garardi, D. O., Monteiro, L. H. A. (2011). System identification and prediction of dengue fever incidence in Rio de Janeiro. *Mathematical Problems in Engineering*. Retrieved March 11, 2015, from <http://dx.doi.org/10.1155/2011/720304>
- Gharbi, M., Quenel, P., Gustave, J., Cassadou, S., Ruche, G. L., Girdary, L., et al. (2011). Time series analysis of dengue incidence in guadeloupe, french west indies: Forecasting models using climate variables as predictors. *BMC Infectious Diseases*, 11(1), 166-178.
- Ginsberg, J., Mohebbi, M. H., Patel, R. S., Brammer, L., Smolinski, M.S. and Brilliant, L., (2009). Detecting influenza epidemics using search engine query data. *Nature*, 457, 1012–1014.
- Goh, K T. (1997). Dengue--a re-emerging infectious disease in Singapore. *Annals of the Academy of Medicine Singapore*, 26(5), 664-670.
- Gonzalez, M. B. and Rodas, G. G. (2015). Predictive model of dengue focus applied to geographic information systems. In *Latin American Computing Conference* (pp. 1-9). Arequipa: IEEE.
- Guzman, M. G., Halstead, S. B., Artsob, H., Buchy, P., Farrar, J., Gubler, D. J., et al. (2010). Dengue: A continuing global threat. *Nat Rev Micro*, 8(12), 7-S6.
- Husin, N. A., Salim, N., Ahmad, A. R. (2006). Simulation of dengue outbreak prediction. In *Proceedings of the Postgraduate Annual Research Seminar* (pp. 374–379). Malaysia: Universiti Teknologi Malaysia Institutional Repository.

- Ibrahim, F., Faisal, T., Salim, M. M. and Taib, M. N. (2010). Non-invasive diagnosis of risk in dengue patients using bioelectrical impedance analysis and artificial neural network. *Medical and Biological Engineering and Computing*, 48(11), 1141-1148.
- Karim, M. N., Munshi, S. U., Anwar, N. and Alam, M. S. (2012). Climatic factors influencing dengue cases in Dhaka city: A model for dengue prediction. *Indian Journal of Medical Research*, 136(1), 32-39.
- Koenraadt, C., Aldstadt, J., Kijchalao, U., Sithiprasasna, R., Getis, A., Jones, J., et al. (2008). Spatial and temporal patterns in pupal and adult production of the dengue vector *Aedes aegypti* in Kamphaeng Phet, Thailand. *American Journal Of Tropical Medicine And Hygiene*, 79(2), 230-238 .
- Kyle, J. L. and Harris, E. (2008). Global spread and persistence of dengue. *Annu Rev Microbiol*, 62, 71-92.
- Lan, G., Yi, H. Q., Ping, W., Kai, Y., Kun, W. and Jing, X. (2015). A Model- Based Responsive Web User Interface Development Method. In 6Th IEEE International Conference On Software Engineering & Service Science (pp.363-366). Beijing: IEEE.
- Leblanc, P., Moss, J. M., Sarka, D. and Ryan, D. (2015). Applied microsoft business intelligent. Canada: John Wiley & sons.
- Madhu, G., Reddy, G. S. and Kiranmai, C. (2010). Hypothetical description for intelligent data mining. *International Journal on Computer Science and Engineering*, 2(7), 2349-2352.
- Ongruk, P., Siriyasatien, P. and Kesorn, K. (2014). New key factors discovery to enhance dengue fever forecasting model. *Advanced Materials Research*. Retrieved May 4, 2016, from [https://www.researchgate.net/profile/Kraisak\\_Kesorn/publication/262477114\\_New\\_Key\\_Factors\\_Discovery\\_to\\_Enhance\\_Dengue\\_Fever\\_Forecasting\\_Model/links/00b7d537c7aa5b5c3e000000.pdf/download?version=vtp](https://www.researchgate.net/profile/Kraisak_Kesorn/publication/262477114_New_Key_Factors_Discovery_to_Enhance_Dengue_Fever_Forecasting_Model/links/00b7d537c7aa5b5c3e000000.pdf/download?version=vtp)

- Peterson, A. T., Martínez-Campos, C., Nakazawa, Y. and Martínez-Meyer, E. (2005). Time-specific ecological niche modeling predicts spatial dynamics of vector insects and human dengue cases. *Trans. R. Soc. Trop. Med. Hyg.*, 99(9), 647–655.
- Potts, J.A., Gibbons, R.V., Rothman, A.L., Srikiatkachorn, A., Thomas, S.J., Supradish, P., et al. (2010). Prediction of dengue disease severity among pediatric Thai patients using early clinical laboratory indicators. *PLoS Negl Trop Dis.*, 4(8), 1-7.
- Promprou, S., Jaroensutasinee, M. and Jaroensutasinee, K. (2006). Forecasting dengue haemorrhagic fever cases in Southern Thailand using ARIMA models. *Dengue Bulletin*, 30, 99–106.
- Rachata, N., Charoenkwan, P., Yooyativong, T., Chamnongthai, K., Lursinsap, C. and Higuchi, K. (2008). Automatic prediction system of dengue haemorrhagic-fever outbreak risk by using entropy and artificial neural network. In *International Symposium on Communications and Information Technologies* (pp. 210 – 214). Lao: IEEE.
- Rao, V. S. H. and Kumar, M. N. (2012). A new intelligence-based approach for computer-aided diagnosis of dengue fever. *IEEE Transactions on Information Technology in Biomedicine*, 16(1), 112-118.
- Runge-Ranzinger, S., Horstick, O., Marx, M. and Kroeger, A., (2008). What does dengue disease surveillance contribute to predicting and detecting outbreaks and describing trends? *Trop. Med. Int. Health*, 13, 1022–1041.
- Savitri, F. N. and Laksmiwati, H. (2011). Study of localized data cleansing process for ETL performance improvement in independent datamart. In *International Conference on Electrical Engineering and Informatics (ICEEI 2011)* 17-19 July 2011 (pp.1-6). Bandung: IEEE.
- Shafie, A. (2011). Evaluation of the spatial risk factors for high incidence of dengue fever and dengue hemorrhagic fever using GIS application. *Sains Malaysiana*, 40(8), 937-943.

- Shuangyun, P. , Kun, Y. and Jiasheng, W. (2013). The research and development of the time-space simulation of AIDS transmission and assistant decision support system in Kunming. In **Fourth Global Congress on Intelligent Systems** (pp.317-321). Hong Kong: IEEE.
- Suaya, J., Shepard, D., Siqueira, J., Martelli, C., Lum, L., Tan, L., et al. (2009). Cost of dengue cases in eight countries in the Americas and Asia: A prospective study. *The American Journal of Tropical Medicine and Hygiene*, 80(5), 846 -855.
- Tazkia, R. K., Narita, V. and Nugroho, A. S. (2015). Dengue outbreak prediction for GIS based early warning system. In **International Conference on Science in Information Technology**. (pp. 121-125). Yogyakarta: IEEE.
- Varian, H. R. and Choi, H., (2009). Predicting the present with google trends. Retrieved October 5, 2015, from [https://static.googleusercontent.com/media/www.google.com/th//googleblogs/pdfs/google\\_predicting\\_the\\_present.pdf](https://static.googleusercontent.com/media/www.google.com/th//googleblogs/pdfs/google_predicting_the_present.pdf)
- Wu, Y., Lee, G., Fu, X., Soh, H. and Hung, T. (2009). Mining weather information in dengue outbreak: Predicting future cases based on wavelet, SVM and GA. *Advances in Electrical Engineering and Computational Science*, 39, 483–494.
- Yadav, J.S. (2007). A special issue on dengue. *ENVIS News Letter*, 1(4), 1-15.